

# Geoteknikk

Rv. 13 Kyrkjessvingen  
Stabilitet, dagens veg

RV 13 hp 12, meter 2800, Granvin kommune

Ressursavdelinga

30273-GEOT-1, rev. 2





**Statens vegvesen**

# Oppdragsrapport

Nr. 30273-GEOT-1, rev. 2

Labsysnr.

## Geoteknikk

### Region vest

Ressursavdelinga

Geo- og skredseksjonen

Postadr. Postboks 43  
6861 LEIKANGER  
Telefon 22073000

[www.vegvesen.no](http://www.vegvesen.no)

Rv. 13 Kyrkjessvingen  
Stabilitet, dagens veg

Utredning av stabilitet for dagens veg, rv.13 Trå - Kyrkjessvingen.

UTM-sone	Euref89 Ø-N	Oppdragsgiver:	Antall sider:
33	47345 - 6741802	Plan og forvalningsseksjonen Voss og Hardanger	23
Kommune nr.	Kommune	Dato:	Antall vedlegg:
1234	Granvin	2018-02-12	9
		Utarbeidet av (navn, sign.)	Antall tegninger:
		Rolf Aasland Rolf Aasland	32
Prosjektnummer	Oppdragsnummer	Seksjonsleder (navn, sign.)	Kontrollert
306063	30273	Stein Olav Njøs	Øystein Holstad
Sammendrag		Stein Olav Njøs	Øystein Holstad Digitalt signert av Øystein Holstad DN: c=rof Aasland, o=Statens vegvesen, ou=geo-og-skredseksjonen, a=crypto email:rof.aasland@vegvesen.no, c=NO Dato: 2018.02.16 10:41:44 +01'00'

Etter oppdrag fra plan og forvalningsseksjon Voss og Hardanger har geo- og skredseksjonen utført grunnundersøkelser og foretatt geotekniske vurderinger for rv.13 langs Granvinsvatnet. Undersøkelsene er foretatt fra Trå i nord til rett sør for Granvin kirke.

Det er i rapporten presentert resultater fra grunnundersøkelser utført av Vegvesenet i 2010 og 2017. Boringene viser svært bløte masser bestående av dynn(torv) over leire i Granvinsvatnet, under dette er det fast morene og berg. For tilnærmet hele strekninga strekker disse bløte lagene av torv og/eller leire seg også under riksvegen. Et stort flertall av prøvene med leire viser sprøbruddsmateriale, og enkelte av prøvene klassifiseres som kvikkleire. Resultatet fra grunnundersøkelsene er benyttet for å beregne og vurdere stabiliteten av dagens veg.

Det er utført beregninger i fem beregningsprofiler, i hvert profil er det utført både udrernt (ADP) og drenert analyse (AFI). Basert på beregningene er det utført ei vurdering av stabilitetsforholda slik vegen ligger i dag.

Det er vurdert at vegen generelt ligger med akseptabel stabilitet for dagens situasjon, så lenge det ikke utføres noen form for arbeider som kan forverre stabiliteten.

I ett profil, sør for Granvin kirke er det funnet dårlig stabilitet, også for dagens situasjon. Det er i dette området en slette på nedsiden av vegen og opparbeidet en tørrmur ut mot vannkanten. Det er en bratt marbakke rett under foten av muren, den bratteste delen har en høyde rundt 25-30 meter. Det er ikke usannsynlig at ei eventuell utglidning i denne skråningen kan bre seg bak til riksvegen. Det anbefales på det sterkeste at det ikke fylles ut nye masser på området. For å sikre området bør det utføres ei avlasting ved at det graves bort masser.

Emneord

Stabilitet, kvikkleire

## INNHOLDSFORTEGNELSE

INNHOLDSFORTEGNELSE .....	2
VEDLEGGSOVERSIKT .....	3
1 INNLEDNING/ORIENTERING .....	4
1.1 Revisjoner .....	5
2 TIDLIGERE UNDERSØKELSER .....	6
2.1 Holve .....	6
2.2 Kyrkjesvingen (Granvin kirke) .....	6
3 MARK- OG LABORATORIEUNDERSØKELSER .....	8
4 GRUNNFORHOLD .....	9
4.1 Grunnforhold Trå .....	9
4.2 Grunnforhold i Gravinsvatnet ved Kyrkjesvingen .....	9
4.3 Grunnforhold under Rv.13 og ved Granvin kyrkje .....	10
5 Utredning .....	11
6 Parametervalg og beregninger .....	13
6.1 Beregningsprogram .....	13
6.2 Jord .....	13
6.3 Kvalitet treaksialforsøk og trykksondering .....	14
6.4 Vannivå og grunnvann .....	15
7 Resultater .....	17
8 Diskusjon .....	18
8.1 Stabilitet dagens veg .....	18
8.1.1 Boring 101-104 (Holve – Kyrkjesvingen) .....	18
8.1.2 Profil B1-B4 .....	18
8.1.3 Profil B5 .....	18
8.1.4 Profil B6, B7 og B8 .....	19
8.2 Samlet vurdering .....	20
8.3 Andre forhold og tidligere anbefalinger .....	20
9 Konklusjon .....	21
10 Bilder profil B8 .....	22
REFERANSER .....	23

## VEDLEGGSOVERSIKT

Bilag 1: Tegningsforklaring (for geotekniske kart og profiler)

Bilag 2: Oversiktskart i målestokk 1:50 000 (A4 format)

Tegn.		Målestokk	Format
V01:	Situasjonsplan nord	1:2000	A3
V02:	Situasjonsplan sør	1:2000	A3
V03-V012:	Tverrprofil 1-21	1:400	A3
V13-V20:	Profil B1-B8, lagdeling	1:500	A3
V21	B1 AFI-analyse	1:500	A3
V22	B1 ADP-analyse	1:500	A3
V23	B4 AFI-analyse (torv)	1:500	A3
V24	B4 AFI-analyse (leire)	1:500	A3
V25	B4 ADP-analyse	1:500	A3
V26	B5 AFI-analyse	1:500	A3
V27	B5 ADP-analyse	1:500	A3
V28	B7 AFI-analyse	1:500	A3
V29	B7 ADP-analyse	1:500	A3
V30	B8 AFI-analyse	1:500	A3
V31	B8 ADP-analyse	1:500	A3
V32	Område med anbefalt tiltak	1:500	A3

Bilag 3: Borpunktoversikt

Bilag 4: Prøveoversikt

Bilag 5: Laboratorieresultater sylinderprøver (Multiconsult)

Bilag 6: 5173701 – Laboratorierapport. Gravinsvatnet Posisjon 106, datert 17.08.17

Bilag 7: Tolket cu-profil CPTU

Bilag 8: Tolket treaksialforsøk

Bilag 9: Bilder 54 mm sylinderprøver

## 1 INNLEDNING/ORIENTERING

Etter oppdrag fra plan og forvaltningsseksjon Voss og Hardanger har geo- og skredseksjonen utført grunnundersøkelser og foretatt geotekniske vurderinger for rv.13 langs Granvinsvatnet. Undersøkelsene er foretatt fra Trå i nord til rett sør for Granvin kirke, området ved Granvin kirke er ofte referert til som Kyrkjesvingen.

Bestillinga fra plan og forvaltningsseksjonen Voss og Hardanger var å undersøke stabilitet for rv.13 i dagens situasjon fra Trå i nord til sør for Granvin kirke, med hovedfokus på riksvegen forbi kirken hvor det er kjent at det er vanskelige grunnforhold. Bakgrunnen for bestillinga er utglidninga ved Holve 27. april 2016. Utglidninga skjedde i forbindelse med bygging av Jobergstunnelen og en heving av rv.13 i dagsona. Ei utredning utført av NGI kom til at vekta av utlagt vegfylling var tilstrekkelig til å påføre et grunnbrudd i underliggende leirmasser (NGI, 2017).

Foreliggende rapport er ønsket som et beslutningsgrunnlag for om det bør gjøres tiltak for å sikre rv.13 fra Trå til Kyrkjesvingen mot ei utglidning i Granvinsvatnet. Det er kjent at det kan være dårlige grunnforhold langs hele Granvinsvatnet, også videre sør fra avsluttet utredning. Det ble i samråd med bestiller valgt å sette en grense rett sør for Granvin kirke for denne rapporten.

Det vises til tegning V01 og V02 for avgrensning av denne utredninga.

Bilag 2 viser et oversiktskart i målestokk 1:50 000 for området.

Rapporten er relativt omfattende, da den inneholder både resultater fra grunnundersøkelser, geotekniske beregninger og vurderinger. Det er presentert resultater fra borer i 2010 og 2017.

Rapporten er ikke tilknyttet noe byggetiltak eller planarbeider, og er en ren faglig vurdering for stabilitetsforholdene for dagens veg. Rapporten er valgt underlagt kollegakontroll og uavhengig 3.partskontroll, tilsvarende at prosjektet var plassert i geoteknisk kategori 3. Det poengteres at grunnet vanskelige stabilitetsforhold, samt sprøbruddsmateriale og kvikkleire, bør prosjektering av eventuelle tiltak langs vegstrekningen legges i geoteknisk kategori 3 med både kollegakontroll og uavhengig kontroll. Eventuelle tiltak vil også være underlagt NVEs veileder 07-2014 sikkerhet mot kvikkleireskred.

## 1.1 Revisjoner

Revisjon 1: Mindre revisjon og rettinger av rapporten før 3.partskontroll.

Revisjon 2: NGI utførte en uavhengig 3.partskontroll av revisjon 1. Kontrollen er dokumentert i teknisk notat 20170939-01-TN, datert 09.01.2018 (NGI, 2018). Det ble ikke funnet noen større avvik eller mangler i rapporten som må lukkes. NGI er enig med anbefalt avlastning i et området med dårlig stabilitet som er beskrevet i rapporten.

NGI hadde noen kommentarer. Kommentarer er innspill til rapporten, men ikke feil eller avvik av en slik karakter at de må rettest/lukkes. Det er da opp til prosjekterende i hvilken grad kommentarene skal innarbeides i rapporten. Det er valg å innarbeide de fleste kommentarene i rapporten, med unntak av tegning av ei kvikkleirsone, se kommentar nederste på siden. Det er også valgt innarbeidet noen egne rettinger/presiseringer.

Revisjon basert på kommentarer fra NGI:

- Presisert kommentar om jordartsbeskrivelse dynn eller torv i kap. 4.
- Lagt til at sedimentasjon som potensiell utløsende faktor for et skred i kap. 5
- Lagt inn kommentar om beregnet udrenert sikkerhetsfaktor under 1,0 i kap. 7
- Lagt inn generell kommentar på tegning V32 ang. oppfylling/tiltak.

Egne revideringer:

- Lagt til krav til sikkerhetsnivå for ny veg i kap. 5. Krav for ny veg er benyttet for en utfyllende vurderinger i kap. 8.
- Det er supplert med beregnet sikkerhetsfaktor for flere udrenert skjærflater i beregningsprofil B5og B7 (alternative bruddmekansimer). Oppdatert vurderinger i kap.8 for å inkluderer disse bruddmekanismene.
- Rettet opp noe språk.

Kommentar til utarbeidelse av kvikkleiresone:

Det var kommentert i rev. 1 at det var valgt å ikke tegne ei kvikkleiresone for området. NGI mener at det bør opprettes ei aktsomhetssone for kvikkleireskred. Vi har valgt ikke å inkludere ei slik sone i denne rapporten. Vi sender ferdig rapport til NVE som er myndighet for kvikkleiresoner. Avgrensing av ei kvikkleiresone for området, og klassifisering av denne, utføres eventuelt som et eget notat etter dialog med NVE.

Rev. 0 var datert 19.10.2017

Rev. 1 var datert 08.11.2017

Rev. 2. ble sendt til NGI for gjennomgang, de hadde en kommentar på en skrivefeil i kapittel 7. (NGI\_rev.1, 2018). Denne er rettet. Det er valgt ikke å benytte nytt revisjonsnummer for denne endringen.

## 2 TIDLIGERE UNDERSØKELSER

### 2.1 Holve

Det er utført ei rekke undersøkelsrer og skrevet flere notater og rapporter før og etter utglidninga på Holve. Rapportene og notatene fra disse arbeida er ikke listet opp i denne rapporten.

Arbeida ved Jobergstunnelen og Holve er styrt av Vossapakko. I etterkant av utglidninga har Vossapakko blant annet fått vurdert stabilitet for dagens rv.13 til rundt 300 meter sør for skredgropa. Dette arbeidet er presentert i følgende notat:

- 30134-GEOT-4 Vegvesenet – Rv.13 Granvin - Utglidning ved Hollven - Vurdering av stabilitet av vegen sør for raspropa mellom profil 2800-3210, datert 28.04.2017.

Det funnet relativt godt stabilitet for dagens veg for denne strekningen, stabilitet ble regnet i fem snitt, med minste sikkerhetsfaktor 1,57-1,64 i disse snitta. Stabilitet ble regnet som ADP-analyse (udrenert analyse).

Utredninga for denne rapporten starter ved slutt av stabilitetsberegningene presentert i 30134-GEOT-4.

### 2.2 Kyrkjessvingen (Granvin kirke)

Det er tidligere utført grunnundersøkelsrer ved Granvin kirke. Vegvesenet har selv utført grunnboring både i 1980 og 2010. I forbindelse med undersøkelsene i 2010 ble det utført bunnkotekartlegging av DOFsubsea (2010). Resultat fra disse undersøkelsene er nyttet i denne rapporten. For den nordlige delen av utredninga er relevant data fra bunnkotekartlegging, utført i forbindelse med arbeidet på Holve, tatt med. Det er et lite område for denne utredninga, ved Trå, som ikke er dekt av bunnkotekartlegging.

I tillegg til borer utført av Vegvesenet har Noteby utført noen grunnundersøkelsrer i 1991 (notat fra 1992) for vurdering av utvidelse av kirkegården ved Granvin kirke.

Rapporter og notat med resultater fra tidligere grunnundersøkelsrer ved Kyrkjessvingen:

- Statens Vegvesen - Grunnundersøkelsrer - Granvinvatnet v/Granvin Kirke, datert 4.5.1980.
- Statens Vegvesen - Rv 13 Kyrkjessvingen, reguleringsplan. Vurdering av grunnundersøkelsrer, beregninger og resultater fra Granvinsvatnet. Notat, datert 14.12.2010.
- Noteby – 36174, rapport nr 2. Utviding av kyrkjegard. Område II. Grunnundersøkelsrer stabilitetsvurderinger, datert 04. februar 1992

Grunnforholda i vatnet er bløte masser over morene og berg. Boringene og notatene fra 1980 og 2010 har litt ulik tolkning av de bløte massene. I rapporten fra 1980 er det beskrevet løst lagret dynn over fastere lag med sand og grus, i notatet fra 2010 er de bløte massene beskrevet som et sedimentlag av siltig leire. Tolking av trykksonderinger (CPTU) og prøvetaking i 2017 viser de at bløte sedimenta er dynn/torv over siltig leire. Det vises for øvrig til kapittel 4 for en nærmere beskrivelse av grunnforholda.

Boringene utført på land av Noteby, for vurdering av utvidelse av kirkegården mot nord, viser dybde til antatt berg/stopp i sondering varierende mellom 0,6 og 9,4 m. Prøvetaking i ett av hullene viser svært lagdelte masser, med tørrskorpeleire over hovedsakelig sand, silt og et tynt lag med bløt leire. Leira er klassifisert som kvikk.

Boringene fra 1980 er kun enkle sonderinger. Mange av sonderingene er i de samme områdene som boringene i 2010 og 2017. Det tydelig at boringene i 1980 ikke har klart å identifisere leirelag. Det er derfor valgt ikke å ta med resultat fra boringene i 1980 videre i denne rapporten.

Det er ikke funnet rapporter eller notater med samlet opptegning av boreresultata fra 2010. Boringene er funnet digitalt i arkivet og valgt presentert i denne rapporten. Totalsonderinger i serien 7 – 58 er fra 2010, til sammen er det funnet resultat fra 31 totalsonderinger.

Innmålingene av punktene antas å være målt ved utførelse, men det kan være en usikkerhet i koordinat for borpunkta. Det er i notatet fra 2010 referert til opptak av 2 prøvesylindre ved hhv. dybde 5,25-5,69 m og 7-7,69 m i hull 14, klassifisert som siltig leire med  $c_u$  10-12 kPa. Det er også skrevet at det var ønsket fem prøver totalt, men de andre prøvene ble mistet pga. meget bløte masser. Ytterligere resultater fra disse prøvene er dessverre ikke funnet i arkivet. Det mistenkes at det kan mangle noen sonderinger fra land som ikke er funnet arkivet.

### 3 MARK- OG LABORATORIEUNDERSØKELSER

Grunnundersøkelsene i 2017 omfatter i alt 41 totalsonderinger, 11 trykksonderinger (CPTU), opptak av 39 representative (poseprøver boret med skovlbor), tilsammen 20 uforstyrrede prøver (54 mm) samt nedsetting av 2 piezometer. Undersøkelsene er utført i perioden 06.06.2017 til 28.06.2017. Feltundersøkelsene ble utført av Norconsult. Det er i enkelte punkt utført trykksonderinger og prøvetaking i totalsonderingspunkt fra 2010 i Granvinsvatnet.

Alle borer er innmålt med GPS som normalt gir nøyaktigheter for xyz-koordinatene innenfor  $\pm 10$  cm.

Ei samla oversikt over plassering, bordybder og data for identifisering av de forskjellige boringene framgår av bilag 3. Her er boringene fra 2010 inkludert.

Plasseringen av alle borpunkt er vist på oversiktstegningene, tegn. V01 til V02.

De opptatte representative prøveseriene er analyserte ved vårt laboratorium i Bergen. Grunnet kapasitetshensyn ble de uforstyrrede prøvene sendt til Multiconsult sitt laboratorium i Bergen, tre prøver ble sendt til Multiconsult i Oslo for å få utført treaksial- og ødometerforsøk. To av de uforstyrrede prøvene ble ved en feil med grunnborerne til Molde, og ble derfor valgt analysert ved Norconsult sitt laboratorium i Molde. Det er utført rutineundersøkser, samt en del supplerende forsøk som glødetap, von postindeks og plastisitetsindeks. I tillegg er det utført fire treaksialforsøk og to ødometerforsøk. Det er utført kornfordelingsanalyse på de representative prøvene samt noen av sylinderprøvene.

Alle prøver er vist med dybde, jordartsbeskrivelse samt delvis utfyllende informasjon fra visuell beskrivelse i profiltegningene V03-V31. I tegning V03-V12 er alle sonderingsresultata presentert. Det er ikke forsøkt å tolke lagdeling i disse profila. Lagdeling er tolket i profil B1-B8. Labresultater er presentert som følger:

#### **Representative prøver (poseprøver):**

Vist i V-tegninger, med jordartsbetegnelse, kornfordeling, humus- og vanninnhold samt Von postindeks for torvprøvene.

#### **Sylinderprøver (54 mm) – Multiconsult – bilag 5:**

Tegn 010-16: Borprofil med resultater fra rutineundersøkser

Tegn 060-061: Kornfordeling

Tegn 075.1-075.2 Ødometerforsøk

Tegn 090.1-93: Treaksialforsøk

#### **Sylinderprøver (54 mm) – Norconsult – bilag 6:**

5173701 - Laboratorierapport Granvinsvatnet Posisjon 106, datert 17.08.17

Det vises for øvrig til bilag 4 hvor alle prøvene med utførte undersøkser er listet opp. Det er også satt opp forsøk på prøvetaking som resulterte i tomme sylinder.

Bilder av sylinderprøvene analysert av Norconsult ligger ved i rapporten deres. Bilder av de fleste sylinderprøvene fra Multiconsult er presentert i bilag 9. På grunn av stort antall er det valgt ikke å legge ved bilder fra poseprøvene i rapporten.

## 4 GRUNNFORHOLD

### 4.1 Grunnforhold Trå

For strekningen mellom stabilitetsberegningene i 30134-GEOT-4 og frem til Kyrkjessvingen er det boret i vegbanen eller i fot av vegfyllingen.

I boring 101-105 er det utført totalsonderinger. Disse tyder på et topplag på 1-4 meter som antas å være vegfylling og naturlig avsatt sand- og grusmasser. Basert på prøvetaking i Kyrkjessvingen vil det være naturlig å anta at det også er en del humus i massene.

Under topplaget er det i boring 101-103 masser med middels stor motstand med relativt stor variasjon i boringene. Boringene tolkes som lagdelte masser hovedsakelig av sand og grus, men med innslag både av silt og leire. Boringene går over til fastere masser på hhv. 6,5m, 9 m og 13 m i borpunkt 101, 102 og 103.

I borpunkt 104 og 105 har massene under topplaget noe mindre motstand, og det er boret med et jevnere forløp på motstanden. Boringen tolkes som at massene her i større grad består av silt og leire, men med antatt innslag av sand. Ved 11-14 meters dybde går disse boringene over til faste masser, morene eller sand- og grusmasser. Berg er funnet på 17,4-19,8 meters dybde.

### 4.2 Grunnforhold i Granvinsvatnet ved Kyrkjessvingen

Grunnforholda i vannet består av et topplag med sterkt humusholdige masser. Ved analyse i laboratoriet er dette klassifisert som torv. Enkelte av prøvene inneholder betydelig mengder med trerester. Torvmassene er klassifisert som H4 eller H5 i von Post skala. Skalaen er H1-H10 – Hvor H1 er uomdannet torv og H10 er fullstendig omdannet.

I undersøkelsene utført av Vegvesenet i 1980 ble humusmassene på bunn av innsjøen beskrevet som dy (dynn). Dynn er typiske innsjøsedimenter. Vi har i videre tekst og på tegninger valgt å betegne massene på bunn av innsjøen som «dynn», da vi tror materialet inneholder mye dynn basert på bilder av prøver og avsetningsmiljø. Humusmasser under fylling på land er valgt beskrevet som torv.

Dynnlaget har generell mektighet på rundt 5 meter, stedvis tynnere og ikke overraskende synes det å være mektigst ved bekkeutløpet sør for kirken. Under dynnlaget er det i de fleste punktene tolket et lag med siltig leire, det er også registeret sandsjikt i materialet. Leira er bløt med lav skjærfasthet, og basert skjærfastheten og tolkning av CPTU antas leira å ha liten grad av overkonsolidering. Leira er middels til meget sensitiv og lite plastisk. Enkelte av prøvene klassifiseres som kvikkleire, og de fleste prøvene klassifiseres som sprøbrudd materiale etter NVEs retningslinjer 7/2014. Innerst i bukta ligger dynnlaget stedvis rett på morenen uten noe leirlag. Se for eksempel profil B4 i tegning V016.

På grunn av at både dynn- og leirlaget er svært bløte er det nær nullmotstand i massene ved totalsondering. Dette medfører at det er vanskelig å finne lagdeling mellom laga, og man har kun prøvetaking og trykksonderinger (CPTU) å støtte seg på for å finne lagdelinga i disse massene. Tolking av lagdeling mellom torv og leire er dermed heftet med en del usikkerhet.

De bløte massene har en mektighet på 3-22 meter i de utførte borpunkta, hovedtyngden av borer viser mektighet av bløte masser mellom 7 og 15 meter.

Under de bløte massene viser totalsonderingene betydelig fastere masser. Dette antas å være morenemasser. Det er ikke forsøkt å ta opp prøver av massene. Eventuelle stabilitetsproblem er knyttet til de bløte laga over disse massene. Mektighet av morenelaget varierer fra 0 til rundt 10 meter.

Det er i de fleste punktene påtruffet antatt berg. De fleste boringene er avsluttet med noe begrenset dybde av kontrollboring i berg, dybde til berg kan derfor stedvis være tolket for grunt pga. avsluttet boring i blokk.

### **4.3 Grunnforhold under Rv.13 og ved Granvin kyrkje**

Det bløte laget av leire eller torv strekker seg under vegbana gjennom hele Kyrkjessvingen. Også morenelaget i bunn er tilstede i de fleste boringene på land. I motsetning til boringene i vannet er det på land et fastere lag øverst. Det antas at dette er delvis naturlig avsatte grus- og sandmasser og delvis utfyllinger.

Prøvetaking viser grusig sandig materiale med en del humusinnhold i topplaget. Basert på sonderingene og oversvarsjoner i felt er det også tydelig at det stedvis er mye Stein i disse massene, dette gjelder særlig oppfyllinger på utsida av riksvegen. Det er uklare overganger mellom antatt elveavsatt grusig sandig materiale med humus til mer rene torvmasser.

Som for boringene i vannet er det også vanskelig å skille mellom torvmasser og leiremasser i sonderingene på land. I motsetning til boringene i vannet er det en del sonderingsmotstand i massene, men sondermotstanden er nesten identisk i de to typene med masser. Lagdeling er basert på trykksonderinger og prøvetaking, og er også for disse boringene heftet med usikkerheter.

På grunn av overlagering fra topplaget er leirmassene på land fastere enn i vatnet. Basert på rutineundersøkelser er leira mellom bløt og middels fast. Leira er som i vannet middels til meget sensitiv og klassifiseres som sprøbruddmateriale. Flere prøver er helt på grensa til å bli kategorisert som kvikkleire.

Berget stiger raskt og det er for eksempel synlig berg i dagen i fossen bak kirka og mot campingplassen. Boringene utført av Noteby for utvidelse av kirkegården mot nord viser dels liten dybde til antatt berg i flere av boringene. Oppover i terrenget med tynnere løsmassdekke vil dette ha en annen sammensetning enn den generelle beskrivelsen gitt over.

Som eksempel på grunnforhold under riksvegen på land vises det til punkt 127 plassert sentralt i området. Her er det ved prøvetaking funnet 4 meter med humusholdige grusig sandig materiale, dette er mest sannsynlig avsatt av elva. Videre i dybden er det 7 meter med torvmasser. Massene er sannsynligvis avsatt i et tidligere åpent vann-/myrområde. Massene går gradvis over til siltig leire, og fra 13 meter er det tatt opp ei prøve av siltig leire med sandsjikt og noe humusinnhold. Trykksondering viser at leirelaget fortsetter til rundt 17-18 meters dybde. Under dette nivået går det gradvis over til fastere materiale som antas å være morenemasser.

Ved kirken er det boret to sonderingspunkter. Det ble ikke tatt opp prøver så lagdelinga er kun ei tolkning av utførte sonderinger og derfor heftet med usikkerhet.

Punkt 136 ser ut som 9 meter med sandig grusig materiale, antatt med humus som funnet i andre prøver i nærheten. Under dette er det svært lite motstand fra 9 til 14 meters dybde. Most

sannsynlig er dette leirmasser (potensielt kvikkleire), men det kan også være torvmasser. Deretter er det påtruffet berg.

Punkt 137 viser rundt 6 meter det som antas å være sandig grusig materiale med humus. Deretter ser det ut som leire eller torvmasser til rundt 9 meters dybde, i beregningsprofila er laget tolket som torv. Fra rundt 9-10 meter antas det å være leire basert på forma på mostandskurven i totalsonderinga. Det antas videre at dette kan være kvikkleire (eller sprøbruddsmateriale). Fra 16 meter er det påtruffet harde morenemasser. Det er antydet berg i bunn av denne sonderingene på 21,8 meter, men boring kan være avsluttet i blokk.

## 5 Utredning

Utredninga gir en beregnet sikkerhetsfaktor på hvor stabilt dagens veg ligger i valgte beregningsprofil. Dette gir grunnlag for å vurdere hvor robust vegen ligger mot ei utglidning.

Et skred utløses av en ytre faktor. Dette er ofte menneskelig aktivitet, som skredet ved Holve. For strekningen som nå utredes er det i utgangspunktet ikke planlagt noen tiltak, og det er ikke vanlig at en veg plutselig glir ut. Men man kan ikke utelukke naturlige ytre faktorer. Hendelser som ekstremnedbør kan for eksempel gi økt poretrykk i grunnen og forverre stabiliteten. Et initialskred i skråninga under vannet utløst av naturlige årsaker kan ikke utelukkes. Stedvis er det også potensielt at sedimentering fra elver kan føre til forverret stabilitetsforhold. Om vegen ligger med svært dårlig stabilitet kan slike hendelser i verste fall medføre ei utglidning. Derfor er det ønsket å finne stabiliteten for dagens veg.

Det poengteres at i masser som funnet i området (kvikkleire og sprøbruddsmateriale) kan mindre skred og utglidninger utvikle seg til større skred. For eksempel kan mindre utglidninger som følge av en oppfylling få store konsekvenser. Kroneksemplet i denne sammenhengen er Rissaskredet i 1978. Skredet ved Holve er også et eksempel på et skred med retrogressiv bruddutvikling, der en større utglidninga starter med et initialskred.

For bestemmelse av beregningsprofil er det tegnet opp åtte profiler i Kyrkjessvingen, B1-B8. Det er i disse profila tolket lagdeling. Som nevnt i kap. 4. er grensen mellom dynn/torv og leire vanskelig å tolke, laggrensene er derfor heftet med noe usikkerheter i deler av profila. Stedvis er tynnere lag av for eksempel sand sett bort fra i lagdelingene for å forenkle modellene. Basert på lagdeling, topografi og fordeling utover området er det valgt å beregne stabilitet for dagens veg i fem av snitta: B1, B4, B5, B7 og B8.

Det er utført to type beregninger i hvert snitt, AFI (drenert analyse) og ADP (udrenert analyse) beregninger. Drenert analyse er mest representativ for dagens situasjon, drenert analyse kalles også langtidsstabilitet. Ved en ytre belastning kan det oppstå en udrenert situasjon i leira, som for eksempel ved ei oppfylling (Holve). Det kan også oppstå en udrenert situasjon etter mindre initialbrudd (skred), for eksempel i skråninga ute i vannet. For vurdering av stabilitet av dagens veg er drenert stabilitet vektlagt mest, men det er bekymringsverdig om vegen ligger med dårlig udrenert stabilitet selv om det ikke er planlagt noen fyllinger eller andre tiltak.

Konsekvensklasse	Bruddmekanisme		
	Seigt, dilatant brudd	Nøytralt brudd	Sprøtt, kontraktant brudd
CC1 Mindre alvorlig	1,25	1,4 *	1,3
CC2 Alvorlig	1,3	1,4 *	1,4
CC3 Meget alvorlig		1,4	1,5
			1,6

\* NS-EN 1997-1:2004+NA:2008 krever at  $\gamma_M \geq 1,4$  ved totalspenningsanalyser

Figur 1: Krav til sikkerhetsfaktor for nye vegprosjekt

Krav til sikkerhetsfaktor ved stabilitetsanalyse for ny reguleringsplan/byggesak (ny veg) er hentet fra vegvesenet håndbok V220, se figur 1. Det er sprøbruddsmateriale i området og med konsekvensklasse CC3 (geotekniske kategori 3) er kravet til sikkerhetsfaktor for ny veg 1,6. Dette er et strengt krav til sikkerhetsfaktor. I de fleste tilfeller er sikkerhetsfaktor 1,4 ansett som en tilfredsstillende faktor for stabilitet i løsmasser. Det vil også være andre krav til sikkerhet mot grunnbrudd i løsmasser enn Vegvesenet sine regler som er gjeldene i en reguleringsplan/byggesak. Det vises blant annet til NVE retningslinjer for tiltak i kvikkleireområder (NVE, 2014).

Denne utredninga har en annen vinkling enn en ren vurdering av om beregnet sikkerhetsfaktor for vegen er innenfor kravene for en ny veg. Det er utført en faglig vurdering om dagens veg ligger med akseptabel stabilitet. Kravene til beregnet sikkerhetsfaktor for en ny veg er tatt med som en del av den faglige diskusjonen i kapittel 8.

Der vegen ligg med svært dårlig stabilitet bør det vurderes om det er tiltak som kan sikre vegen. Store deler av Kyrkjesvingen vil være en vanskelig strekning å sikre, og det er ikke en del av denne rapporten å skissere eventuelle større sikringstiltak for hele området.

For ett område på strekningen er det opplagt at det bør være forbud mot utfylling. Det er her også skissert tiltak for sikring. Se kapittel 8.

## 6 Parametervalg og beregninger

### 6.1 Beregningsprogram

Beregninger er utført i stabilitetsmodul i GeoSuite.

Det er lagt inn trafikklast på 13 kPa i beregningene etter håndbok V220.

### 6.2 Jord

Tabell 1: Jordparameter

Materiale	$\gamma$ (kN/m <sup>3</sup> )	$\phi$ (°)	c' (kPa)	c <sub>u</sub> (kPa)
Grus, sand, silt, humus	18	35	1	-
Torv	13	27	4	-
Leire	19	29	3	C-profil
Morene	20	35	10	-

#### Grus, sand, silt og hums.

Materialparameter er basert på erfaringsverdier, samt håndbok V220 figur 2.39. Det er for enkelhetsskyld ikke forsøkt å skille mellom grovere vegfylling og sand- /gruslag.

#### Torv/Dynn

Romvekt er basert på sylinderprøvene med torv i prosjektet. Styrkeparameter er basert på SGI (1988). Det er valgt å legge seg i nedre del av intervallet for friksjonsvinkel. Basert på at torven flere steder har liten overlagring, samt Von post skala på H-4 og H-5 (noe fiberstruktur) er det valgt å legge inn noe kohesjon i massene.

#### Leire

Romvekt er basert på sylinderprøver med leire i prosjektet. Friksjonsvinkel og kohesjon er basert på tolket treaksialforsøk. Udreneret skjærfasthet er basert på en samtolkning av utførte treaksialforsøk, trykksonderinger og rutineforsøk. Det er lagt størst vekt på treaksialforsøk og trykksonderinger ved bestemmelse av skjærfasthetsprofil. Tolket c-profiler er vist i bilag 7. I diagramma i bilag 7 er det plottet aktiv skjærfasthet. Fasthet fra rutineforsøk er valgt justert med ADP-forholdet for å representere en aktiv skjærfasthet.

Skjærfasthet fra trykksonderingene er tolket med et eget CPTu-regneark utviklet av Vegdirektoratet. Det er benyttet versjon 2017\_02 av regnearket. Det er valgt benyttet korrelasjoner ( $N_{kt}$ ,  $N_{ke}$  og  $N_{\Delta u}$ ) presentert av Karlsrud et al. (2005) for tolkning av skjærfasthet. Bestemmelse av N-faktorer avhenger av sensitivitet, plastisitetsindeks,  $B_q$  og OCR. Felles for alle tolkningene er at sensitivitet satt til over 15 og plastisitetsindeks er satt lik 10 %. OCR er lagt inn manuelt basert ulike CPTu korrelasjoner og en tolkning av forventet overlagring i området. OCR er generelt lagt inn avtagende med dybden i alle sonderingene. Benyttet verdier for OCR ligger i intervallet 1,2-3,0. Leira er generelt mager og gir noe begrenset poretrykksrespons i flere av trykksonderingene, det er derfor valgt å legge hovedvekt på tolkning mot spissmotstand ( $N_{kt}$  og delvis  $N_{ke}$ ).

Stedvis er c-profil forlenget i dybden under avsluttet sonderinger med lik økning i c-profil som i den utførte trykksonderinga.

Noen plasser er det også lagt inn  $c_u$ -profil i beregningsprofila hvor det ikke er trykksonderinger eller prøveserier. Her er  $c$ -profilen basert på SHANSHEP og antatt OCR eller en ren kopi av  $c$ -profilen tolket fra trykksonderingene. Det er notert under  $c$ -profilen i beregningsprofila hva de er basert på.

Leira er mager og har lav plastisitet. Det er benyttet ADP-forhold  $c_{uD}/c_{uC}=0,63$  og  $c_{uE}/c_{uC}=0,35$  i beregningene (NIFS, 2014).

### **Morene**

Parameterne er valgt basert på erfaringsverdier.

### **Modellering**

Det er kun leirelaget som er gitt en udrenert oppførelse i ADP-beregningene, de andre laga er modellert drenert i begge analysemetodene.

## **6.3 pKvalitet treaksialforsøk og trykksondering.**

Kvalitet av treaksialforsøka er vurdert etter NGF melding 11 (NGF, 2013). Det er vurdert OCR 1-2 for alle prøvene. Jevnt over er prøvekvaliteten dårlig. Dette antas å være på grunn av sensitiv mager siltig leire som er vanskelig å ta gode prøver av, samt relativt lang transport av prøvene.

Det er valgt å benytte drenert parameter tolket fra forsøka, men for udrenert skjærfasthet er designparameter støttet vel så mye på tolkning av trykksonderingene (CPTU).

Alle prøvene har dilatant eller plastiske bruddmekansime. Det er likevel naturlig å anta at oppførelsene kunne vært kontraktant om materialet var mindre prøveforstyrret.

Prøvene er forsøkt konsolidert til in-situ spenninger, men lagdelingene var ikke ferdig tolket når forsøka ble kjørt. Prøvene er derfor generelt konsolidert noe høyere enn antatt in-situ spenninger. Om en tar utgangspunkt i lagdelingene vist i beregningsprofila og en grunnvannstand på kote +24 (106 og 122) og +25 (133) er prøvene konsolidert 1-13 kPa over in-situ spenninger. Prøvene er konsolidert anisotrop med  $K_0'=0,60-0,65$ .

**Tabell 2: Prøvekvalitet treaksialforsøk**

Borpunkt	Dybde	Type forsøk	$\Delta e/e_0$	Kvalitet
106	9,5	CAUa	0,073	Dårlig
122	7,45	CAUa	0,060	God til brubkar
122	12,4	CAUa	0,119	Veldig dårlig
133	11,35	CAUa	0,097	Dårlig

Kvalitet for trykksonderingene er vurdert basert på NGF melding nr.5. Generelt er det god anvendelsesklasse i forsøka. Det er valgt ikke å utelate noen av forsøka fra tolkning basert på anvendelsesklasse.

Enkelte trykksonderinger ble kjørt to ganger grunnet dårlig poretrykksrespons, det er i disse tilfella presentert det siste forsøket.

**Tabell 3: Utførte trykksonderinger, anvedelsesklasse og i hvilke beregningsprofil tolkningene er benyttet.**

<b>Anvendelsesklasse (vurdert mot kPa)</b>					
<b>Borhull</b>	<b>Spissmotstand</b>	<b>Sidefriksjon</b>	<b>Poretrykk</b>	<b>Profil</b>	<b>Kommentar</b>
15	1	1	1	B5	
34	1	1	1	-	Kun torv
55	2	1	2	B1	
106	2	1	1	B1	
116	1	1	1	-	Sand/silt/humus
122	1	1	1	B4/B5	
127	1	1	1	-	
130	1	1	1	B8	
133	1	1	1	B8	
141	1	1	1	-	Dårlig poretrykksrespons
142	1	1	1	-	Stoppet i fast lag

Trykksonderinger i hull 34, 116 og 142 er ikke kjørt i leire og derfor ikke tatt med i tolkning av skjærfasthet.

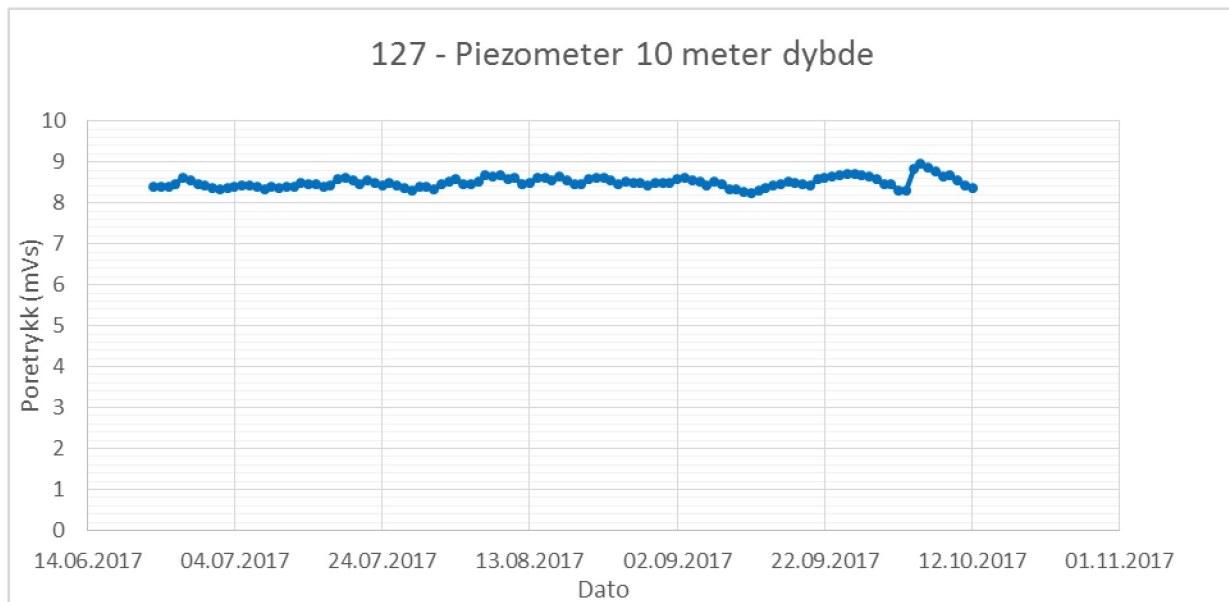
Trykksondring 127 har generelt høyere spissmotstand enn sondring 133, tolkning av profil 133 er derfor valgt for bestemmelse av c-profil i beregningsprofil B7 og B8.

Sondring 141 er et vanskelig forsøk å tolke, tilsynelatende er det dårlig poretrykksrespons i forsøket. Det er valgt ikke å benytte tolkning av forsøket i stabilitetsprofiler.

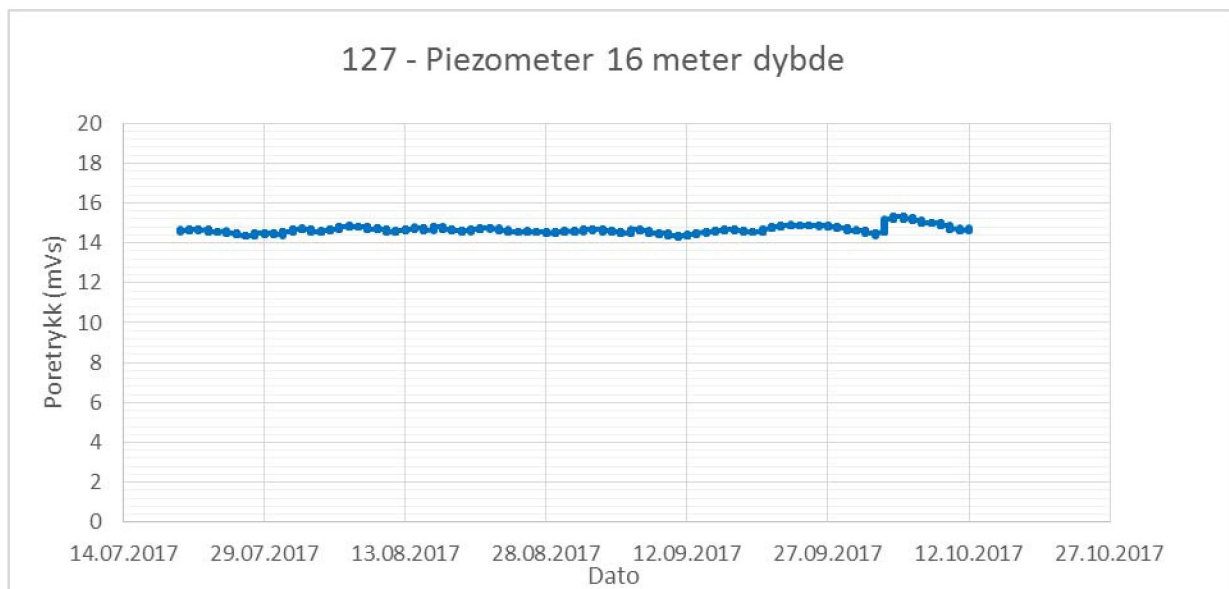
## 6.4 Vannivå og grunnvann

Det er ikke funnet data på vannivå i Gravinsvatnet. Vannet er ikke regulert og det antas at det er relativt begrenset variasjoner i vannivå. For tilbakeregning av skredet på Holve utført av NGI (2017) ble det benyttet kote +23,88 som ble målt dagen ved utglidninga. I denne rapporten er det valgt å legge vannkote på +23,5. Det poengteres at lav vannstand er konservativ i beregningene da dette gir mindre mothold på skråningsstabiliteten.

Det ble satt ned to piezometer med logging ved punkt 127. Den øverste måleren tyder på en grunnvannstand rundt 1,2-1,8 m under terrenget i loggeperioden (antatt hydrostatisk poretrykk over målernivået). Poretrykksøkning i dybden mellom de to målerne i punkt 127 er funnet å være tilnærmet lik hydrostatisk. Det kan likevel ikke utelukkes at det er poreovertrykk i grunnen på grunn av tette lag og topografi. Grunnvannsnivå er valgt modellert svakt stigene oppover i terrenget, se beregningsprofila. For å ta høyde for potensielt poreovertrykk er det i drenerte beregninger valgt å anta 110 % av hydrostatisk poretrykk med dybden fra og med topp leirlag.



Figur 2: Piezometer, dybde 10 meter.



Figur 3: Piezometer, dybde 16 meter.

## 7 Resultater

Grunnet stor usikkerhet rundt lagdeling i B4 er dette snittet beregnet med både torv- og leirlag under vegbanen.

Laveste beregnet sikkerhetsfaktor er vist i tabell 4. Det vises til kapittel 8 for diskusjon og vurdering av resultata.

Slik vegen ligger i dag er det drenert sikkerhetsfaktor (AFI) som er mest representativ, men udrenert sikkerhetsfaktor (ADP) kan ikke sees bort fra i vurderingene.

**Tabell 4: Laveste beregnet sikkerhetsfaktor**

<b>Profil</b>	Minste beregnet sikkerhetsfaktor	
	<b>AFI (Langtid)</b>	<b>ADP (Udrenert)</b>
<b>B1</b>	1,94	1,20
<b>B4 – Leire</b>	1,42	1,32
<b>B4 – Torv</b>	1,38	-
<b>B5</b>	1,63	1,09
<b>B7</b>	1,79	1,04
<b>B8</b>	1,23	0,85

Beregnet udrenert (ADP) sikkerhetsfaktor oppfyller ikke krava til sikkerhetsfaktor i håndbok V220. Dette betyr at det basert på sikkerhetsfaktorer funnet i denne rapporten ikke kan utføres tiltak som kan medføre en udrenert situasjon. Sikkerhetsfaktor i drenerte analyser (langtidssituasjonen) er også i tre av snitta lavere enn kravet til sikkerhetsfaktor for nye prosjekter.

Sikkerhetsfaktor under 1,00 er teoretisk brudd. Det er beregnet sikkerhetsfaktor 0,85 for en dyp sirkel i profil B8. Dette kan tyde på at vi ikke har klart å tolke reell udrenert fasthet i materialet. Det er heller ikke forsøkt å ta hensyn til 3D-effekter i beregningene, slike effekter kunne gitt noe høyere beregnet sikkerhetsfaktorer. Vi tror at hovedgrunnen for lav beregnet sikkerhetsfaktor er utfordringer med å hente ut gode udrenerte fasthetsparametre for siltig leire.

Det er valgt å beholde beregnet sikkerhetsfaktor som er funnet basert på tolket fasthet i materialet, men sikkerhetsfaktor godt under 1,00 i profil B8 kan tyde på at også beregnet udrenert fasthet i de andre profilene kan være på konservativ side, selv om f.eks en %-vis økning av sikkerhetsfaktor i B8 til 1,00 ikke nødvendigvis kan overføres til andre profil.

## 8 Diskusjon

### 8.1 Stabilitet dagens veg

#### 8.1.1 Boring 101-104 (Holve – Kyrkjesvingen)

Ved boring 101 og 102 er det langgrunt og profila antas å være mindre utsatt for utglidning enn profila beregnet i 30134-GEOT-4. Profila i 30134-GEOT-4 ble regnet med sikkerhetsfaktorer som ligger i grenseland for det somme ville blitt akseptert for ny veg. Det vurderes at vegen på strekningen fra start utredning til boring 102 ligger med bedre stabilitet enn snitta i 30134-GEOT-4, og dermed vurderes stabilitet i dagens situasjon som god uten noen form for videre utredning.

Ved boring 103 er det fastere masser og det antas i utgangspunktet at vegen ligger med grei stabilitet. Dette er likevel det eneste området som ikke er dekt opp med bunnkotekartlegging. For en sikrere vurdering av strekket må det eventuelt utføres en kartlegging av bunnen på vannet i dette området.

Ved boring 104 er det en stor landtunge lagt opp av elva. Boringen viser antatt siltig leire i fot av vegfyllingen. Det kan også være en del sand i massene. Det forventes at det kan være et siltig leirelag under hele området, og at et eventuelt brudd ut mot vatnet kan gripe bakover mot riksvegen. Området er sammenlignbart med det mest kritiske profilet i utredninga, B8. Men det er mindre bratt på sjøbunnen utenfor dette område, samt at mektighet av bløte masser er mindre enn under vegen i profil B8. Det antas at vegen ligg med grei stabilitet i området så lenge det ikke utføres tiltak som kan forverre situasjonen. Det er viktig at det ikke fylles ut masser på landtungen på nedsiden av vegen uten at grunnforholda undersøkes nærmere og stabilitet av landtunga vurderse.

#### 8.1.2 Profil B1-B4

Profil B1 og B4 er vurdert som representative snitt for denne strekningen. Laveste sikkerhetsfaktor funnet er ved udrenert analyse (ADP) i B1 med sikkerhetsfaktor 1,20, Drenert analyse er lavest i B4, og ligger på 1,38-1,43. Totalt vurderes stabiliteten å være akseptabel for en eksisterende veg.

Sikkerhetsfaktorene er lavere enn det som er kravet for en ny veg, men så lenge det ikke fylles ut i området eller utføres andre tiltak som kan forverre stabiliteten vurderes det som svært lite sannsynlig at det skjer en utglidning på denne strekningen.

#### 8.1.3 Profil B5

Beregnet sikkerhetsfaktor for drenert situasjon er god, med laveste sikkerhetsfaktor 1,63. Dette ligger over kravet for ny veg. Dette er den mest representative analysen for situasjonen i dag.

For udrenert situasjon er det beregnet en lav sikkerhetsfaktor, 1,09. Volumet som er inkludert i denne bruddmekanismen er stort, og det skal mye til for å få en udrenert situasjon langs hele skjærflaten. Det kan også være at skjærfastheten i leira i borpunkt 122 er tolket noe lavt da dette var en vanskelig trykksondering å tolke og det forventes at reell udrenert stabilitet er noe høyere enn beregnet. Det er også kontrollert sikkerhetsfaktor for en mindre skjærflate som i større grad vil være påvirket av f.eks. varierende trafikklast. Denne har sikkerhetsfaktor 1,25 med de tolkede parameterne. Totalt vurderes stabiliteten å være akseptabel for en eksisterende veg.

Etter at de betryggende faktorene er nevnt tyder likevel en sikkerhetsfaktor på ned mot 1,09 for udrenert analyse at man bør behandle området med varsomhet. Det bør ikke legges ut fyllinger som tilfører masser til området. Også andre prosjekter som kan gi poretrykksoppbygging eller omrøring av leira må utføres med stor forsiktig og vurderes nøyne av kyndig fagpersonell. Dette kan for eksempel være boring/ramming av peler til berg, ramming av spunt, eller boring energibrønner gjennom de bløte laga til berg.

#### **8.1.4 Profil B6, B7 og B8**

Det er valgt utført beregninger for profil B7 og B8. Profil B8 er vurdert som det mest kritiske av disse tre snitta. Dette er også det mest kritiske snittet i utredninga.

Det er beregnet forholdsvis lav sikkerhetsfaktor mot brudd i drenert situasjon med faktor 1,23. Dette er godt under krav for en ny veg. For udrenert situasjon er det beregnet sikkerhetsfaktor 0,85 som er teoretisk brudd, se kommentar i kapittel 7.

Det er en svært bratt marbakke rett utenfor foten på muren. Den bratteste delen har en høyde på rundt 25-30 meter, og det er også skråning videre utover. I profilet strekker torv og leirmassene seg bakover under riksvegen og videre bakover. Leira er kvikkleire eller på grensen til kvikkleire (sprøbruddsmateriale). Et eventuelt brudd i den ytre delen av området mot Granvinsvatnet kan fort bre seg bakover ta med seg riksvegen.

Vi har i arbeida med denne rapport ikke lagt mye arbeid i å finne historikken til området, men det er naturlig å anta at det er et naturlig elveos som har blitt fylt opp og planert ut. Ytterst er det murt opp en tørrmur, denne ser ut til å ha fått store setninger. En gjennomgang av tilgjengelige flyfoto fra 2006 til 2014 tyder også på at området har satt seg over lengre tid og at det kan være fylt på nye masser. Det ser ut som at det er den nordlige delen av området som har fått størst setninger. Se kapittel 10 for bilder av området.

Det er å forvente at et slikt område setter seg ved en utfylling og oppmuring av tørrmur, da det er tykke lag med torv under oppfyllingen. Setningene kan ikke forventes å avta før om lang tid.

De pågående setningene ytterst i området er i seg selv ikke bekymringsverdig for riksvegen, men eventuell tilkjøring av nye masser for å opprettholde området vil være svært bekymringsverdig. Det er ikke usannsynlig at tilleggslast fra en eventuelt ytterlige utfylling med steinmasser kan medføre et grunnbrudd i leirlaget under torva.

Det poengteres at opprinnelig torvmasser er vesentlig lettere enn eventuelle tilførte steinmasser. Setningene vil sakte men sikkert komprimere torvmassene. Tilkjøring av nye steinmasser etterhvert som torvmassene presses sammen vil medføre en stadig større vekt på leirlaget. Det er sannsynlig at dette kan medføre et grunnbrudd.

Med tanke på stabiliteten av området og sikkerhet for rv. 13 må det ikke tilføres ytterlige masser på området. For å sikre området anbefales det at en del av massene ytterst fjernes slik at skråninga avlastes. Omfang, og beregnet effekt av tiltak må utføres i et eget notat. Se tegning V032 for aktuell utstrekning av området med avlastning. Tiltaket er ikke prosjektert og kartert er derfor ikke detaljert.

Profil B6 og B7 er relativt like B8, men med noe slakere skråning i vannet samt mindre vekt på kanten av marbakken. Det er beregnet stabilitet i profil B7, drenert analyse viser god stabilitet og bedre enn kravet for ny veg. Udrenert viser svært lav stabilitet beregnet til 1,04, men basert

på diskusjonen om beregnet sikkerhetsfaktor under 1,00 i profil B8 antas det at denne sikkerhetsfaktoren er konservativ og virkeligheten høyere. Tilsvarende profil B5 er kritisk skjærflate for udrenert situasjon stor, og det skal mye til å få et slikt udrenert brudd. Et udrenert bruddmekanisme for et kortere skjærflate viser sikkerhetsfaktor 1,23. Totalt sett vurderes stabiliteten å være akseptabel for en eksisterende veg. Men så lav udrenert sikkerhet viser at området må behandles varsomhet, og at det ikke må gjøres tiltak som kan forverre stabiliteten.

Helt sør i området er det boret ei sondering, totalsondering 139. Den viser vegfylling 0-1,5 m, deretter antatt lagdelte masser av sand, grus, humus, silt og mulig mindre lag med leire til rundt 10 meters dybde. Fra 10-12 meter tolkes sonderingen som leiremasser, deretter er det fastere masser før berg er funnet ved rundt 15 meters dybde. Det er ikke forsøkt regnet stabilitet i snittet, men basert på helning på sjøbunn og resten av utredninga forventes at området ligger med tilfredsstillende drenert stabilitet, men også her dårlig udrenert sikkerhetsfaktor.

## **8.2 Samlet vurdering**

For nesten hele strekningen strekker det bløte sedimenter av siltig leire og/eller torvmasser under rv.13. Disse ligger under et lag med vegfylling og naturlig avsatt sandig og grusig materiale.

For hele strekningen må man være forsiktig å heve terrenget rundt vegen eller selve vegen da dette medfører en forverret stabilitetssituasjon. Fyllinger bør vurderes av personer med geoteknisk kompetanse. Generelt ligger vegbanen og området på utsiden av vegen med en beregnet udrenert stabilitet som tilsier at det ikke kan utføres oppfylling med nødvendig sikkerhet mot utglidninger. Stedvis gjelder dette også på oppsiden av riksvegen, for eksempel ved kirken.

Generelt er det vurdert at vegen stort sett ligger med akseptabel stabilitet for dagens situasjon om det ikke utføres noen form for arbeider som kan forverre stabiliteten.

**Det er ett område som peker seg ut med det som vurderes som problematisk stabilitet, også for dagens situasjon.** Dette gjelder den planerte sletten på utsiden av vegen på sørsiden av Granvin kirke, beregningsprofil B8. Her antas det at det har blitt utført planering- og fyllingsarbeider i en naturlig elveos i flere omganger. På utsiden er det høy og bratt marbakke, om denne går til brudd kan ei utglidning raskt nå bak til riksvegen. Det bør umiddelbart sikres at det ikke legges ut mer masser på området, dette gjelder hele området. Det anbefales også at det vurderes tiltak for å forbedre sikkerheten mot utglidning. Dette kan for eksempel være fjerning av masser fra den ytterste delen av området for å avlaste grunnen, muren kan trekkes innover reetableres lengre inne på området. Aktuelt område er vist på tegning V32.

Slik området ligger i dag er det planert ut på tykke lag med torvmasser så det må forventes at det vil pågå store setninger selv uten tiltak. Det må også forventes at disse vil pågå over lang tid.

## **8.3 Andre forhold og tidligere anbefalinger**

Det poengteres at forslaget om å fylle ut bukta ved Kyrkjessvingen med massefortregning ved sprenging, for veglinja som foreslått i rapporten fra 1980, frarådes på det sterkeste. Metoden kunne vært fornuftig om det kun var dynn over fast sand og grus som er tolket fra grunnboringene i den rapporten. Men grunnet sprøbruddsleire under dynnlaget, samt at dette strekker seg inn under vegen og delvis kirken, ville dette vært et svært uheldig valg av løsning.

I notat fra 2010 er det en generell anbefaling at det ikke bør fylles i bukta. Denne anbefalinga støttes også av denne utredninga, selv om det potensielt kan være mulig å starte med en motfylling i fot av marbakken og bygge seg opp fra denne. Men dette ville være krevende pga. stor dyp, store volum og mektige bløte lag på sjøbunn – samt at stabiliteten for området må ivaretas ved utførelse. Om et slikt alternativ skal vurderes må det påregnes omfattende supplerende undersøkelser og utredninger. Det kan ikke garanteres med dagens grunnlag at et slikt tiltak er gjennomførbart.

Det er nevnt i notat fra 2010 at en pelet bruløsning kan være en aktuell løsningen for å krysse bukta. Pelefundamenter dimensjoneres normalt ikke for å kunne motstå skred eller større sig i skråninger. Peler kan dermed ikke plasseres i skråninger med dårlig stabilitet eller der det er fare for at fundamentet kan bli truffet av et skred. Fundamenta kan kun plasseres der det er beregnet sikkerhetsfaktor etter gjeldende regelverk. Det vil derfor være store begrensninger i hvor man kan plassere pelefundamenter for ei bru om de naturlige skråningene ikke sikres først.

Eventuelle andre byggetiltak utover en anbefaling om avlastning ved profil B8 er ikke vurdert i denne rapporten.

Det er funnet sprøbruddsmateriale og kvikkleire under store deler av rv.13 i utredningsområdet. Det er i forbindelse med disse arbeida ikke forsøkt å avgrense et aktsomhetsområde for kvikkleireskred etter NVE sine veileder 07-2014. En slik aktsomhetsområde ville strekt seg langs vannet mer eller mindre for hele utredningsområdet. Aktsomhetsområdet ville blitt avgrenset oppover i terrenget enten mot berg i dagen eller fastere løsmasser. Granvin kirke ville høyst sannsynlig også blitt med innenfor en slik sone.

## 9 Konklusjon

For nesten hele strekningen er det bløte sedimenter av siltig leire og/eller torvmasser under rv.13. Disse ligger under et lag med vegfylling, samt et naturlig avsatt lag med sand og grus materiale, med en del humusinnhold. Det er vurdert at store deler av vegen ligger med akseptabel stabilitet for dagens situasjon, så lenge det ikke utføres noen form for arbeider som kan forverre stabiliteten.

For hele strekningen må man være forsiktig med å heve terrenget rundt vegen, eller selve vegen, da dette medfører en forverret stabilitetssituasjon. Fyllinger i området bør vurderes av personer med geoteknisk kompetanse. Generelt ligger vegbanen og området på utsida med en beregnet udrenert stabilitet som tilsier at det ikke kan utføres oppfylling med nødvendig sikkerhet mot utglidninger. Dette gjelder stedvis også innsida av vegbanen. Også andre arbeid som kan forverre stabiliteten bør unngås eller vurderes nøyne av fagkyndig kompetanse (geoteknikk)

For ett område sør i området er det særlig dårlige stabilitetsforhold. Det pågår setninger i området. Her må det umiddelbart påses at det ikke utføres ytterlige utfyllinger. Det bør søkes en løsning med å bedre stabiliteten ved å avlaste området. Dette kan for eksempel gjøres ved å grave bort muren og massene ytterst, for deretter å etablere en ny mur lengre inne. Det vises til tegning V032 for en avgrensning av området.

## 10 Bilder profil B8

Bilder av nordlige del av muren ytterst ved profil B8. Denne har fått stor setninger. Bilda er tatt ved befaring 31.05.2017 og 15.10.2017.



Figur 4: Bilder ved profil B8, tatt 15.10.2017 (øverste) og 31.05.2017 (nederste).

## 7REFERANSER

**Karlsrud et al. (2005).** CPTU correlations for clays. Proceedings of the 16th international conference on soil mechanics and geotechnical engineering.

**NIFS** (2014). Rapport 14-2014. Naturfareprosjektet Dp. 6 Kvikkleire. En omforent anbefaling for bruk av anisotropifaktorer i prosjektering i norske leirer, datert 30.01.2014.

**NGF** (2010) Melding nr 5. Veiledning for utførelse av trykksondering. Norsk geoteknisk forening.

**NGF** (2013) Melding nr.11. Veiledning for prøvetaking, Norsk geoteknisk forening.

**NGI** (2017): Skredet ved Granvinsvatnet. Utredning av skredteknisk årsak. dok.nr 20160646-01-R, datert 2017-03-23.

**NGI** (2018): Uavhengig kontroll av rapport 30273-GEOT-1, rev.1 Rv13 Kyrkjessvingen, stabilitet dagens veg. 20170939-01-TN, datert 09.01.2018

**NGI\_rev.1** (2018): Uavhengig kontroll av rapport 30273-GEOT-1, rev.1 Rv13 Kyrkjessvingen, stabilitet dagens veg. 20170939-01-TN rev.1, datert 06.02.2018

**NVE** (2014) Veileder 07-2014 Sikkerhet mot kvikkleireskred. Vurdering av områdestabilitet ved arealplanlegging og utbygging i områder med kvikkleire og andre jordarter med sprøbruddegenskaper

**DOFsuea** (2010) Bunnkartlegging Granvinsvatnet, dokument nr. 600093-DSN-O15-10-0001-02, datert 11.06.2010.

**SGI** (1988) Torv– geotekniska egenskaper och byggmetoder, STATENS GEOTEKNISKA INSTITUT- Information 6, datert oktober 1988

**Statens vegvesen** (2014): Geoteknikk i vegbygging. Håndbok V220

Opptegning i plan / på oversiktskart.

#### TEGNINGSSYMBOLER

Nummerering i henhold til borpunktliste GeoPlot.

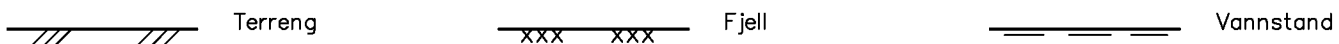
Symbol	Metode	Anmerkning	Symbol	Metode	Anmerkning
●	2401 Dreiesondering	Sondering m. registrering av motstand.	■	2410 Setningsmåling	Nivellelementspunkt.
◎	2402 Prøveserie	Prøvene tatt med boringsredskap (skovlbor, prøvetagger, diamantkjernebor m.m.)	⊖	2411 S.P.T.	Standard Penetration Test
□			✖	2412 Fjellkontrollboring	Boring ned til og i fjell.
☒	2403 Prøvegrop	Prøvene tatt i gropvegg.	○	2413 Poretrykksmåling	Inkludert måling av grunnvannstand.
☒	2404 Prøvebelastning	Peler, terrengplater, fundamenter o.l.	●	2414 In situ permeabilitetsmåling	Infiltrasjonsforsøk, prøvepumping m.m.
○	2405 Enkel sondering	Sondering uten registrering av motst., f.eks. spyleboring, slagboring m.m.	+	2415 Vingeboring	Måling av uomrørt og omrørt udrenert skjærstyrke.
▽	2406 Dreietrykksondering	Maskinsondering med automatisk registrering.	Ω	2416 Elektrisk sondering	Elektrisk motstand, korrosivitet etc.
▽	2407 CPTU	Sondering der spissmotstand, lokal friksjon og poretrykk registreres under nedpressing	□	2417 Helningsmåling	Inklinometer.
⊗	2408 Skruplateforsøk	Kompressometer o.l.	⊕	2418 Totalsondering	Kombinasjonsboring gjennom løsmasser og fjell.
▼	2409 Ramsondering	Sondering der borstang slås ned. Stangdiameter, loddvekt og fallhøyde er normert. $Q_0$ registreres.			

#### NIVÅER OG DYBDER (i meter)

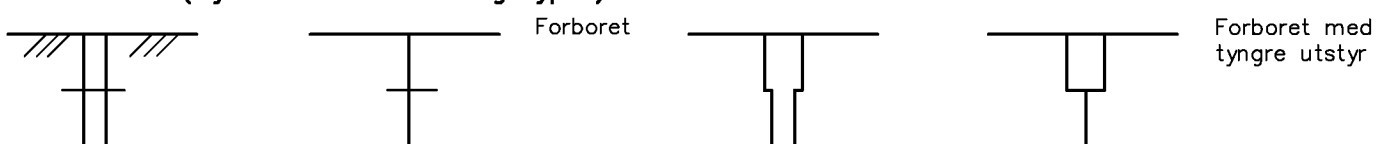
✖  $\frac{12,8}{-5,7}$  18,5+3,0      Over linjen : kote terregn eller elvebunn, sjøbunn ved boring i vann (12,8).  
 Ut for linjen : boret dybde i løsmasser (18,5). Evt. boret dybde i fjell angis etter plussstegn (+3,0).  
 Under linjen : sikker fjellkote.

#### OPPTEGNING I PROFIL

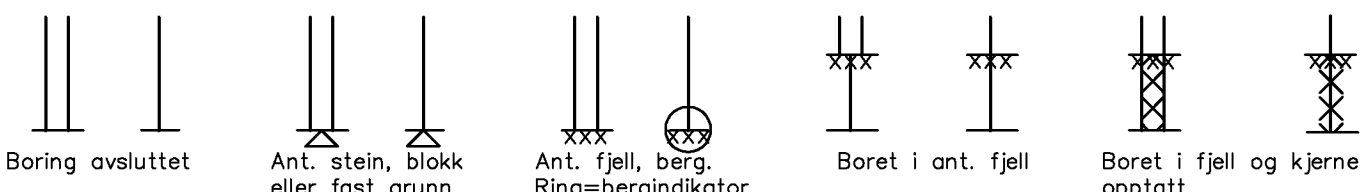
Generelt



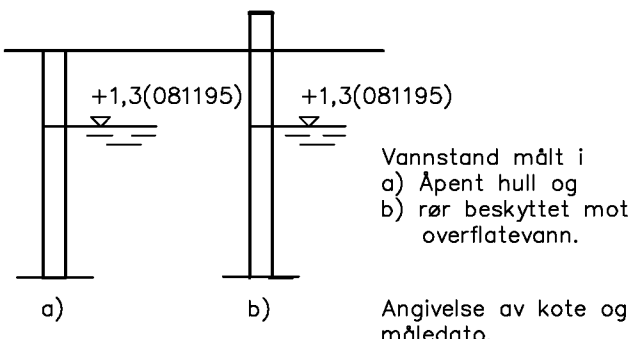
#### FORBORING (Gjelder alle sonderingstyper)



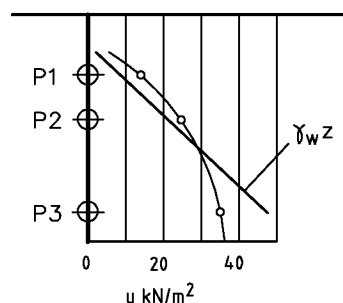
#### AVSLUTNING AV BORING (Gjelder alle sonderingstyper)



## GRUNNVANNSTAND



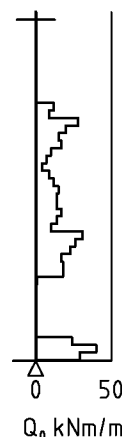
## PORETRYKK



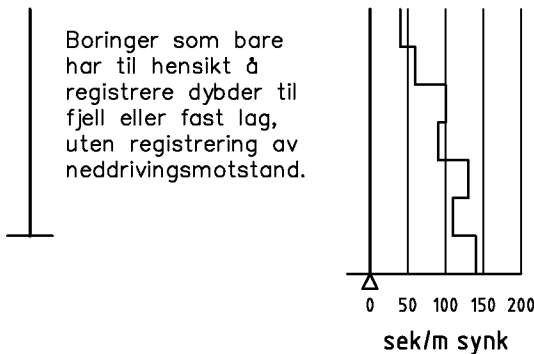
## VANNSTAND

HFV	Høyeste flomvannstand
HRV	Høyeste regulerte vannstand
LRV	Laveste regulerte vannstand
HHV	Høyeste høyvannstand
LLV	Laveste lavvannstand
HV	Normal høyvannstand
LV	Normal lavvannstand
MV	Normal middelvannstand
V	Vannstand (dato angis)
GV	Grunnvannstand (dato angis)

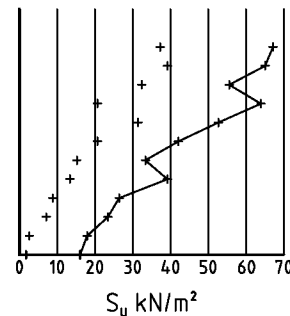
## RAMSONDERING



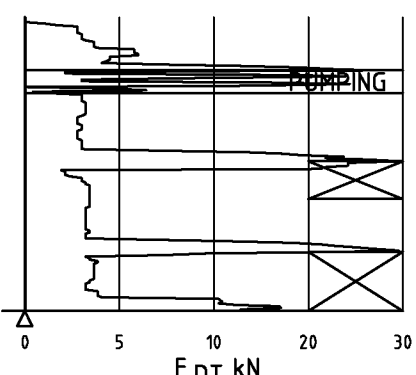
## ENKEL SONDERING



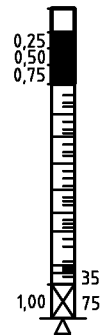
## VINGEBORING



## DREIETRYKKSONDERING

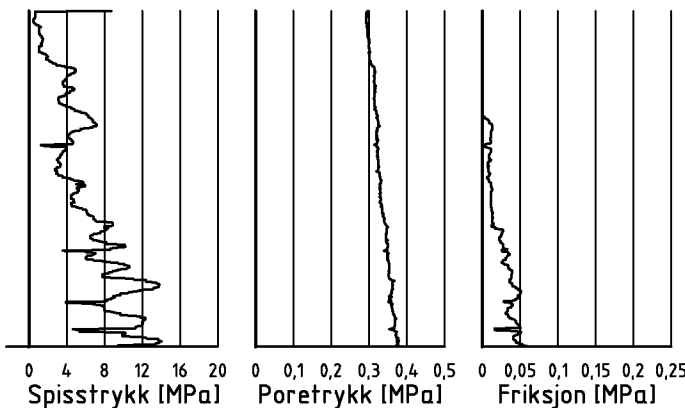


## DREIESONDERING



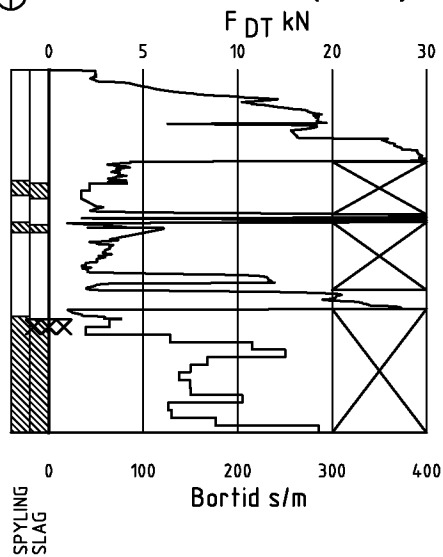
Forboringsdybde markeres og  
diameter angis i mm. Vertikal-  
lasten i kN angis på borhullets  
v. side. Endring i belastning  
vises ved tverrstrek. Synk uten  
dreining markeres med skygge-  
legging eller raster.  
Hel tverrstrek for hver 100 halv-  
omdreining. Halv tverrstrek for  
hver 25 halvomdreining. Mindre  
enn 100 halvomdreining vises  
ved å skrive ant. halvomdr. på  
h. side. Neddriving ved slag på  
boret vises m. kryss, slagant. og  
redskap kan angis. Endret ned-  
drivingsmåte vises m. hel tverrstr.

## ▽ CPT / TRYKKSØNDERING

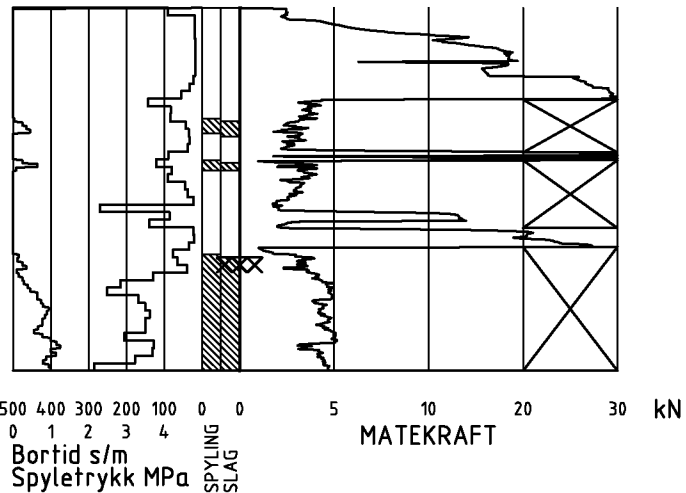


Trykksøndering med poretrykksmåling og friksjonsmåling.  
Borhullet markeres med en tykk strek hvor spissmotstandskurven tegnes inn.  
Poretrykkskurven og friksjonskurven tegnes inn i høyelig nærhet til spissmotstandskurven.  
Skala velges etter (oppredende) målte spenninger.

## ⊕ TOTALSONDERING (alt. 1)



## ⊕ TOTALSONDERING (alt. 2)



Metoden er en kombinasjon av dreietrykksøndering og fjellkontrollboring, med 57 mm borkrone.

Målt nedpressingskraft vises som funksjon av dybden der hvor boringen er utført med prosedyre som for dreietrykksøndering. Økt rotasjonshastighet vises med kryss for denne delen av boringen.

Ved boring med slag og spyling markeres dette med skravur. Bortid tegnes i blokker for hver 0,2m, evt. 1,0m (alternativ 1). Alternativt kan nedpressingskraft tegnes også for denne delen av boringen. Bortid tegnes da i blokker for hver 0,2m, evt. 1,0m, på motsatt side av diagrammet (alt. 2).

## KODELISTE

Data som registreres kan kompletteres med borlederenes egne inntrykk. For å hjelpe borlederen finnes det en kodeliste som anbefales brukt. Kodene kan om ønskelig tegnes til høyre for bordiagrammet. Disse koder benyttes:

### GENERELLE KODER

- 00 Foreg. kode feil, skal være kode...
- 01 Startnivå for følgende kode
- 02 Metodebytte ved fortsatt sondering i samme hull (komb. m. ang. ny met.)
- 03 Ytterligere info. finnes

### ANMERKNINGSKODER

- 10 Stoppnivå for tidligere forsøk (komb. m. stoppkode).
- 11 Lengre opphold i sond. (mer enn 5min.)
- 12 Dreining ikke utført fra det markerte nivå.
- 13 Sonden synker uten loddets vekt (ramsond.).
- 14 Sonden synker med loddets tyngde.
- 15 Sonderingsmotstand registreres ikke.
- 16 Stopp for poretrykksutjevning (CPT).
- 17 Poretrykksutjevning avsluttet.

### FRIE KODER (EKSEMPEL)

- 60 Borstangen bøyer seg.
- 61 Trolig grunnvannsnivå.
- 62 Markert mottrykk under oppbygging.
- 63 Slutt mottrykk.

### BEDØMMELSESKODER

- 30 Fyllmasse
- 31 Tørrskorpe
- 32 Leire
- 33 Silt
- 34 Sand
- 35 Grus
- 36 Morene
- 37 Torv
- 38 Gytje
- 40 Forekomst av stein
- 41 Stein, blokk eller berg.
- 42 Sluttnivå for stein eller blokk.

### MASKINTEKNISKE KODER

- 70 Økt rotasjon begynner
- 71 Økt rotasjon avsluttet
- 72 Spyling begynner
- 73 Spyling slutter
- 74 Slag starter
- 75 Slag slutter
- 76 Slag og spyling starter samt.

- 77 Slag og spyling slutter samt.
- 78 Pumping starter
- 79 Pumping slutter

### STOPPKODER

- 90 Sondering avsl. uten å ha oppnådd stopp.
- 91 Fast grunn, sond. kan ikke drives videre etter norm. pros.
- 92 Ant. stein eller blokk
- 93 Ant. berg
- 94 Avsl. etter boret ønsket dybde i fjell.
- 95 Brudd i børstenger eller spiss.
- 96 Annen material- eller mask. feil
- 97 Boring avsl. (årsak notert)

## PRØVESERIE

### Materialsignatur (iht. NGF)

Fjell	Stein og blokk	Grus	Sand
Silt	Leire	Skjell	Fyllmasse

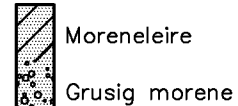
Trerester Sagflis	Matjord	Torv Planterester	Gytje, dy (vannavsnatt)

### Anmerkning

T = tørrskorpe  
Leire: R = resedimenterte masser  
K = kvikkleire

Ved blandingsjordarter kombineres signaturene.  
Morene vises ved skyggelegging.

Eks.:



Moreneleire



Grusig morene

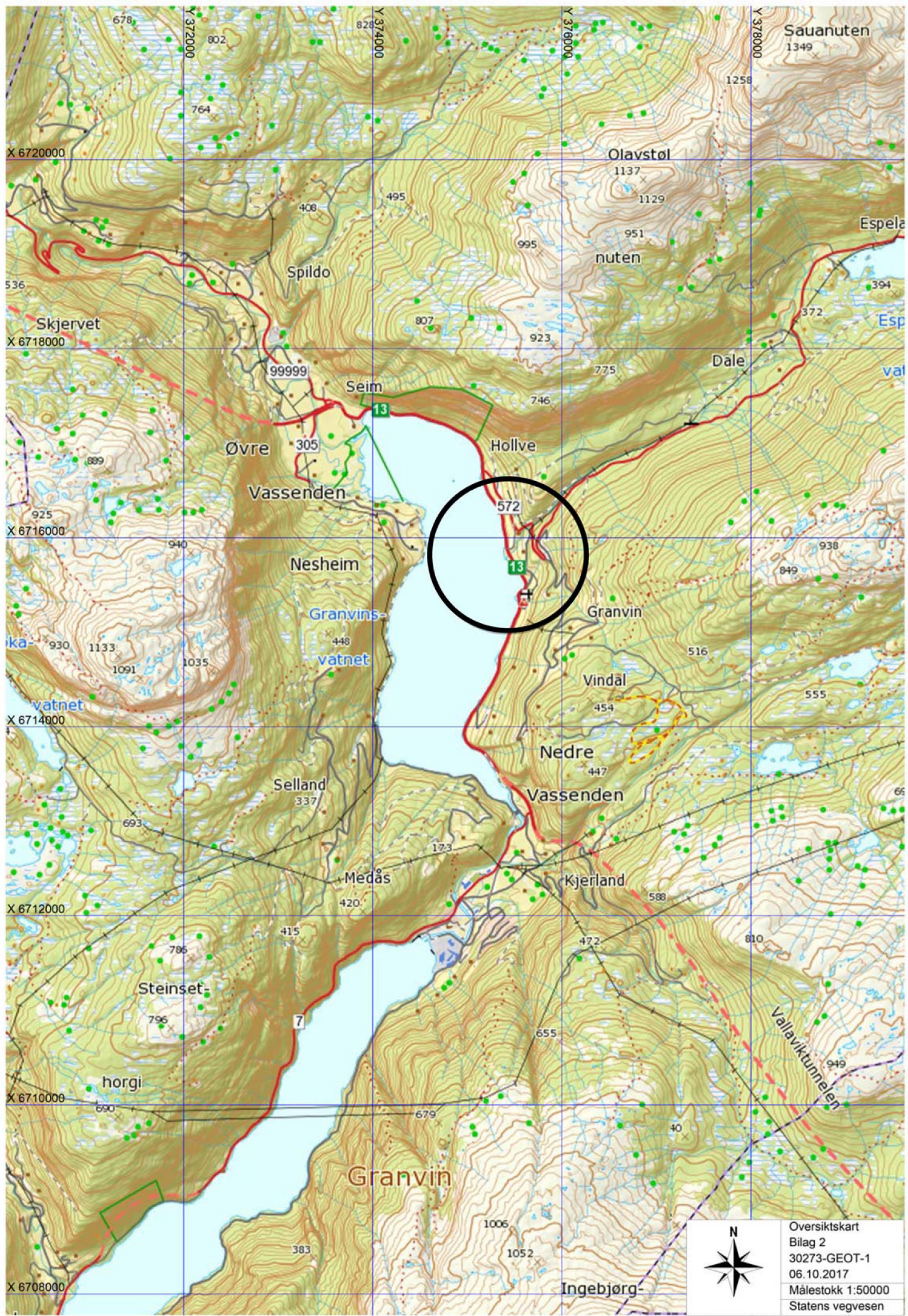
For konkresjoner kan bokstavssymboler settes inn i materialsignaturen.

Ca = kalkkonkresjoner  
Fe = jernkonkresjoner  
AH = aurhelle

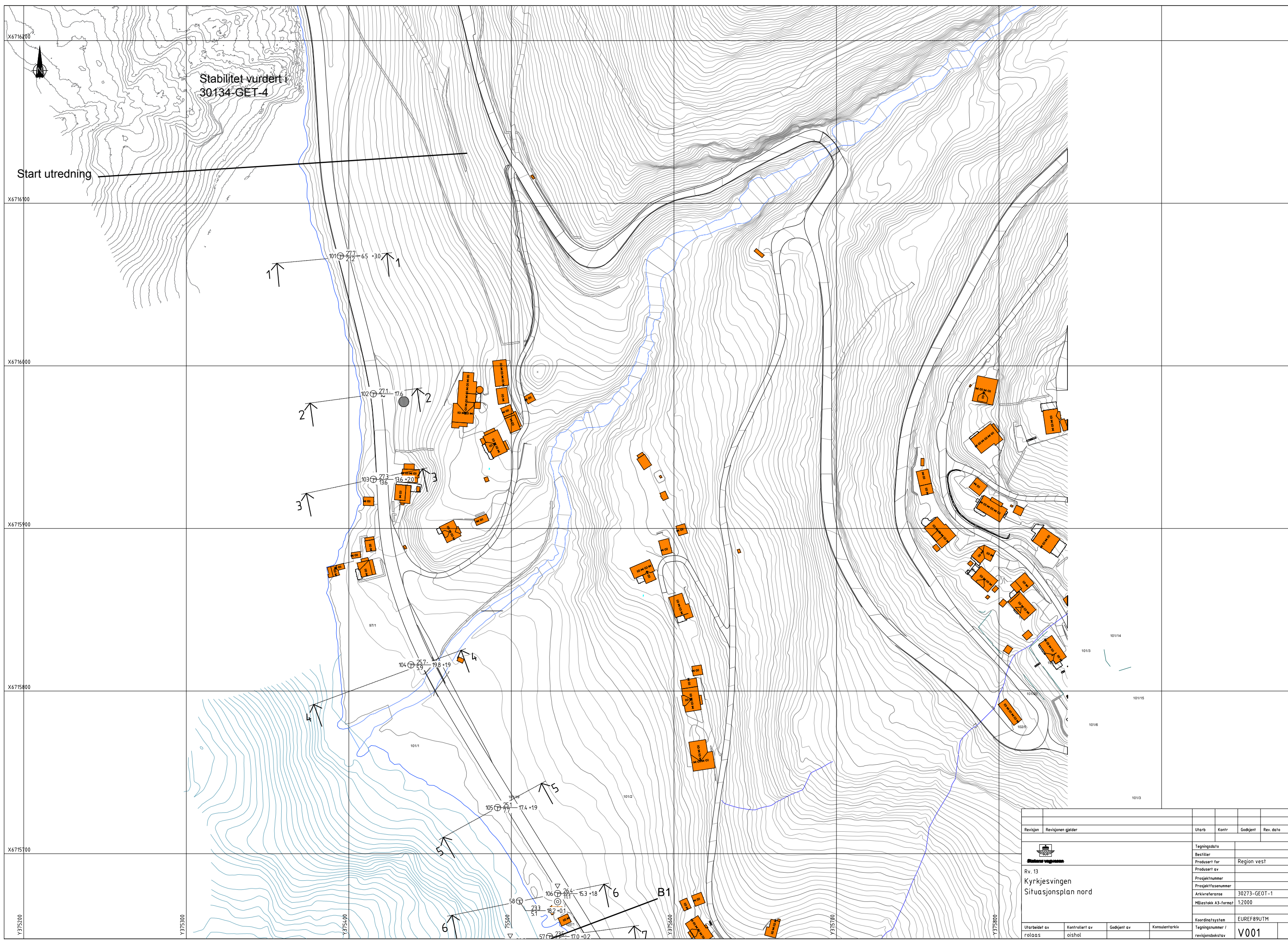
## SYMBOLER FOR LABORATORIEDATA

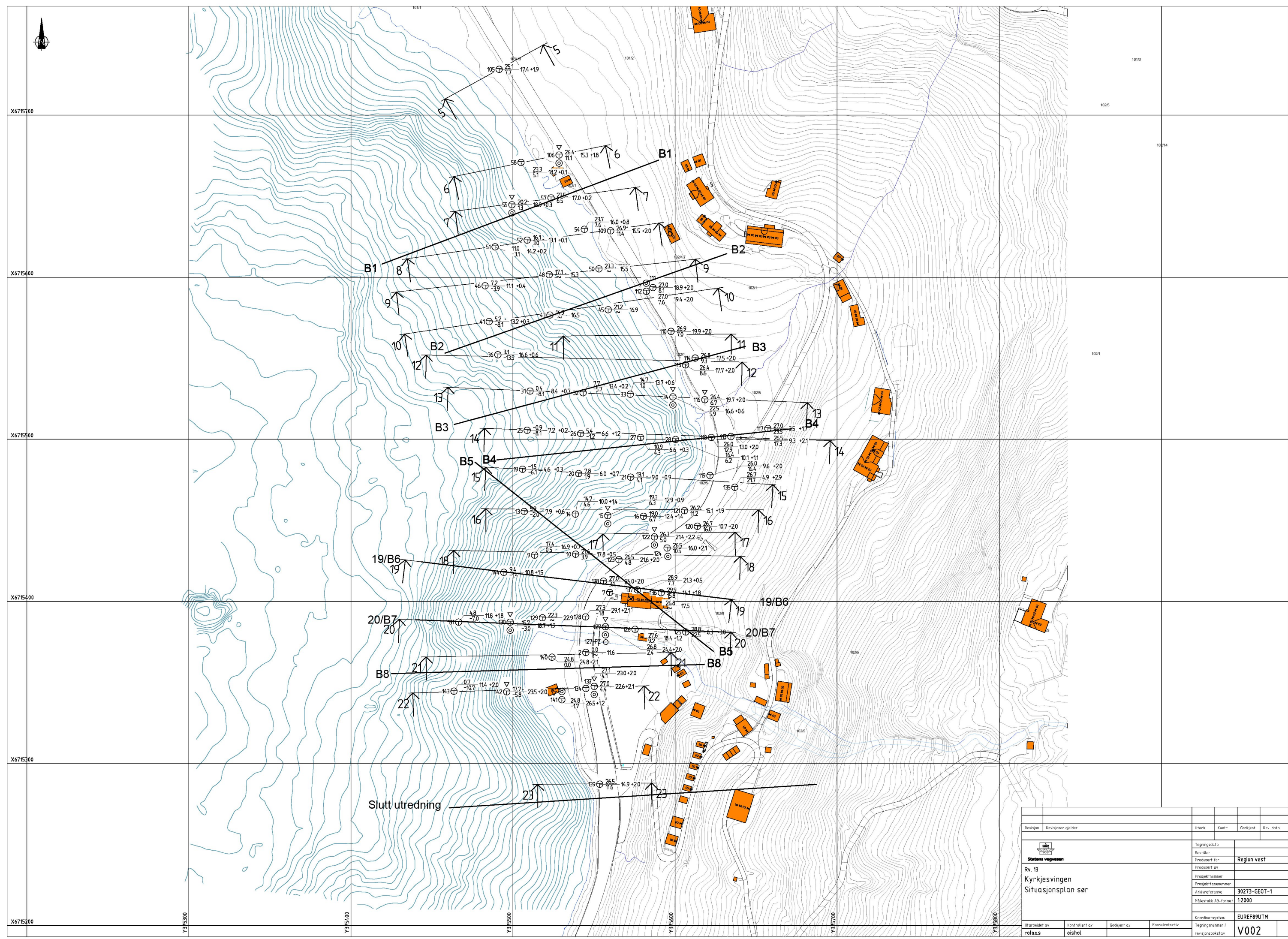
Laboratoriebestemmelser	Bokstav-symbool	Tegn-symbool	Anmerkninger
Materiale			Jordarter beskrives i samsvar med retningslinjer gitt av NGF. Hovedbetegnelsen skrives med store bokstaver.
Vanninnhold Naturlig vanninnhold Plastisitetsgrense Flytegrense Flytegrense konus	W WP WL WF	• — →	Angis i masseprosent av tørrstoff.  Metode skal angis.
Tyngdetethet / densitet Tyngdetethet Densitet Tørr densitet Korndensitet	γ γ γd γs		Tyngdetethet $\text{kN}/\text{m}^3$ . Densitet $\text{t}/\text{m}^3$ . γ ( $\text{kN}/\text{m}^3$ )
Porøsitet Poretall	n e		
Skjærstyrke, udrenert Konusforsøk, uomrørt Konusforsøk, omrørt Enkelt trykkforsøk	suk su'k sut	▼ ▼ ○	Symbolet settes i ( ) hvis verdien ikke ansees representativ. Aksialdeformasjon ved brudd ( $\epsilon_f$ ) angis i % slik: 15—5—10
Sensitivitet	St		Metode bør angis.
Organisk materiale			Angis i masseprosent av tørrstoff før forsøk.
Innhold av organisk karbon Glødetap Humusinnhold Formuldingsgraden	Oc Ogl ONa vP		Bestemt ved NaOH-metoden. Klassifisering etter von Post skala H <sub>1</sub> —H <sub>10</sub>

Forøvrig benyttes bokstavssymboler vedtatt av The International Society of Soil Mechanics and Foundation Engineering.

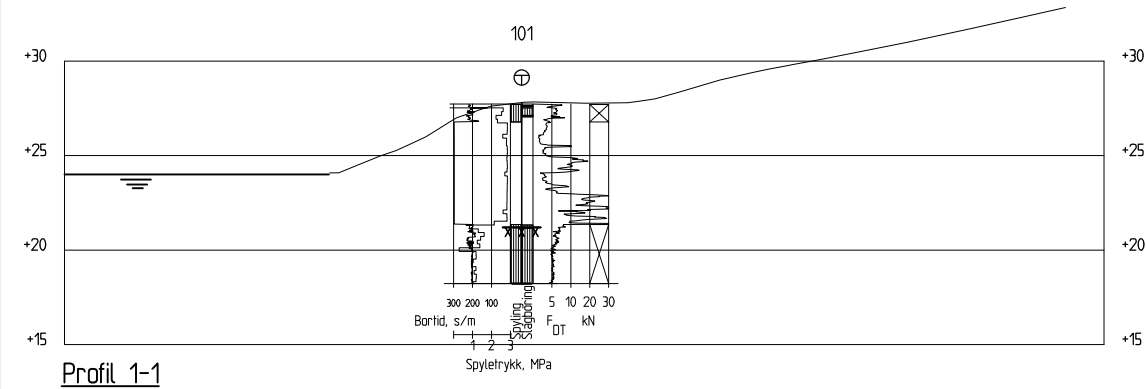


Oversiktskart  
Bilag 2  
30273-GEOT-1  
06.10.2017  
Målestokk 1:50000  
Statens vegvesen

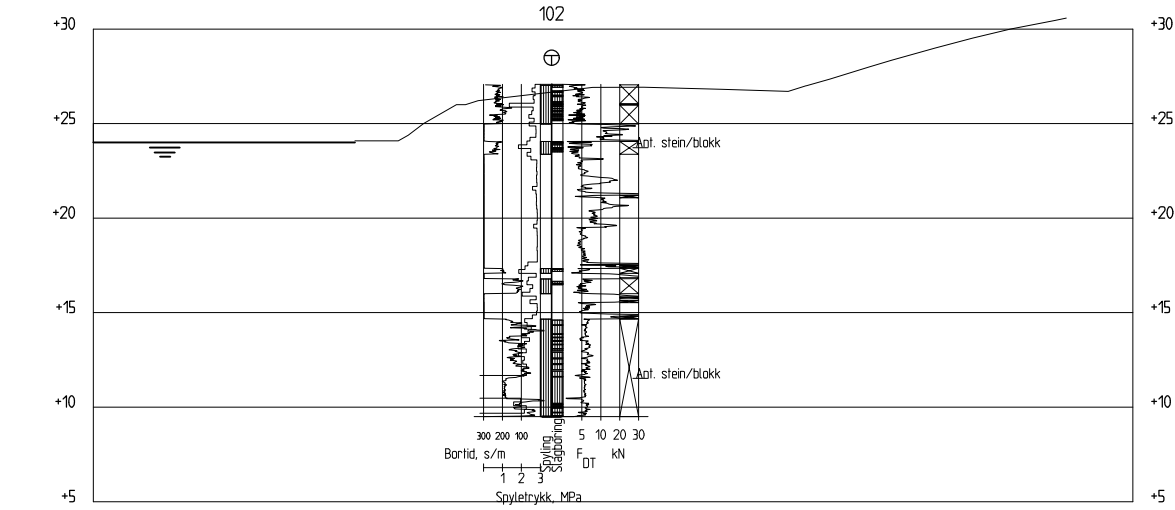




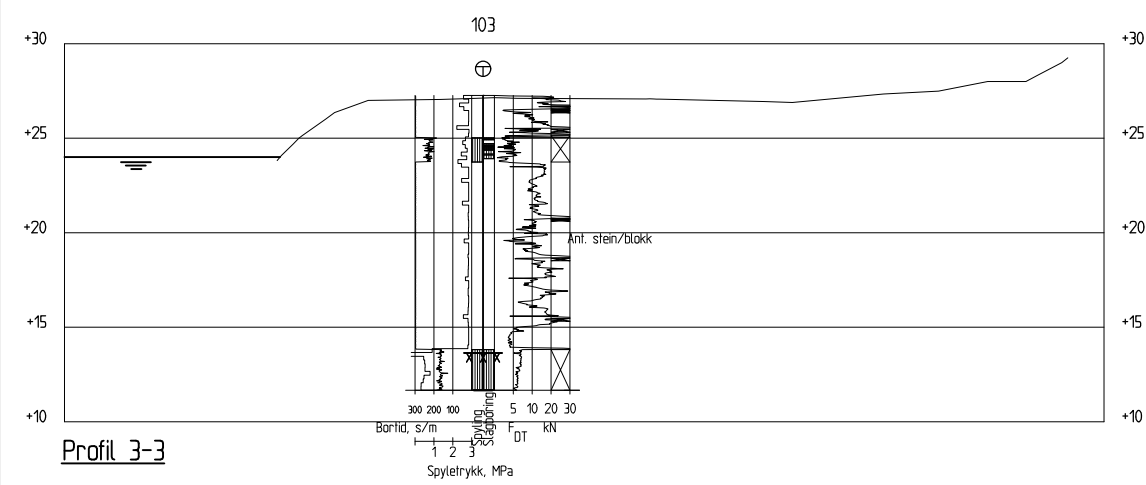
Revisjon	Revisjonen gjelder	Utarb	Kontr	Godkjent	Rev. dato
	Stasjonens vegvesen				
Rv. 13					
Kyrkjesvingen					
Situasjonsplan sør					
Arkivreferanse	30273-GEOT-1				
Målestokk	A3-format	1:2000			
Koordinatsystem	EUREF89UTM				
Utarbeidet av	rolaas	Kontrollert av	oishol	Godkjent av	Konsulentarbeid
Tegningsnummer / revisionsbokstav	V002				



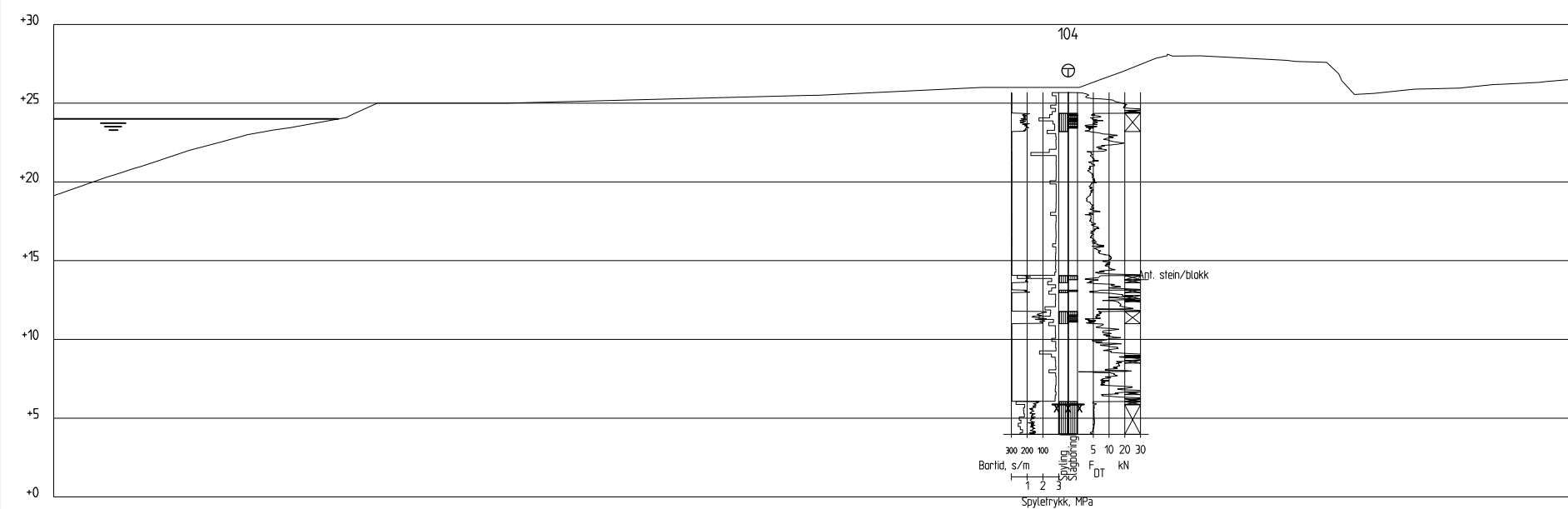
Profil 1-1



Profil 2-2

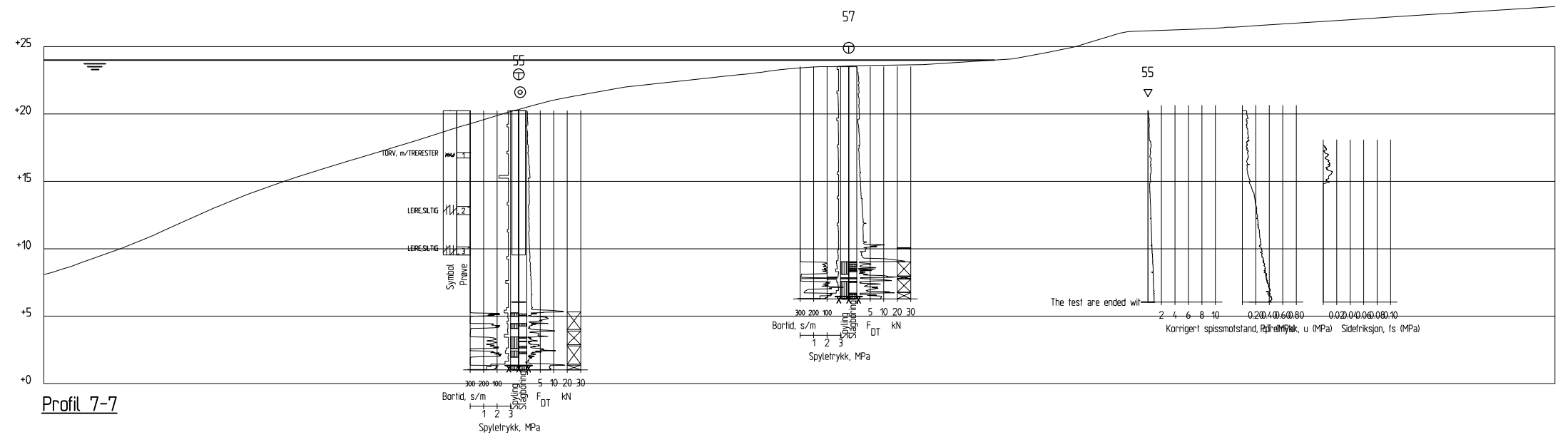
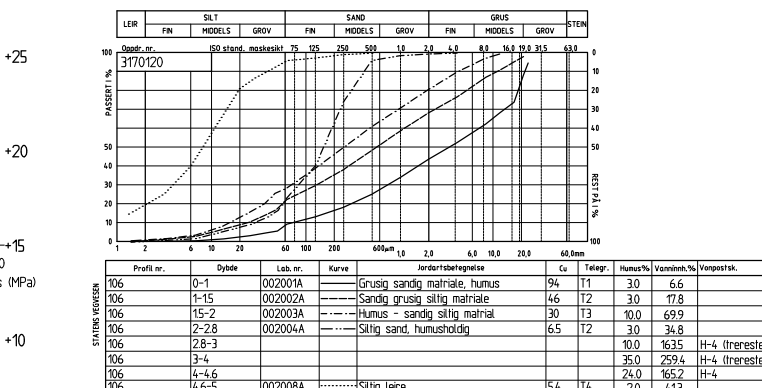
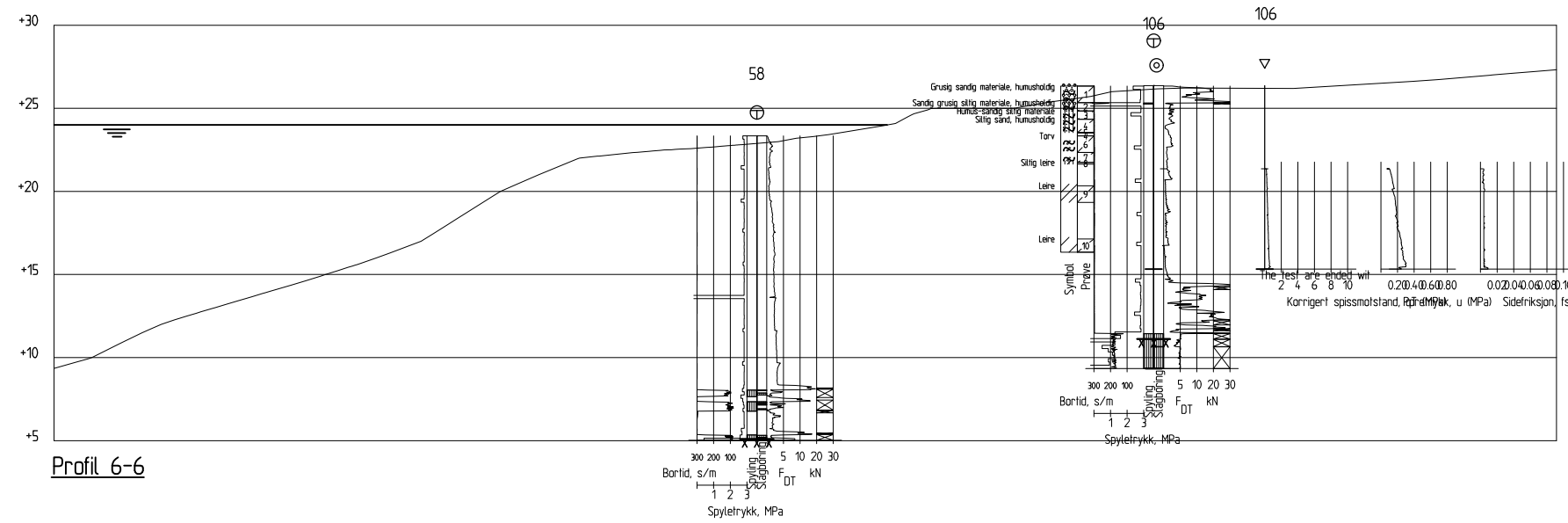
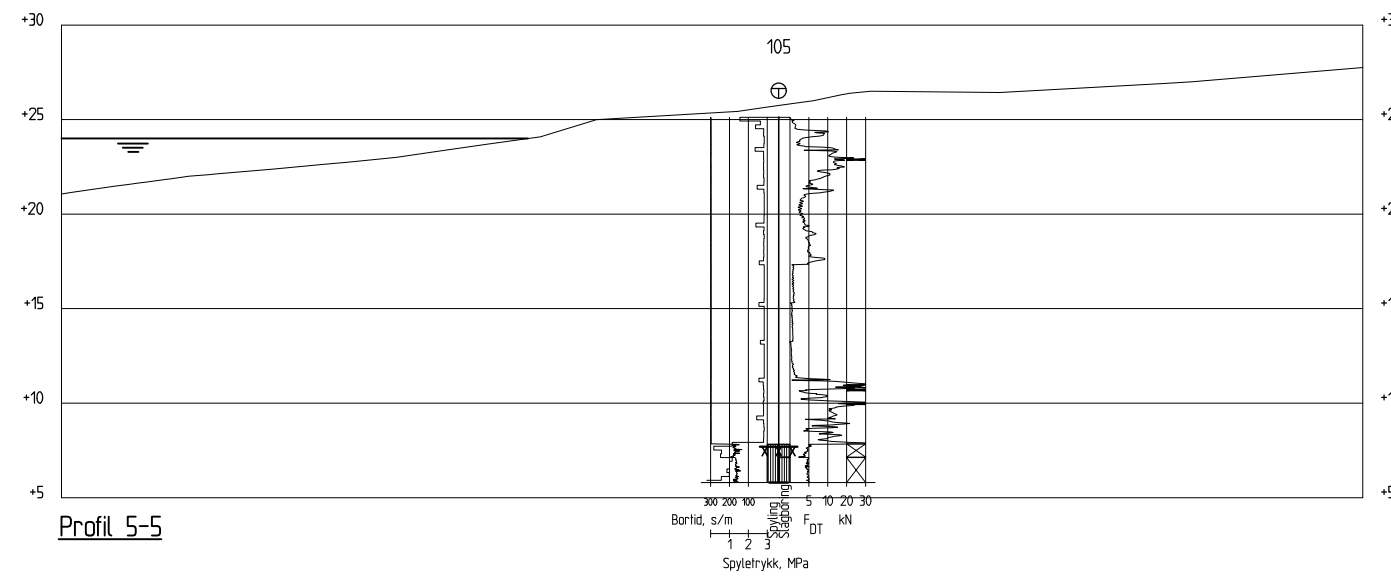


Profil 3-3

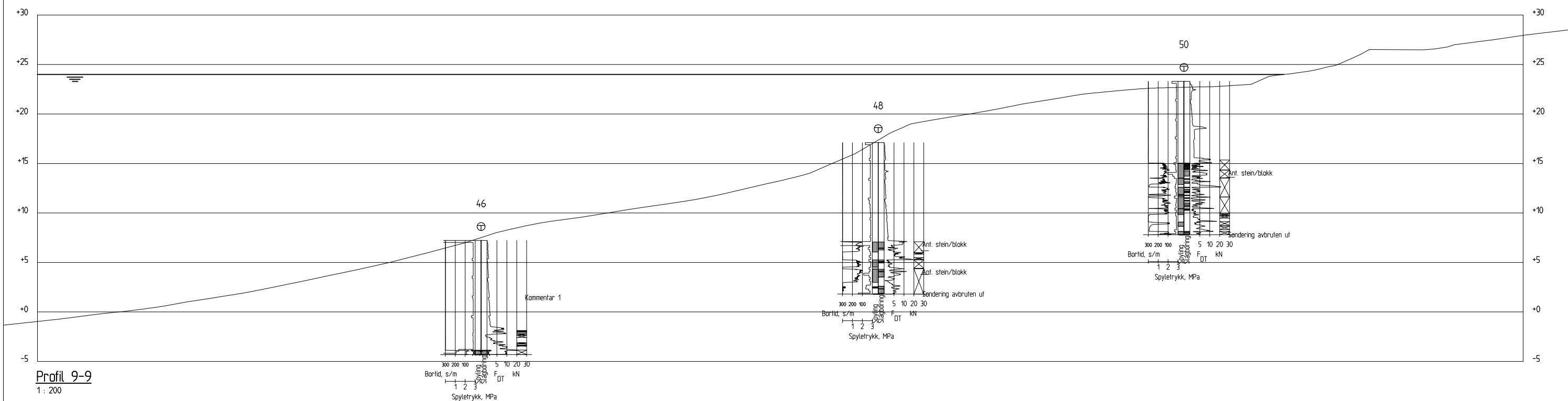
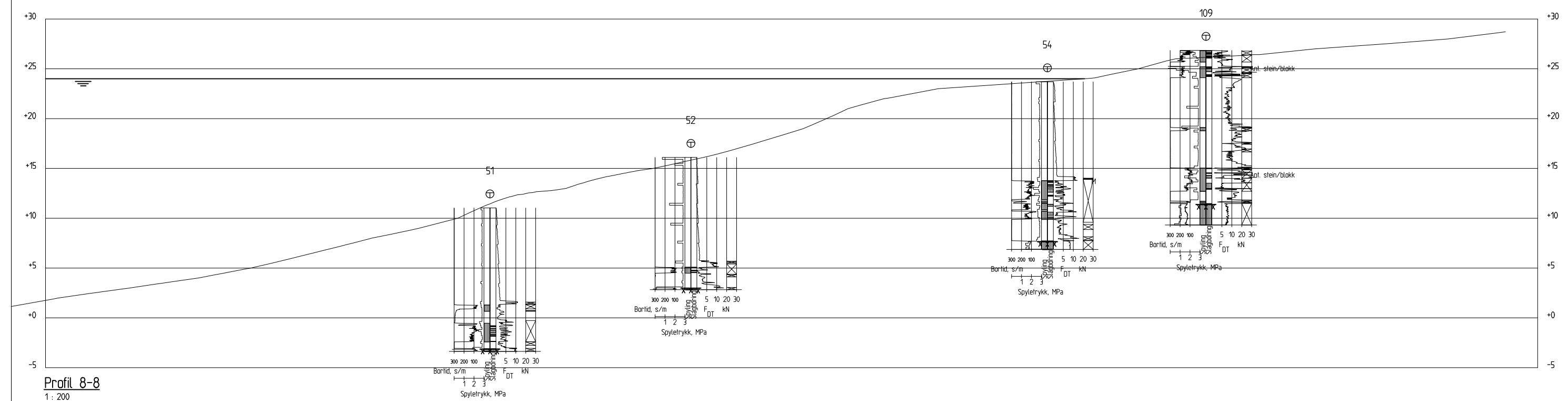


Profil 4-4

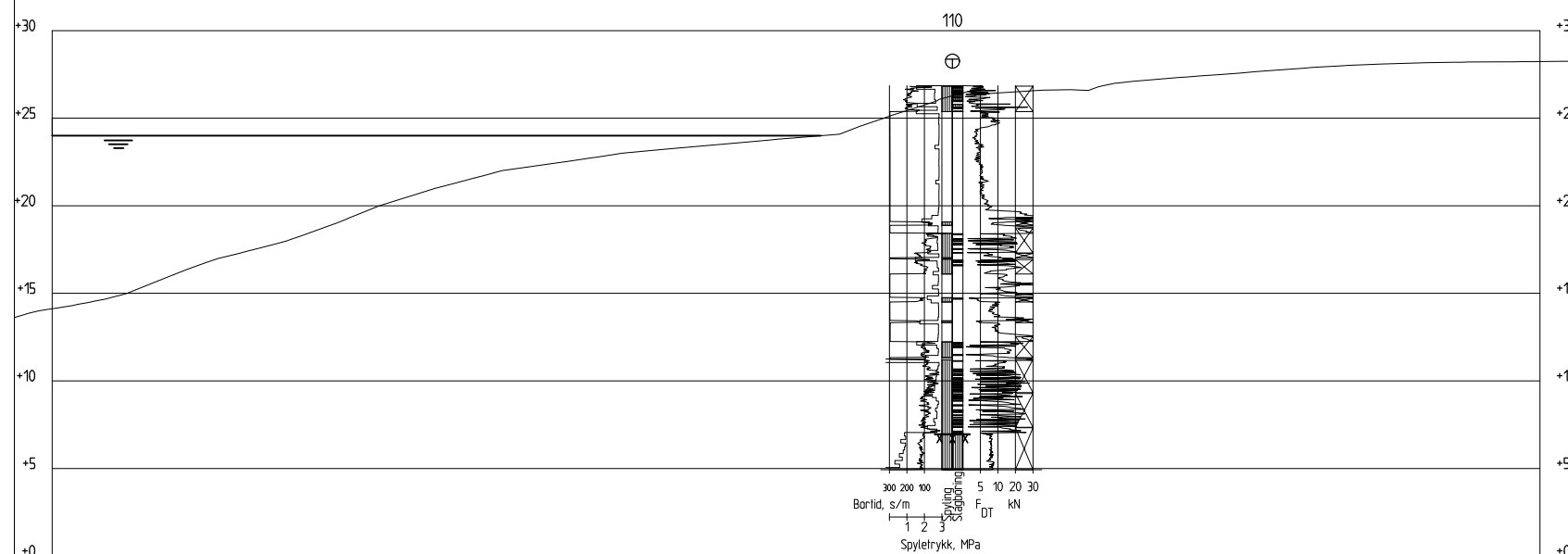
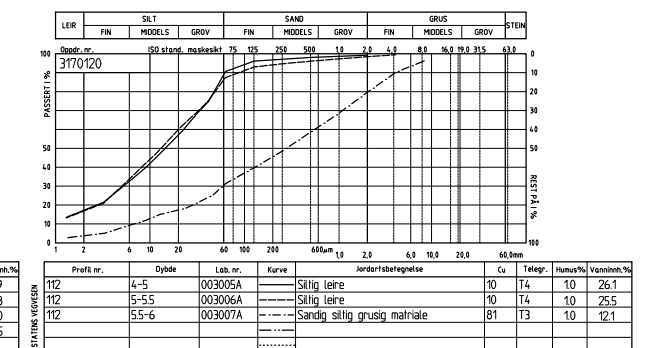
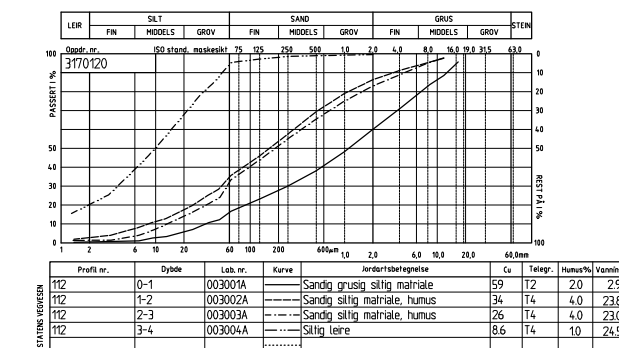
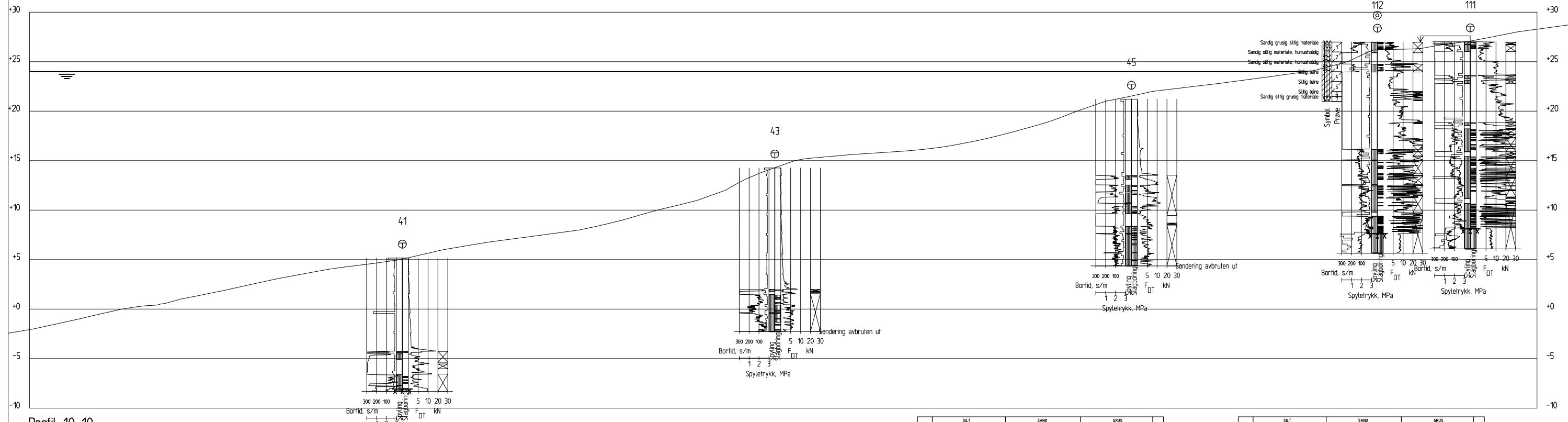
Revisjon	Revisjonen gjelder	Utarb	Konfr	Godkjent	Rev. dato
		Tegningsdato			
		Bestiller			
		Produsert for	Region vest		
		Produsert av			
		Prosjektnummer			
		Prosjektfasenummer			
		Arkivreferanse	30273-GEOT-1		
		Målestokk A3-format	1:400		
		Koordinatsystem	EUREF89UTM		
		Utarbeidet av	Kontrollert av	Godkjent av	Konsulentarkiv
		rolaas	oishol		
		Tegningsnummer / revisjonsbokstav		V003	



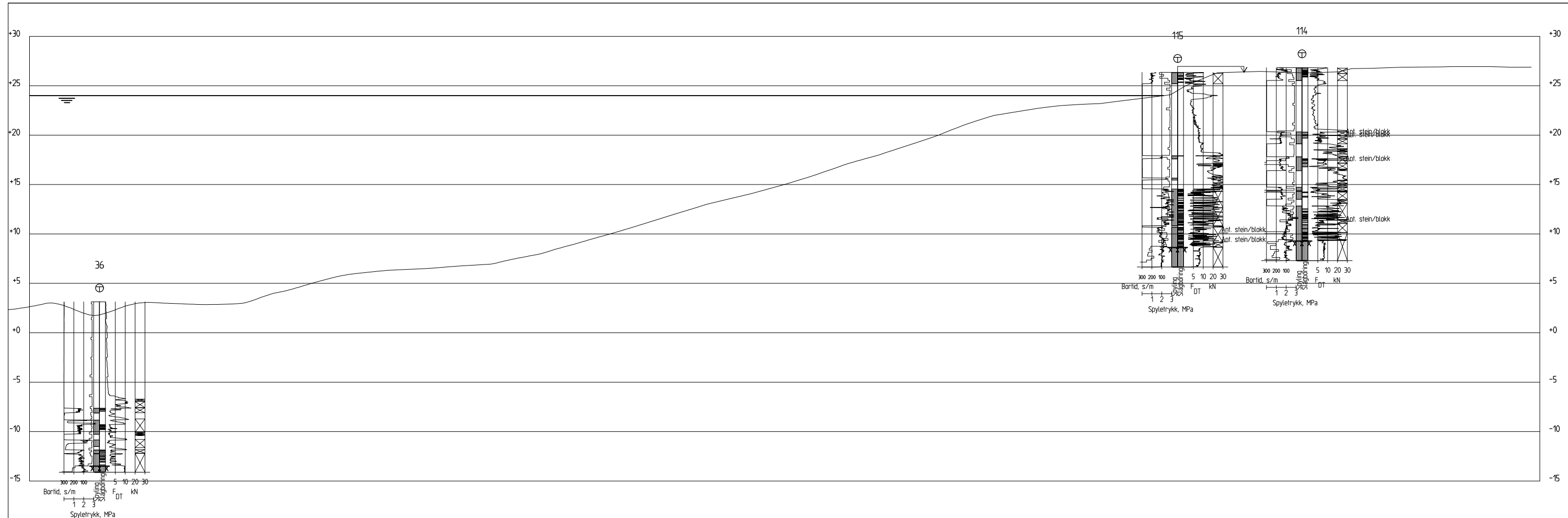
Revisjon	Revisjonen gjelder	Utarb	Kontr	Godkjent	Rev. dato
Statens vegvesen					
Tegningsdato					
Bestiller					
Produsert for					
Region vest					
Produsert av					
Prosjektnummer					
Prosjektfasenummer					
Arkivreferanse 30273-GEOT-1					
Målestokk A3-format 1:400					
Koordinatsystem EUREF89UTM					
Utarbeidet av Kontrøllert av Godkjent av Konsulentarkiv					
Tegningsnummer / revisjonsbokstav					
V004					



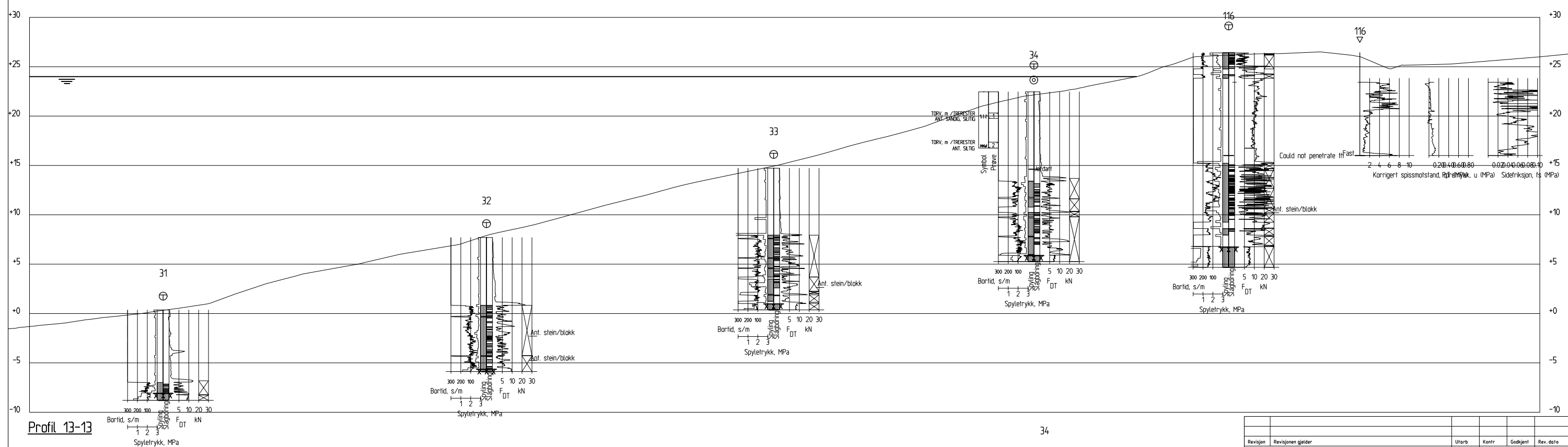
Revisjon	Revisjonen gjelder	Utarb	Konfr	Godkjent	Rev. dato
		Tegningsdato			
		Bestiller			
		Produsert for	Region vest		
		Prosjektnummer			
		Arkivreferanse	30273-GEOT-1		
		Målestokk A3-format	1:400		
		Koordinatsystem	EUREF89UTM		
		Utarbeidet av	Kontrollert av	Godkjent av	Konsulentarkiv
		relaas	oishol		Tegningsnummer / revisjonsbokstav
					V005



Revisjon	Revisjonen gjelder	Utarb	Kontr	Godkjent	Rev. dato
<b>Statens vegvesen</b>					
Rv. 13					
Kyrkjessvingen					
Profil 10-11					
<b>Tegningsdato</b>					
<b>Bestiller</b>					
<b>Produsert for</b>					Region vest
<b>Prosjektnummer</b>					
<b>Prosjektfasenummer</b>					
<b>Arkivreferanse</b>	30273-GEOT-1				
<b>Målestokk A3-format</b>	1:400				
<b>Koordinatsystem</b>	EUREF89UTM				
<b>Utarbeidet av</b>					
<b>Kontrollert av</b>					
<b>Godkjent av</b>					
<b>Konsulentarkiv</b>					
<b>Tegningsnummer / revisjonsbokstav</b>	V006				
<b>relaas</b>	oishol				

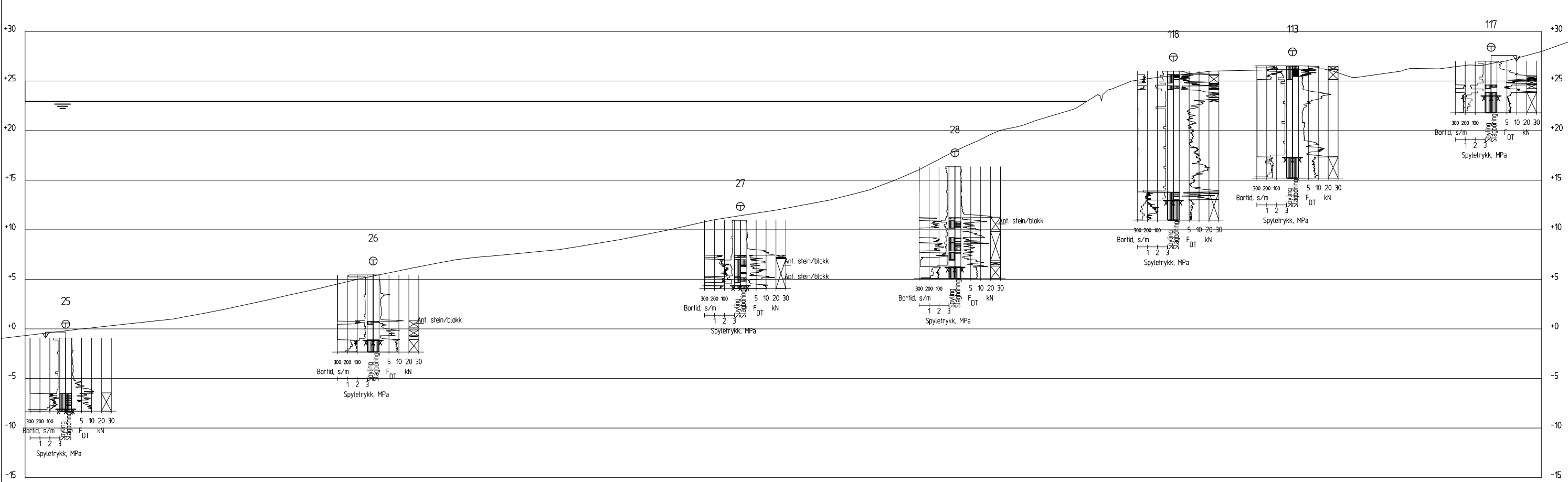


Spulen yK

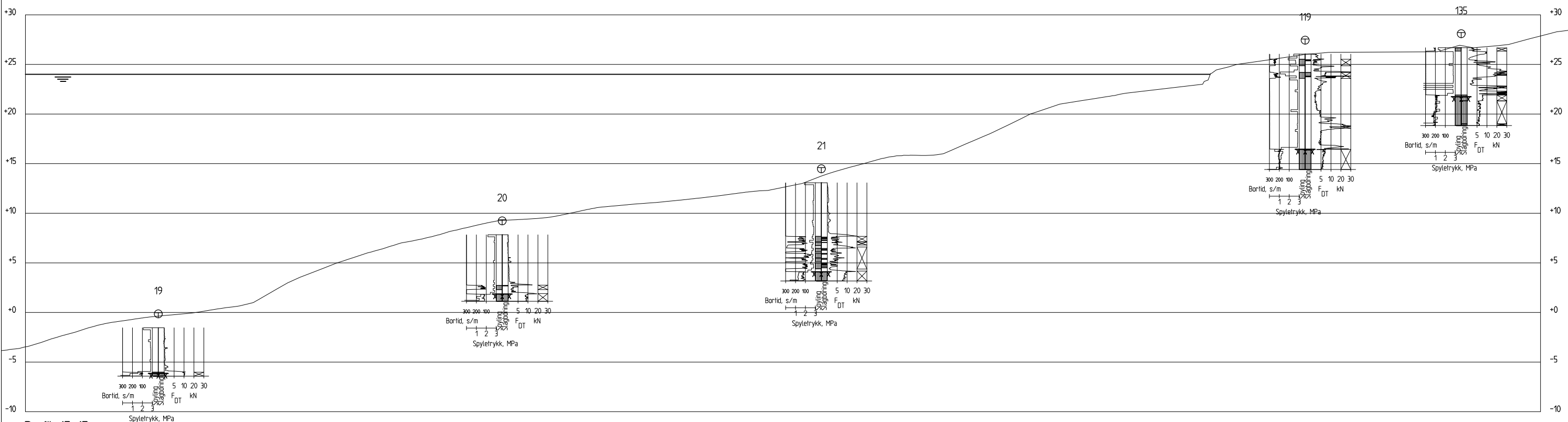


Profil 13-13

Revisjon	Revisjonen gjelder	Utarb	Konfr	Godkjent	Rev. dato
			Tegningsdato		
			Bestiller		
			Produsert for	Region vest	
			Produsert av		
			Prosjektnummer		
			Prosjektfasenummer		
			Arkivreferanse	30273-GEOT-1	
			Målestokk A3-format	1:400	
			Koordinatsystem	EUREF89UTM	
3)	Utarbeidet av	Kontrollert av	Godkjent av	Konsulentarkiv	Tegningsnummer / revisjonsrekkefølge
	rolands.	oishal			V007

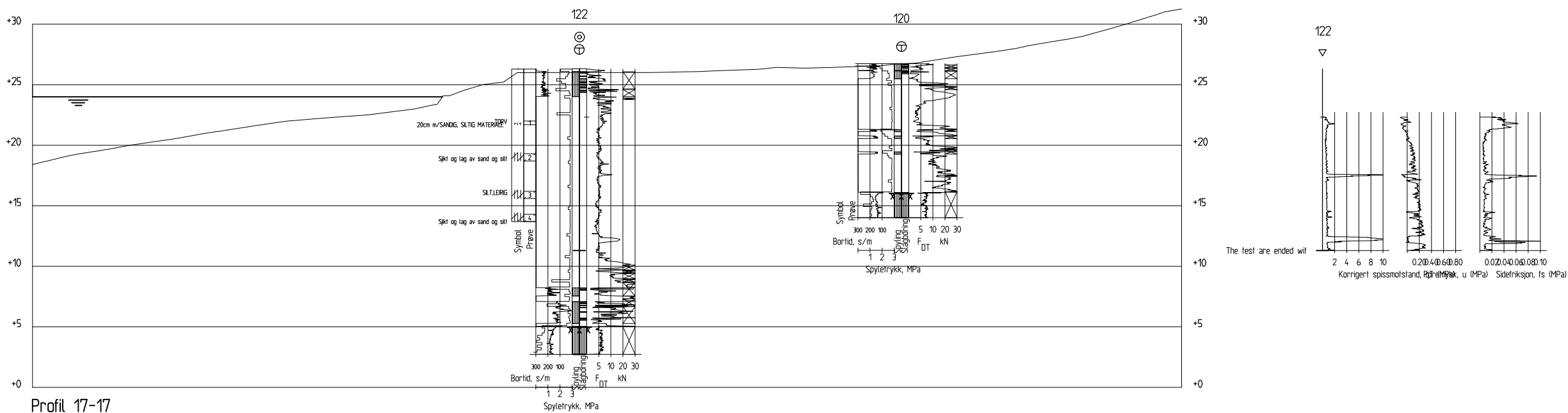
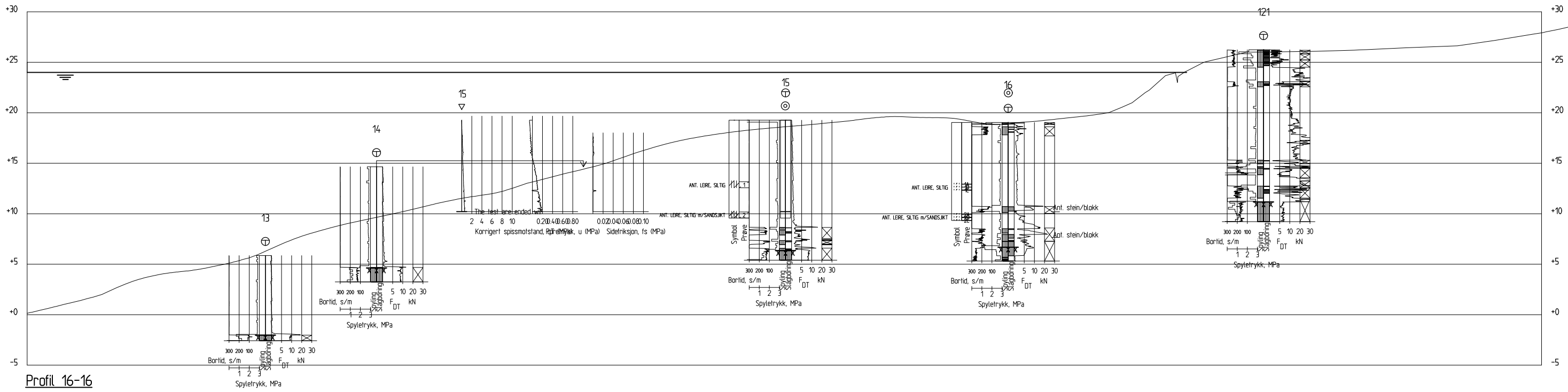


Profil 14-14

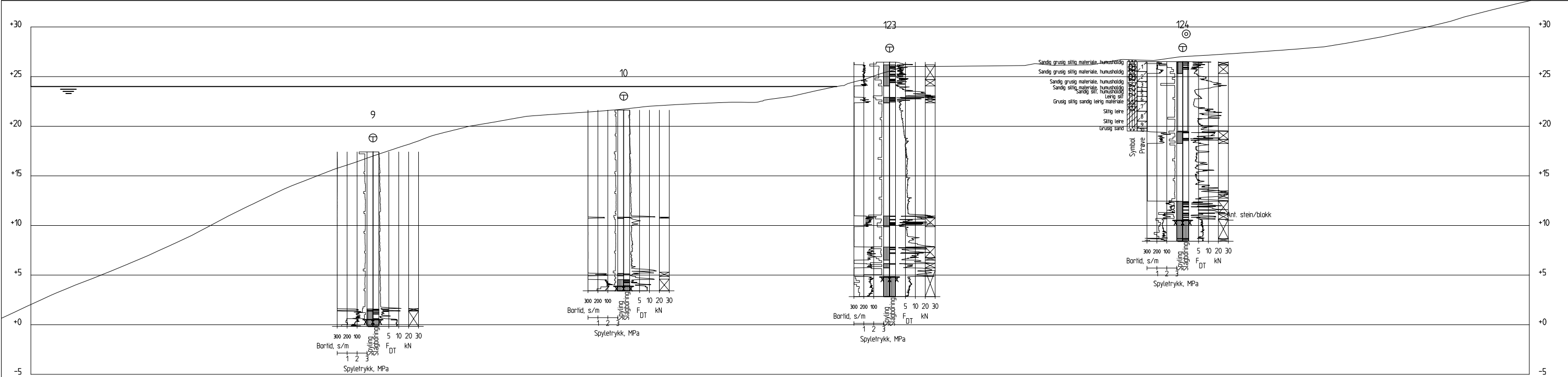


Profil 15-15

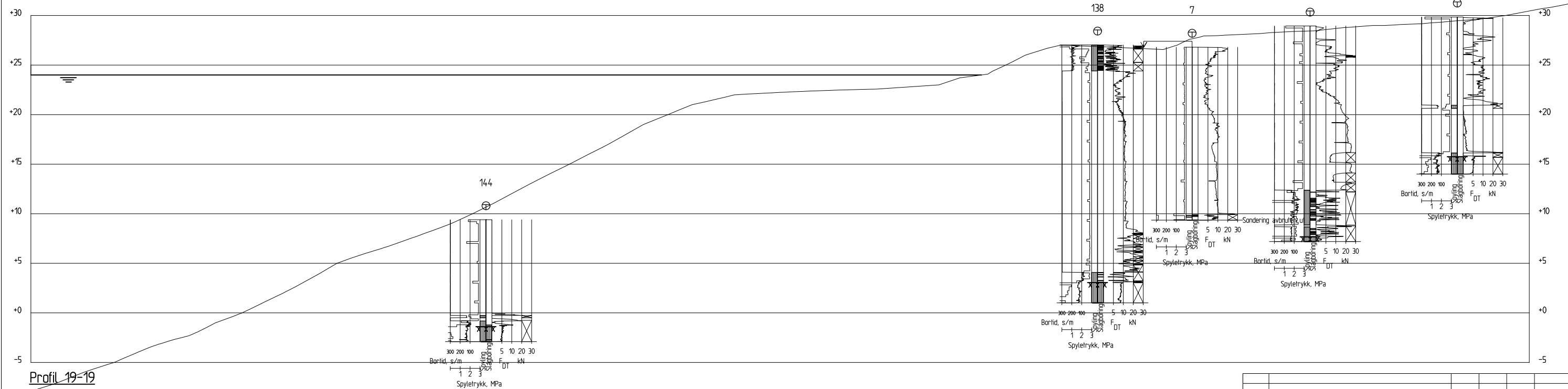
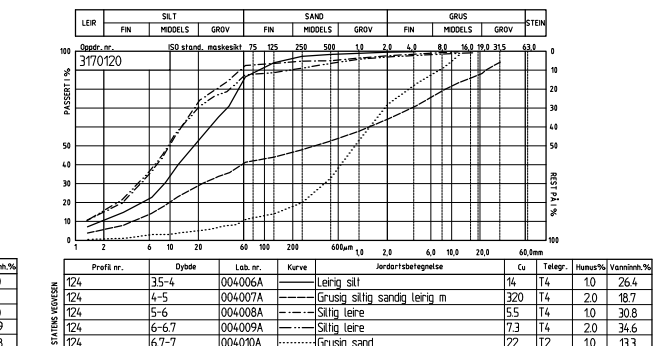
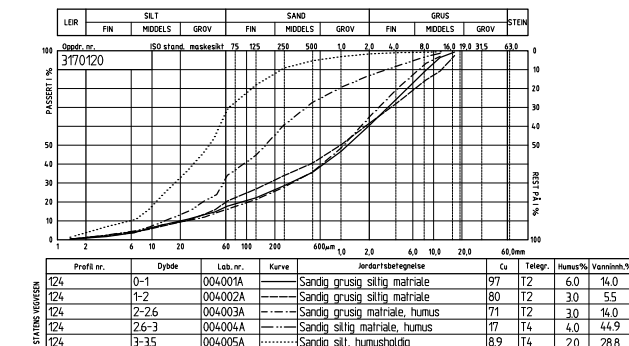
Revisjon	Revisjonen gjelder	Utarb	Konfr	Godkjent	Rev. dato
		Tegningsdato			
		Bestiller			
		Produsert for	Region vest		
		Produsert av			
		Prosjektnummer			
		Prosjektfasenummer			
		Arkivreferanse	30273-GEOT-1		
		Målestokk A3-format	1:400		
		Koordinatsystem	EUREF89UTM		
		Utarbeidet av	Kontrollert av	Godkjent av	Konsulentarkiv
		relaas	oishol		Tegningsnummer / revisjonsbokstav
					V008



Revisjon	Revisjonen gjelder	Utarb	Konfr	Godkjent	Rev. dato
		Tegningsdato			
		Bestiller			
		Produsert av			
		Prosjektnummer			
		Prosjektfasenummer			
		Arkivreferanse	30273-GEOT-1		
		Målestokk A3-format	1:400		
		Koordinatsystem	EUREF89UTM		
		Utarbeidet av	Kontrollert av	Godkjent av	Konsulentarkiv
		relaas	oishol		
		Tegningsnummer / revisjonsbokstav	V009		

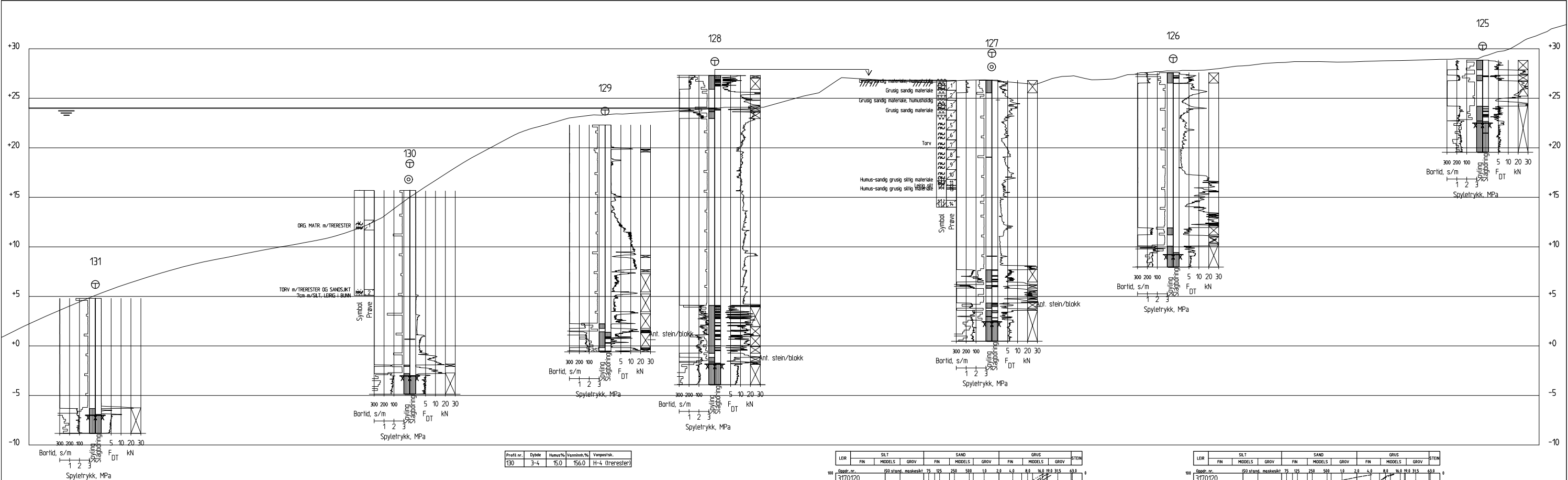


Profil 18-18

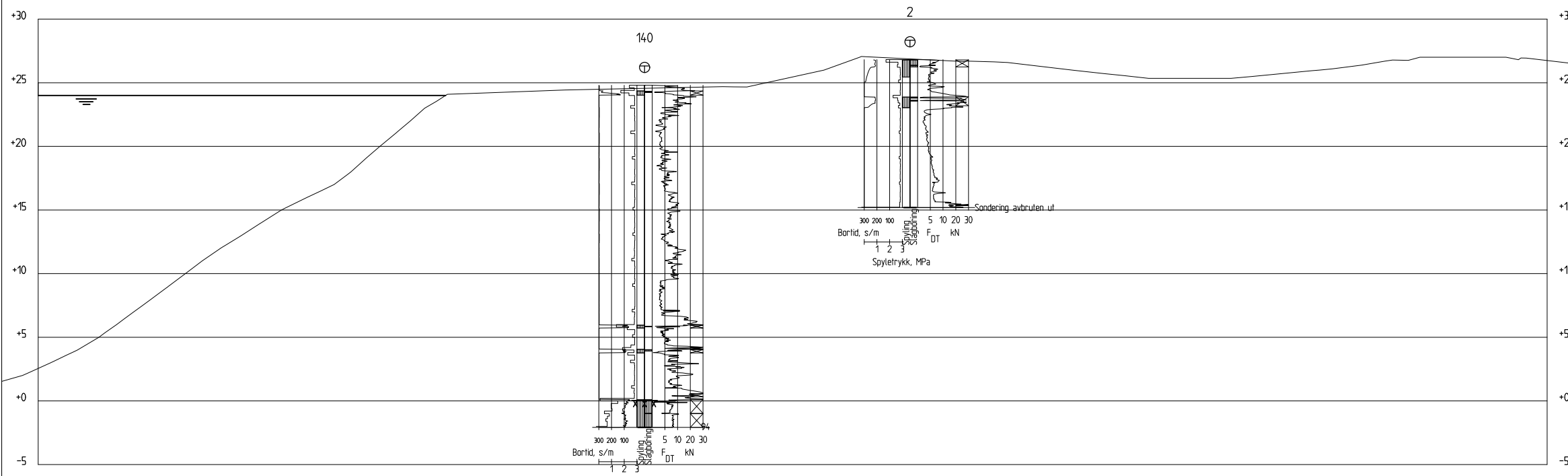
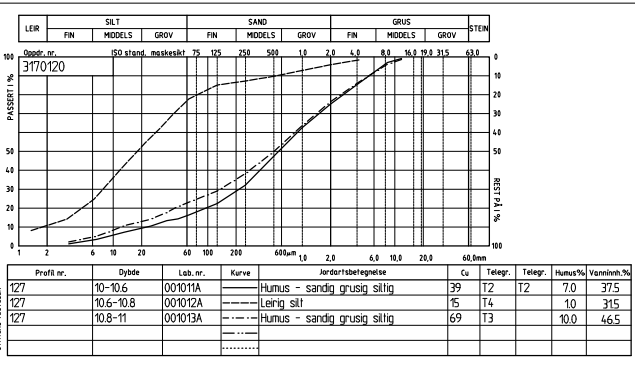
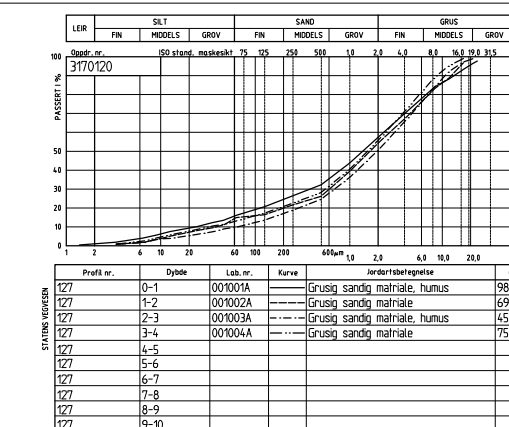
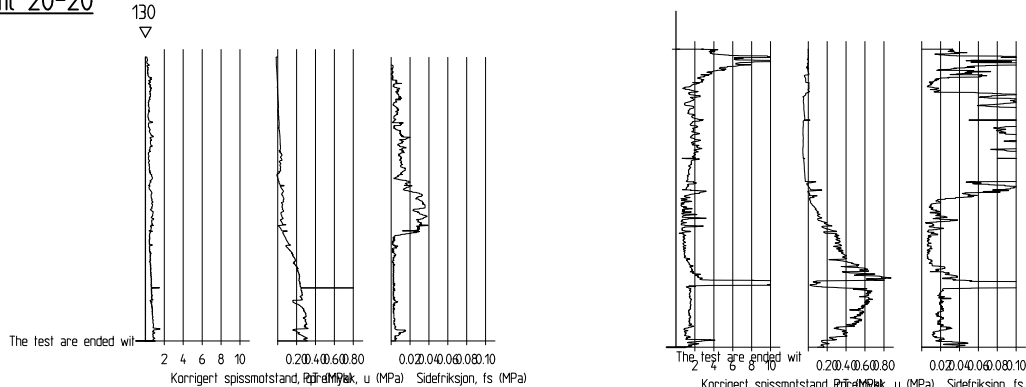


Profil 19-19

Revisjon	Revisjonen gjelder	Utarb	Kontr	Godkjent	Rev. dato
<b>Statoil vegvesen</b>					
Rv. 13					
Kyrkjesvingen					
Profil 18-19					
<b>Tegningsdato</b>					
<b>Bestiller</b>					
<b>Produsert for</b>					
<b>Prosjektnummer</b>					
<b>Prosjektfasenummer</b>					
<b>Arkivreferanse</b>	30273-GEOT-1				
<b>Målestokk A3-format</b>	1:400				
<b>Koordinatsystem</b>	EUREF89UTM				
<b>Utarbeidet av</b>					
<b>Kontrollert av</b>					
<b>Godkjent av</b>					
<b>Konsulentarkiv</b>					
<b>Tegningsnummer / revisjonsbokstav</b>	V010				
<b>relaas</b>	oishol				

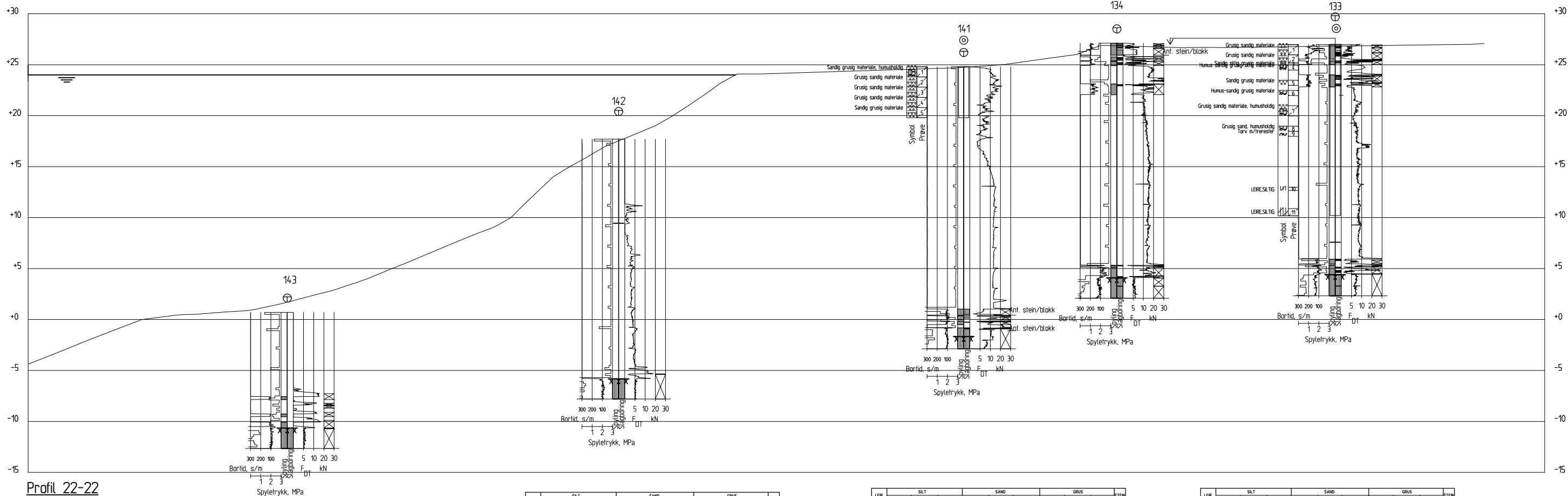


Profil 20-20

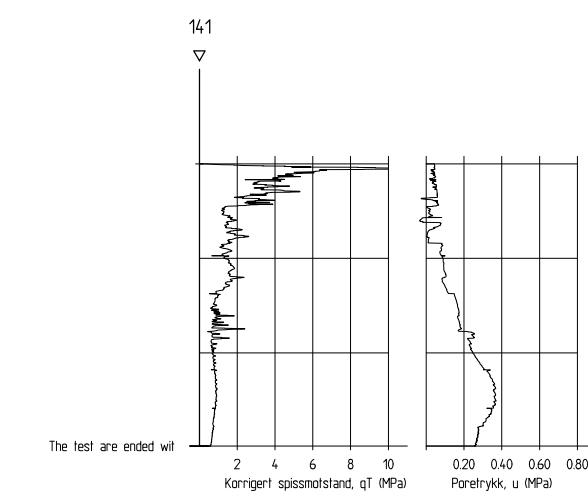
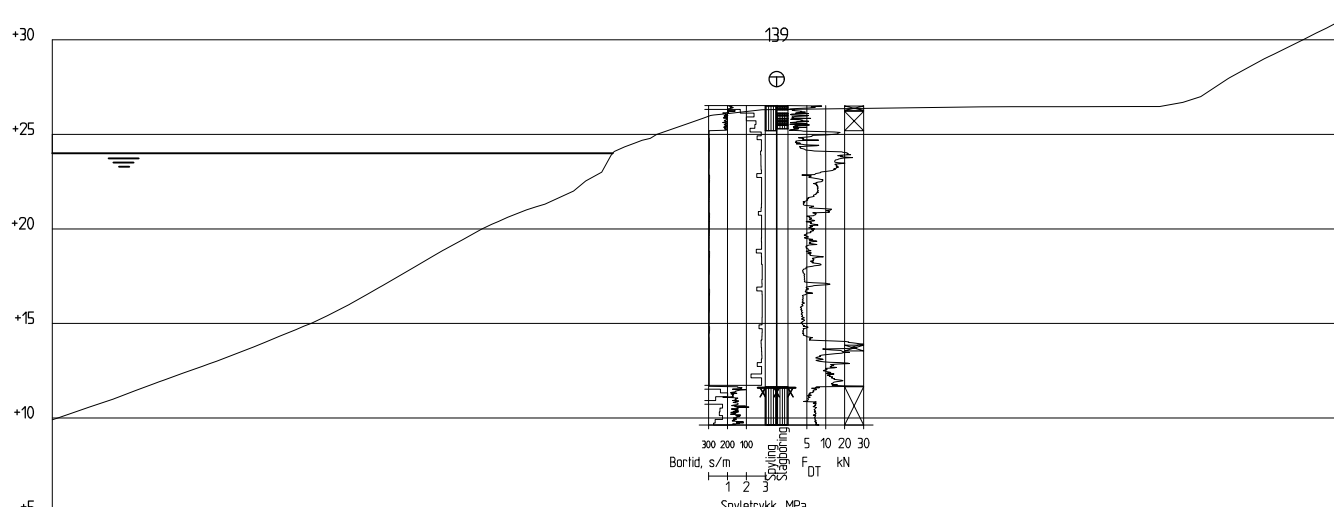
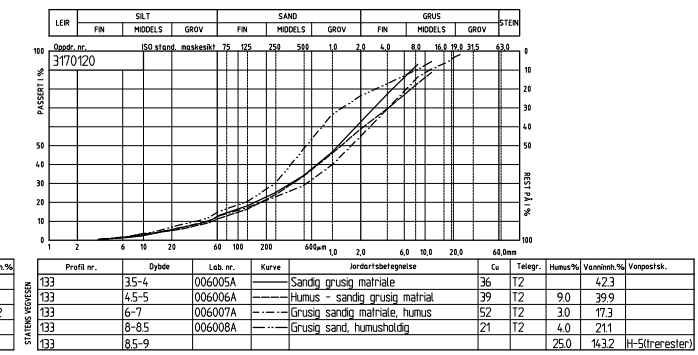
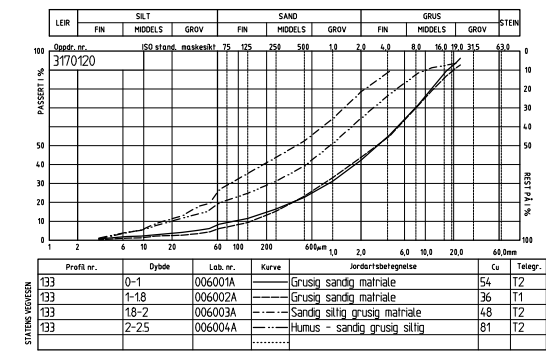
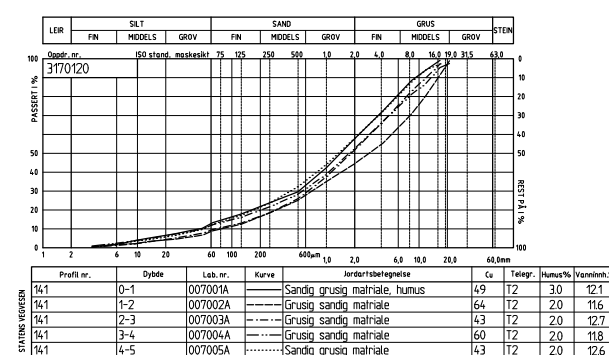
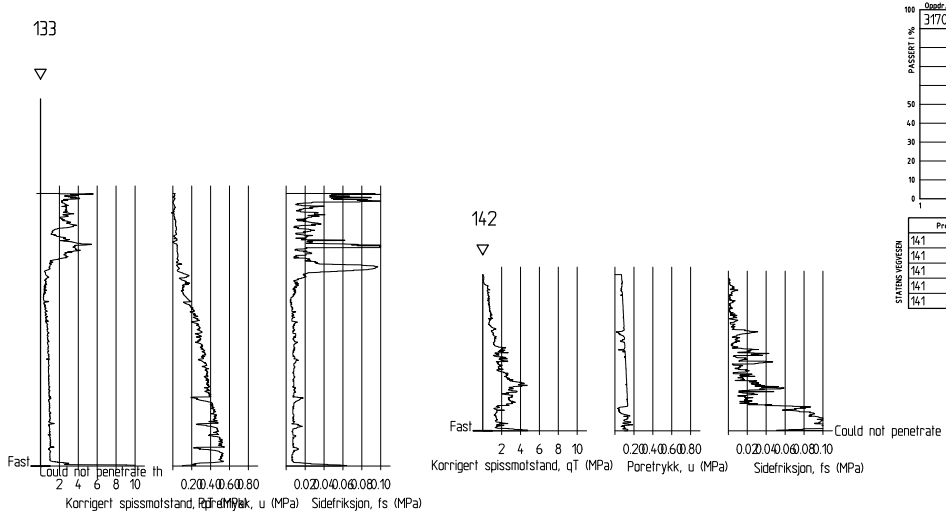


Profil 21-21

Revisjon	Revisjonen gjelder	Utarb	Kontr	Godkjent	Rev. dato
		Tegningsdato			
		Bestiller			
		Produsert for			Region vest
		Prosjektnummer			
		Prosjektfasenummer			
		Arkivreferanse	30273-GEOT-1		
		Målestokk A3-format	1:400		
		Tegningsnummer /			EUREF89UTM
		reisningsbokstav			
		V011			



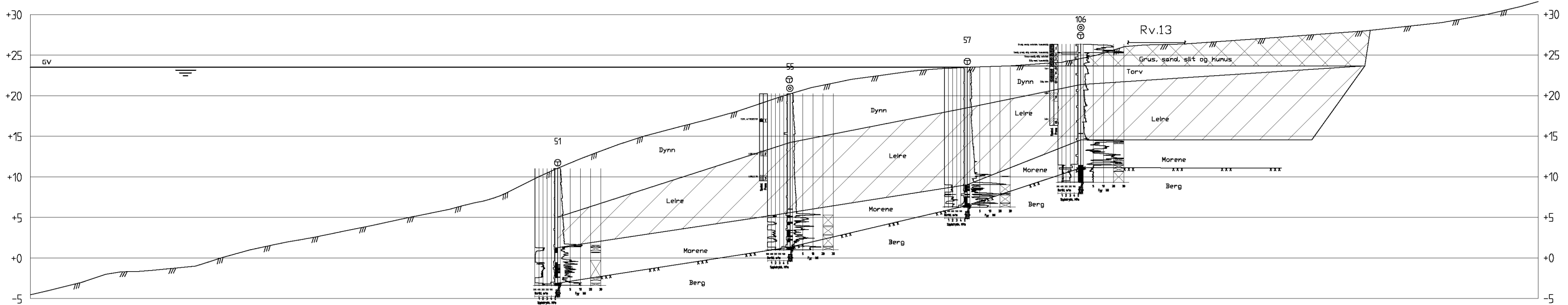
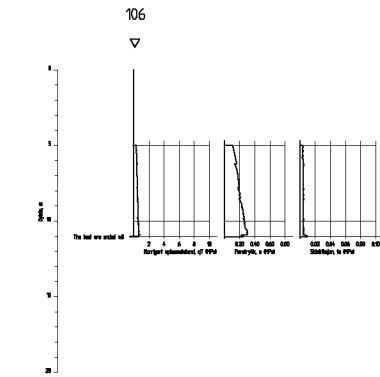
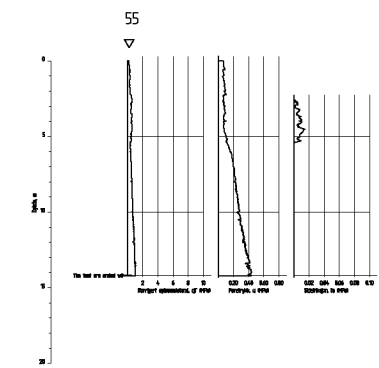
Profil 22-22



The test are ended with

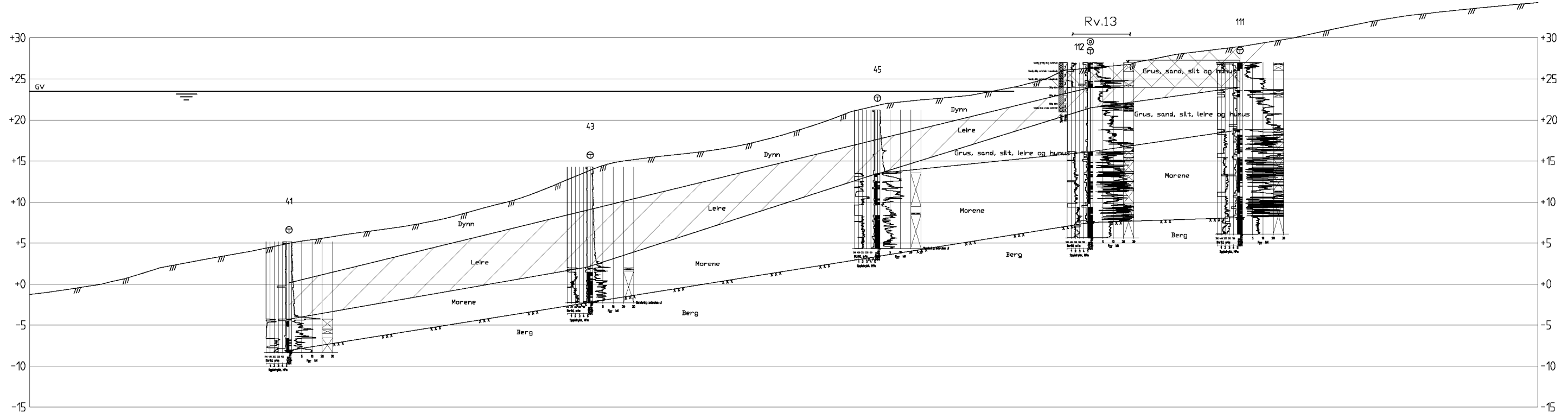
Revisjon	Revisjonen gjelder	Utarb	Kontr	Godkjent	Rev. dato
Stasjon vognbane					
Rv. 13					
Kyrkjessvingen					
Profil 22-23					
Arkivreferanse	30273-GEOT-1				
Målestokk A3-format	1:400				
Koordinatsystem	EUREF89UTM				
Utarbeidet av	Kontrollert av	Godkjent av	Konsulentarkiv		
relaas	oishol				
Tegningsnummer / revisjonsbokstav	V012				

B1



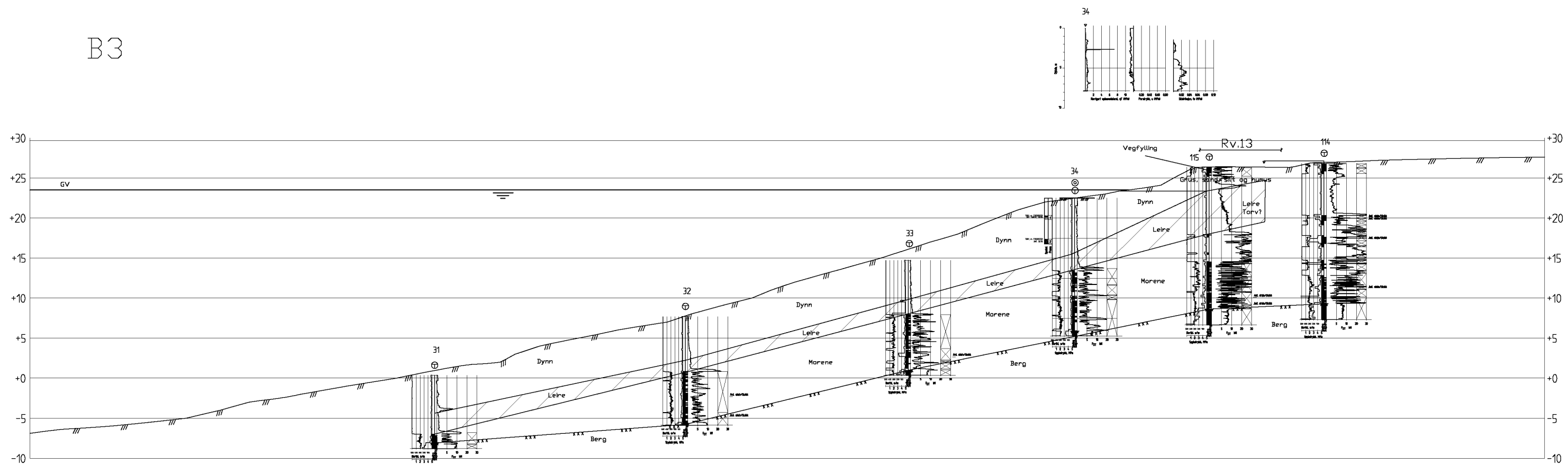
Revisjon	Revisjonen gjelder	Utarb	Kontr	Godkjent	Rev. dato
<b>Statens vegvesen</b>					
Tegningsdato					
Bestiller					
Prosjektnummer					
Prosjektaadressenummer					
Arkivreferanse	30273-GEOT-				
Målestokk A3-format	1:500				
Koordinatsystem	EUREF89UTM				
Utearbeidet av	Kontrollert av	Godkjent av	Konsulentarkiv		
rolas	oishol				
Tegningsnummer / revisjonsbokstav	V013				

B2



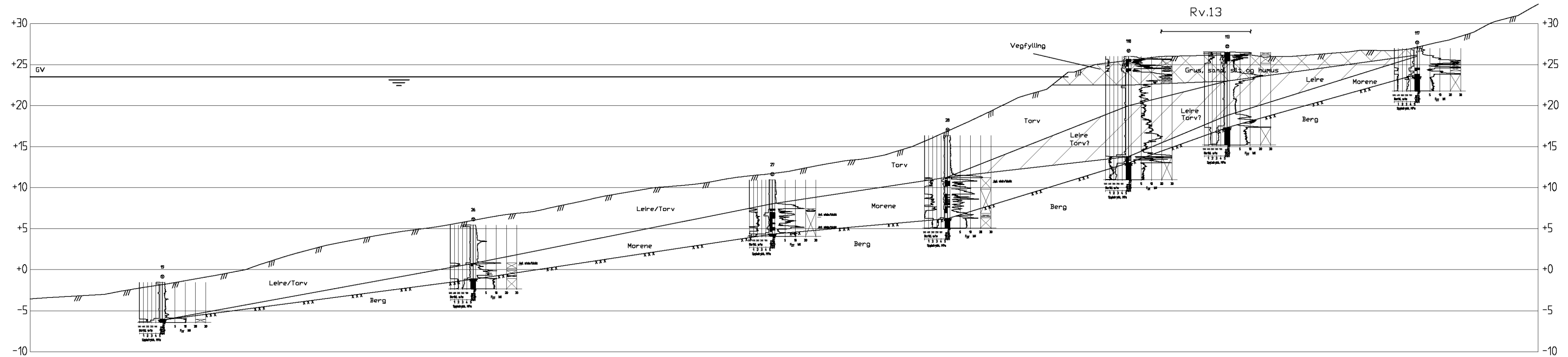
Revisjon	Revisjonen gjelder	Utarb	Konfr	Godkjent	Rev. dato
		Tegningsdato			
		Bestiller			
		Produksjonsdato			
		Prosjektnummer			
		Prosjektskemanummer			
		Arkivreferanse	30273-GEOT-1		
		Mønstrek A3-format	1500		
		Koordinatsystem	EUREF89UTM		
		Utarbeidet av	Kontrollert av	Gedigjent av	Konsulentarkiv
		rolaas	oishol		
		Tegningsnummer /			
		revisjonsdato			V014

B3



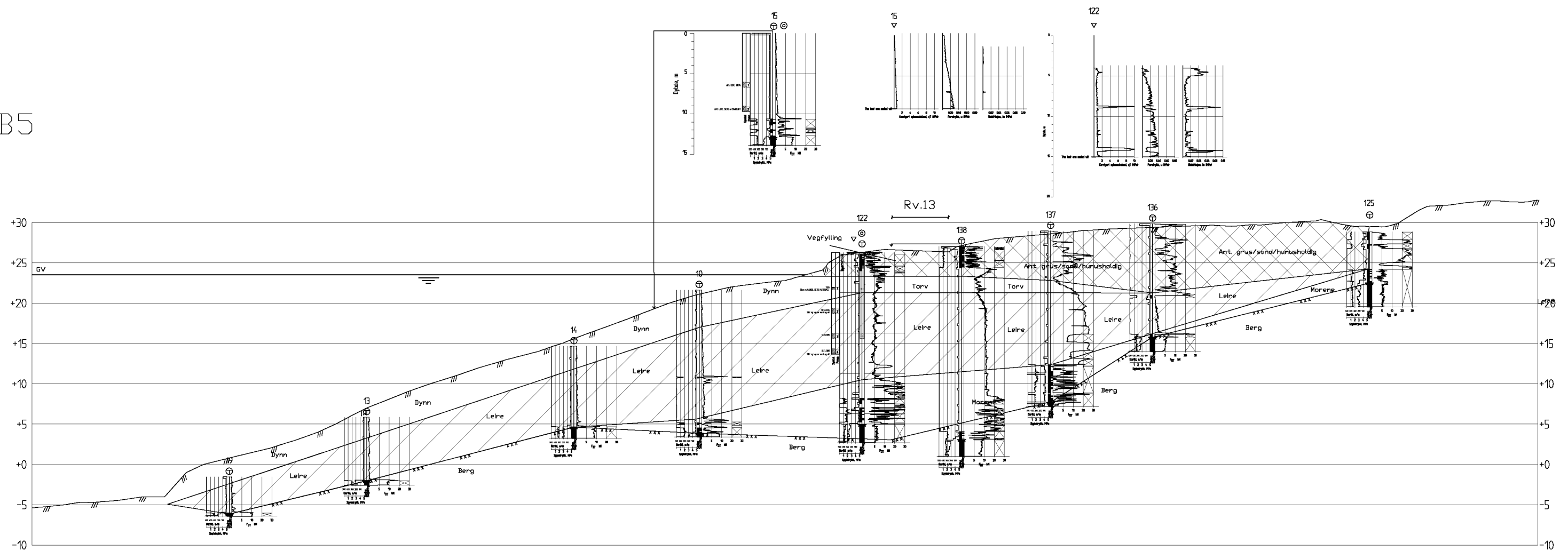
Revisjon	Revisjonsen gjelder	Utsrb	Kontr	Godkjent	Rev dato
		Tegningsdata			
		Bestiller			
		Produksert av			
		Prosjektnummer			
		Prosjektforsamling			
		Arkivreferanse	30273-GEOT-1		
		Målestokk A3-format	1500		
		Koordinatsystem	EUREF89UTM		
		Utarbeidet av	Kontrollert av	Godkjent av	Konsulentarkiv
		rolaas	oishol		
		Tegningsnummer / revisjonsbokstav	V015		

B4



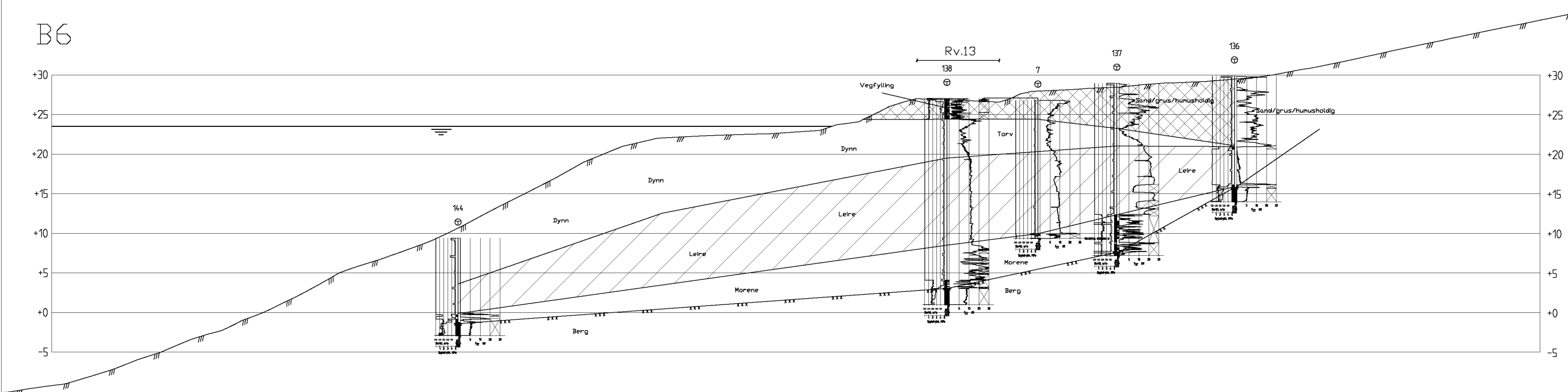
Revisjon	Revisjonen gjelder	Utarb	Kontr	Godkjent	Rev. dato
<b>Statens vegvesen</b>		<b>Tegningsdato</b>			
		<b>Bestiller</b>			
		<b>Produksert av</b>			<b>Region vest</b>
		<b>Prosjektnummer</b>			
		<b>Arkivreferanse</b>			
		<b>Målestokk A3-format</b>			
		<b>Koordinatsystem</b>			
		<b>EUREF89UTM</b>			
<b>Utsørket av</b>	<b>Kontrollert av</b>	<b>Godkjent av</b>	<b>Konsulentarbeid</b>		
<b>relaas</b>	<b>oishol</b>				
		<b>Tegningsnummer /</b>			
		<b>revisjonsbokstav</b>			
		<b>V016</b>			

B5

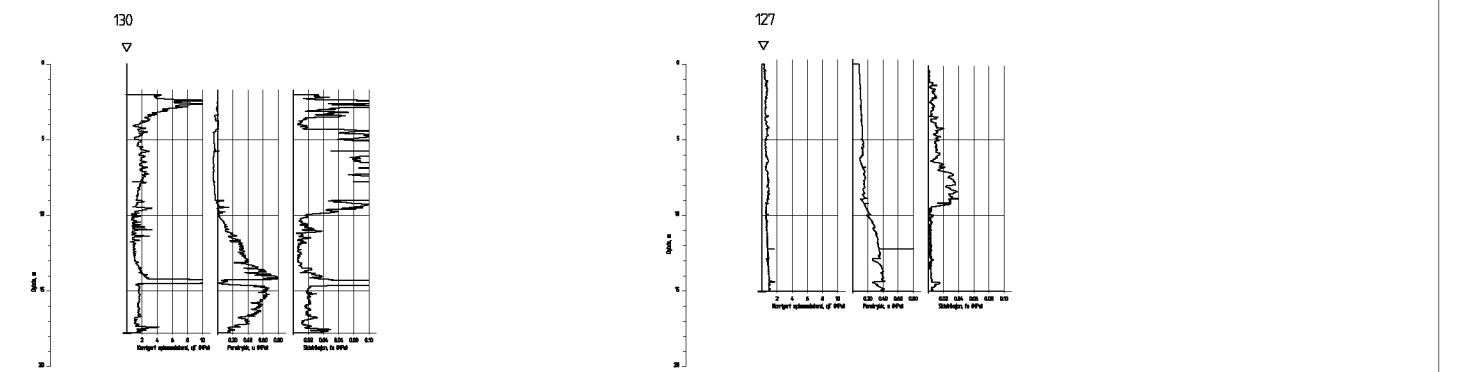


Revisjon	Revisjonen gjelder	Utarb	Kontr	Godkjent	Rev. dato
		Tegningsdøla			
Bestiller					
Produksert av					
Prosjektnummer					
Prosjektfasenummer					
Arkiverferanse	30273-GEOT-1				
Målestokk A3-format	1:500				
Koordinatsystem	EUREF89UTM				
Utsørberdet av	Kontrollert av	Godkjent av	Konsulentarbeiv	Tegningsnummer /	
relaas	oishol			revsjonsbokstav	V017

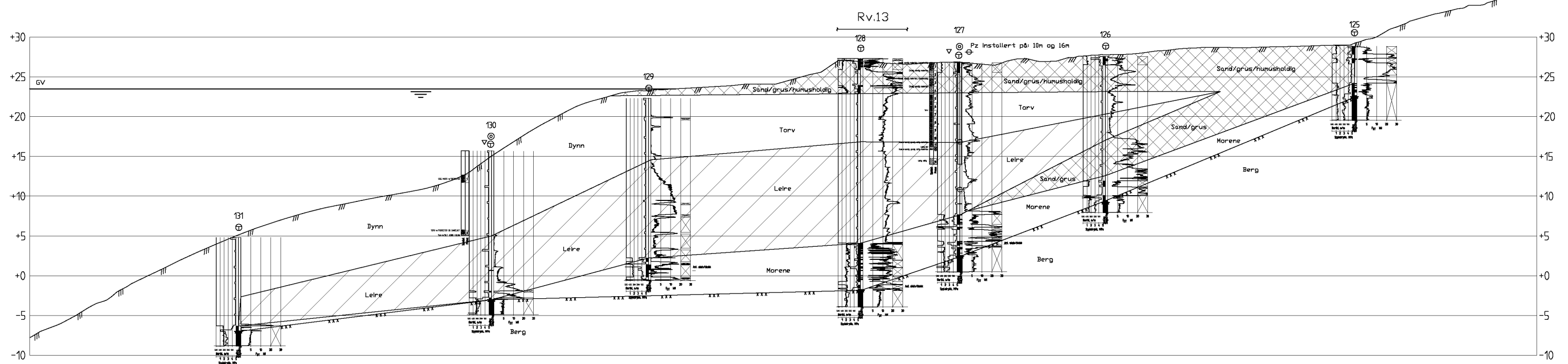
B6



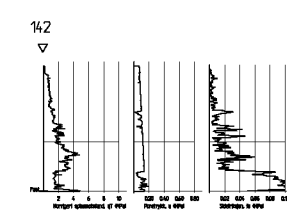
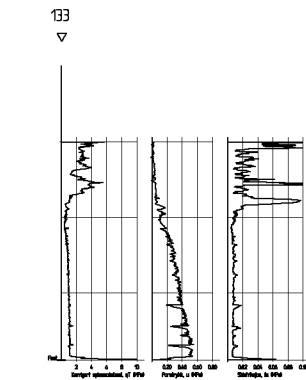
Revisjon	Revisjonen gjelder	Utarb	Kontr	Godkjent	Rev. dato
		Tegningsdok			
		Bestiller			
		Produksert for	Region vest		
		Prosjektnummer			
		Prosjektfasenummer			
		Arkiveringsnø	30273-GEOT-1		
		Målestokk A1-format	1:250/1:500 i A3		
		Koordinatsystem	EUREF89UTM		
		Utsørket av	Kontrollert av	Godkjent av	Konsulentarkiv
		rolaas	oishol		Tegningsnummer / revisjonsbokstav
					V018



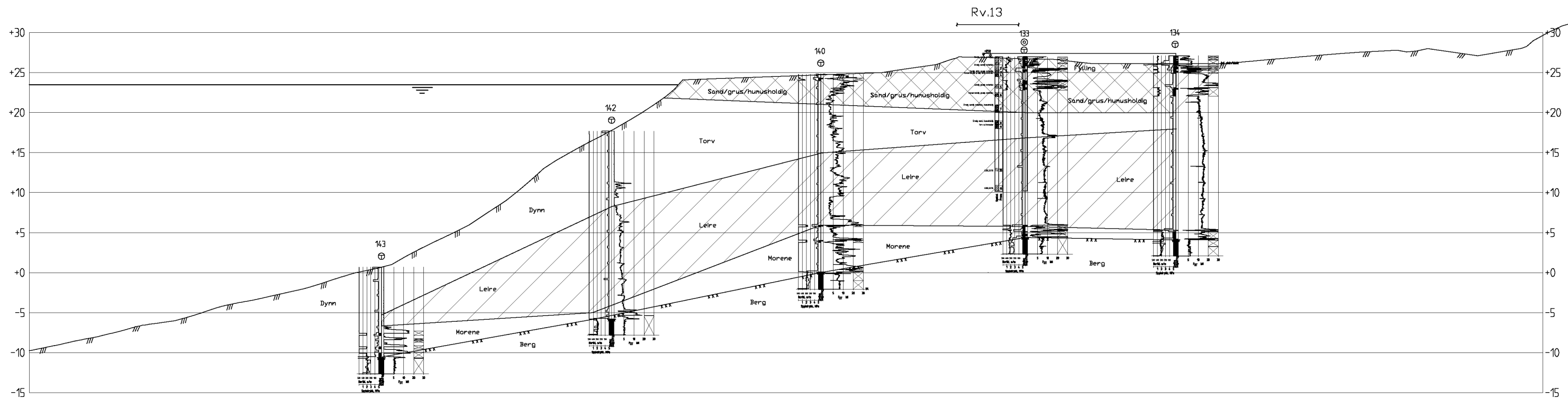
B7



Revisjon	Revisjonen gjelder	Utarb	Kontr	Godkjent	Rev. dato
	Statoil vegvesen	Tegningsdato			
		Bestiller			
		Produksert for	Region vest		
		Prosjektnummer			
		Prosjektfasenummer			
		Arkivreferanse	30273-GEOT-1		
		Målestokk A3-format	1:500		
		Koordinatsystem	EUREF89UTM		
		Utsørket av	Kontrollert av	Godkjent av	Konsulentarkiv
		relaas	oishol		Tegningsnummer / revisjonsbokstav
					V019

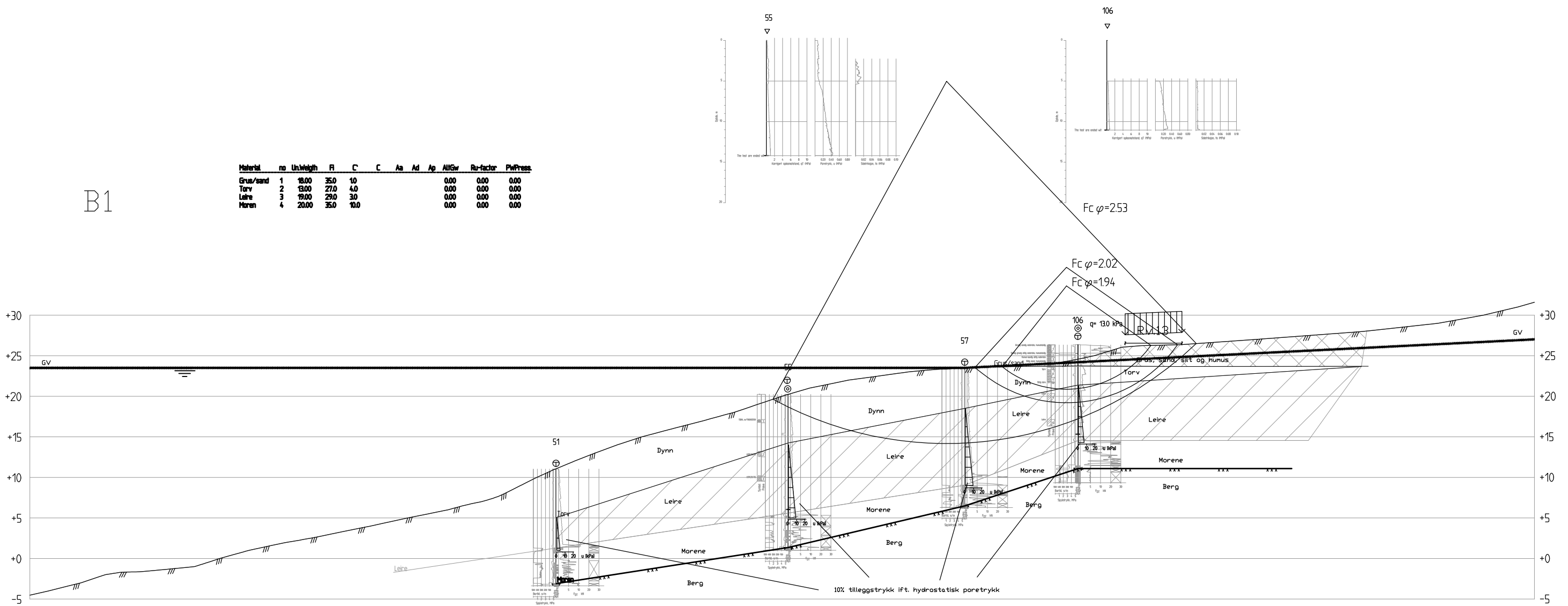


B8



Revisjon	Revisjonen gjelder	Utarb	Kontr	Godkjent	Rev. dato
		Tegningsdøla			
Bestiller					
Produksert for	Region vest				
Prosjektnummer					
Prosjektfasenummer					
Arkiverferanse	30273-GEOT-1				
Målestokk A3-format	1:500				
Koordinatsystem	EUREF89UTM				
Utsørberdet av	Kontrollert av	Godkjent av	Konsulentarkiv	Tegningsnummer /	
relaas	oishol			revsjonsbokstav	V020

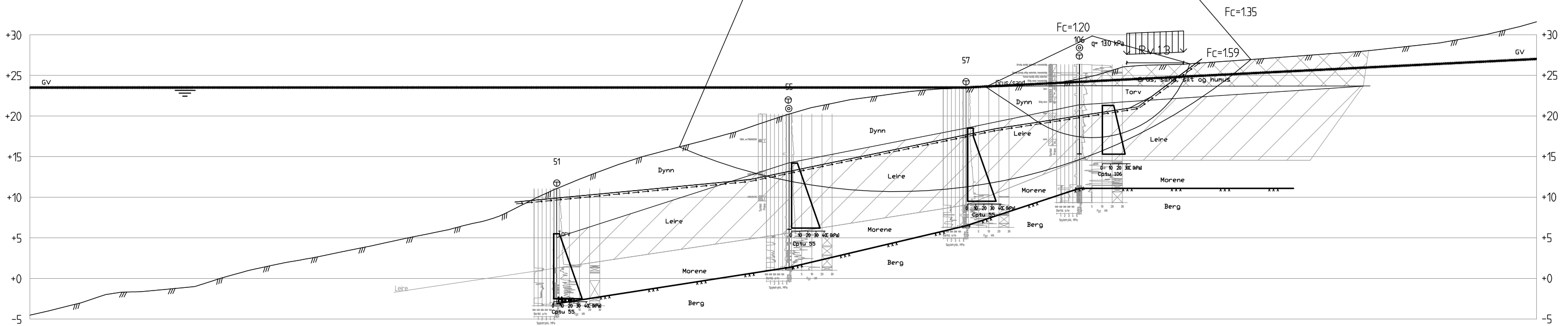
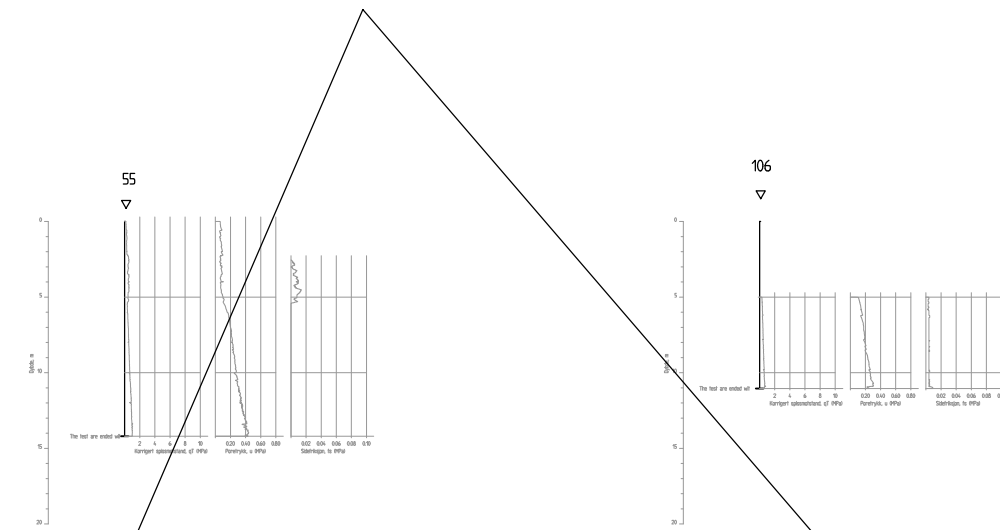
B1



Revisjon	Revisjonen gjelder	Utarb	Kontr	Godkjent	Rev. dato
<b>Statens vegvesen</b>					
Rv. 13					
<b>Kyrkjesvingen</b>					
<b>Profil B1, AFI-analyse</b>					
Arkivreferanse	30273-GEOT-				
Møtestokk A3-format	1.500				
Koordinatsystem	EUREF89UTM				
Utarbeidet av	rolaas	Kontrollert av	oishol	Godkjent av	Konsulentarkiv
Tegningsnummer / revisionsbokstav	V021				

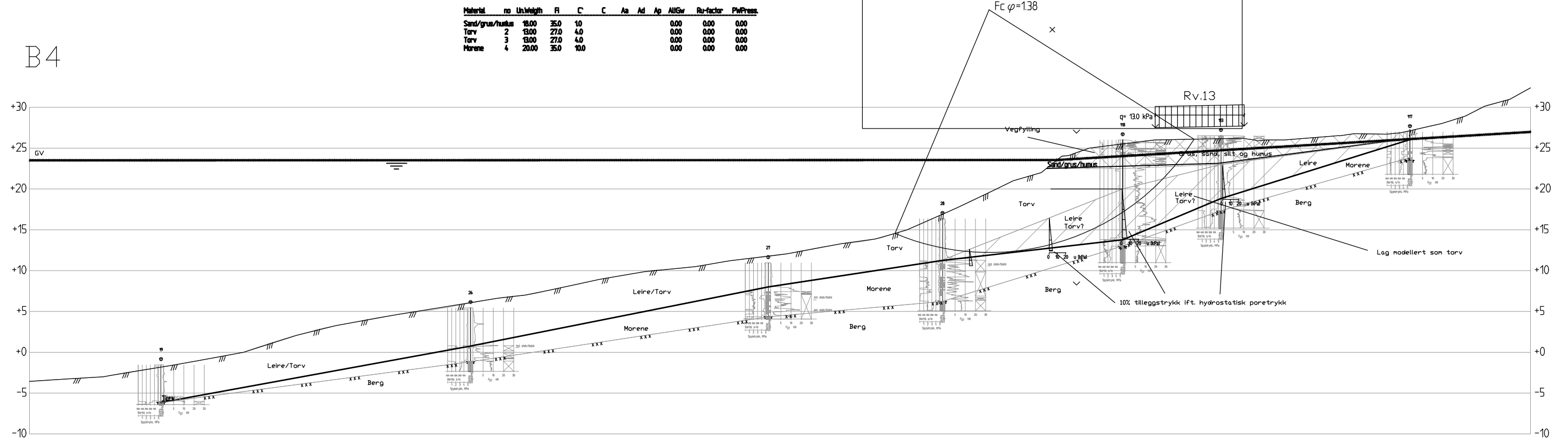
B1

Material	no	UnWeight	R	C	C <sub>a</sub>	Ad	Ap	AllGw	Ru-factor	PwPress
Grus/sand	1	18.00	35.0	10				0.00	0.00	0.00
Torv	2	13.00	27.0	4.0				0.00	0.00	0.00
Leire	3	19.00	—	—	C-profile	100	0.63	0.35	0.00	0.00
Moren	4	20.00	35.0	10.0				0.00	0.00	0.00



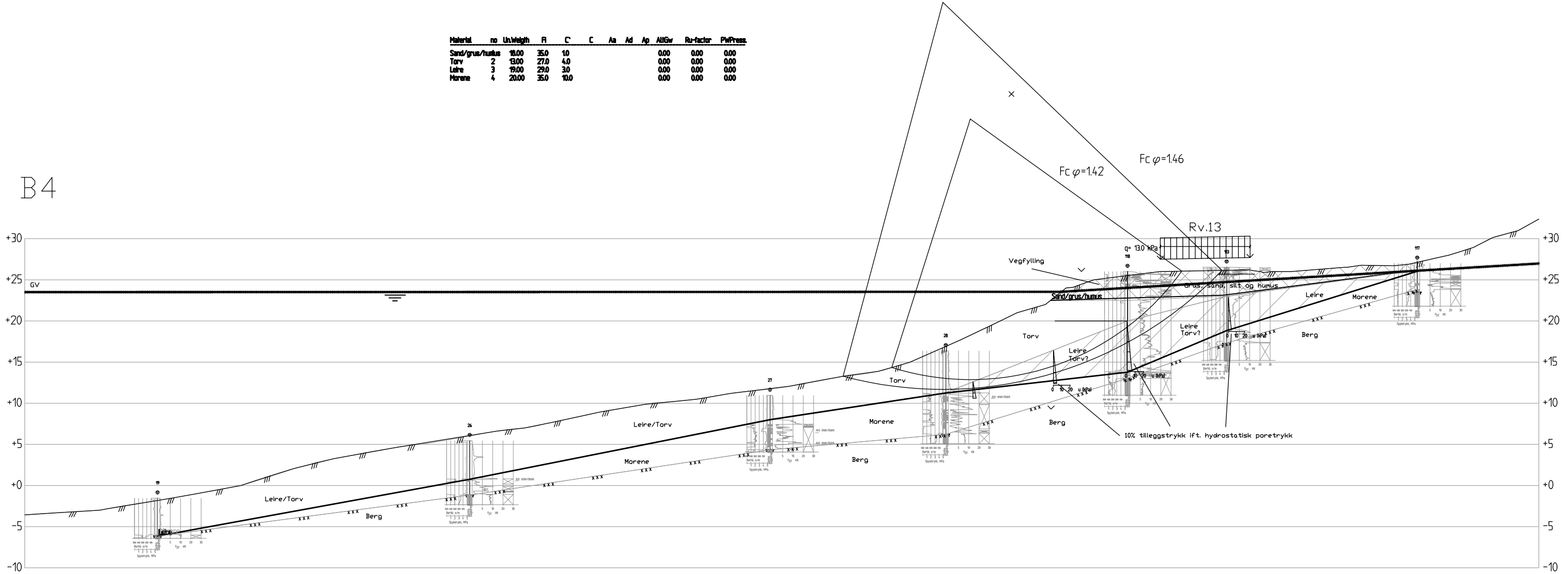
Revisjon	Revisjonen gjelder	Utarb	Kontr	Godkjent	Rev. dato
	Statoil vegvesen				
Rv. 13	Kyrkjessvingen				
Profil B1, ADP-analyse					
Arkivreferanse 30273-GEOT-					
Møtestokk A3-format 1:500					
Koordinatsystem EUREF89UTM					
Utarbeidet av	Kontrollert av	Godkjent av	Konsulentarkiv	Tegningsnummer / revisionsbokstav	V022
rolaas	oishol				

B4



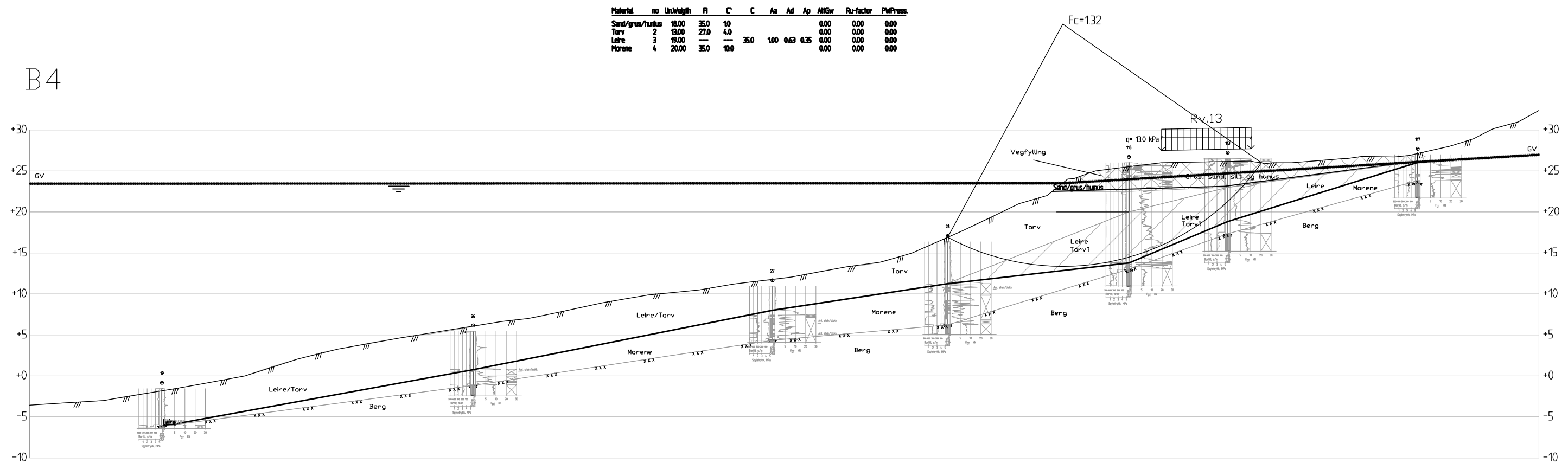
Revisjon	Revisjonen gjelder	Utarb	Kontr	Godkjent	Rev. dato
Statoil					
Rv. 13					
Kyrkjessvingen					
Profil B4, AFI-analyse - TORV					
Bestiller					Tegningsdato
Produsert for					
Prosjektnummer					Region vest
Prosjektfasenummer					
Arkivreferanse	30273-GEOT-1				
Målestokk A3-format	1:500				
Koordinatsystem	EUREF89UTM				
Uarbeidet av		Kontrollert av		Godkjent av	
rolaas		oishol		Konsulentarkiv	
Utegning nummer /					
revisjonsbokstav					
					V023

B4



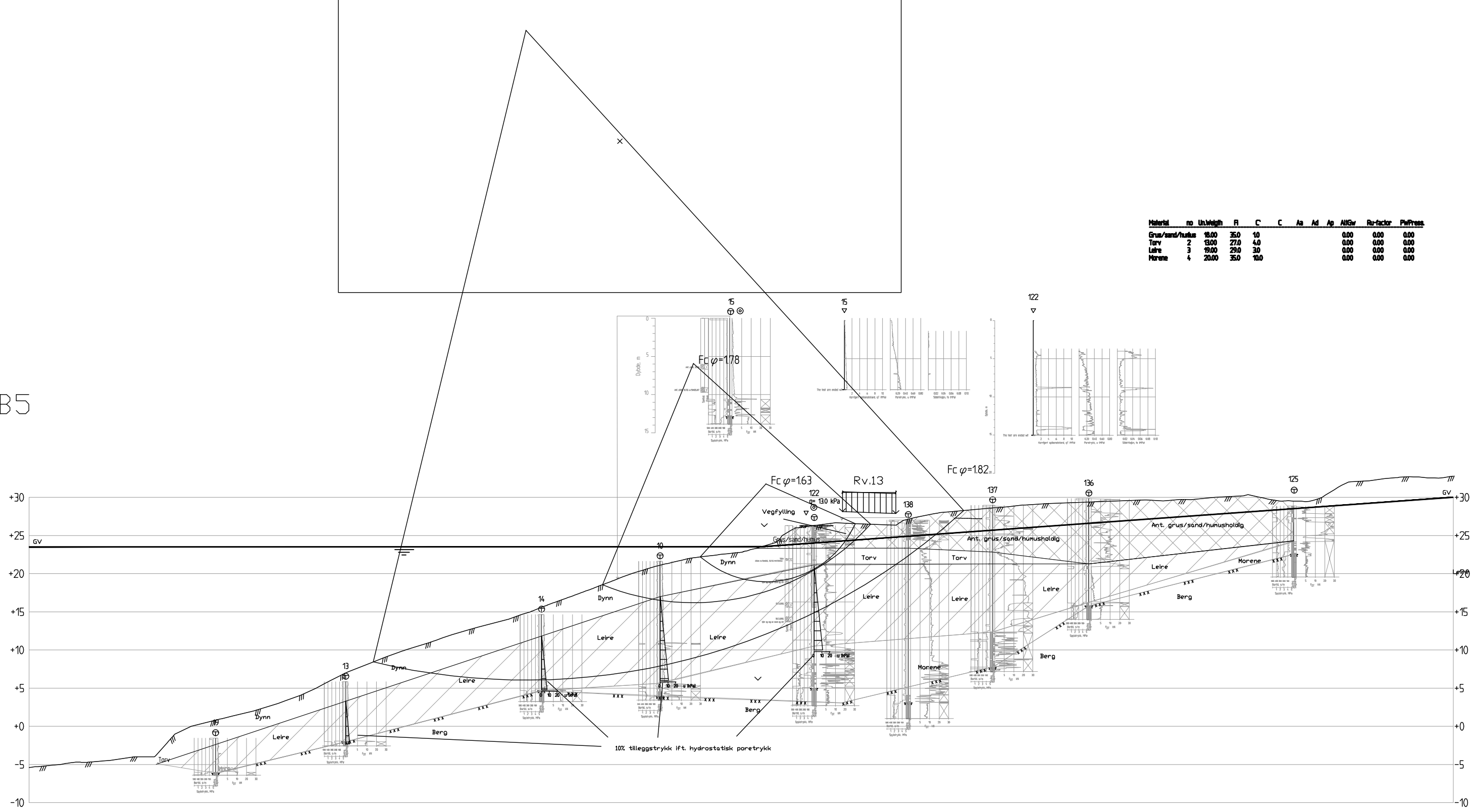
Revisjon	Revisjonen gjelder	Utarb	Kontr	Godkjent	Rev. dato
Rv. 13	Kyrkjesvingen				
Profil B4, AFI-analyse - LEIRE					
Arkivererønse	30273-GEOT-1	Tegningsdato			
Målestokk A3-format	1:500	Bestiller			
Koordinatsystem	EUREF89UTM	Produsert av			
		Prosjektnummer			
		Prosjektfasenummer			
		Arkivreferanse			
		Målestokk 1:500			
		Koordinatsystem			
Uarbeidet av	Kontrollert av	Godkjent av	Konsulentarkiv		
rolaas	oishol				
revignsbokstav	V024	Tegningsnummer /			

B4



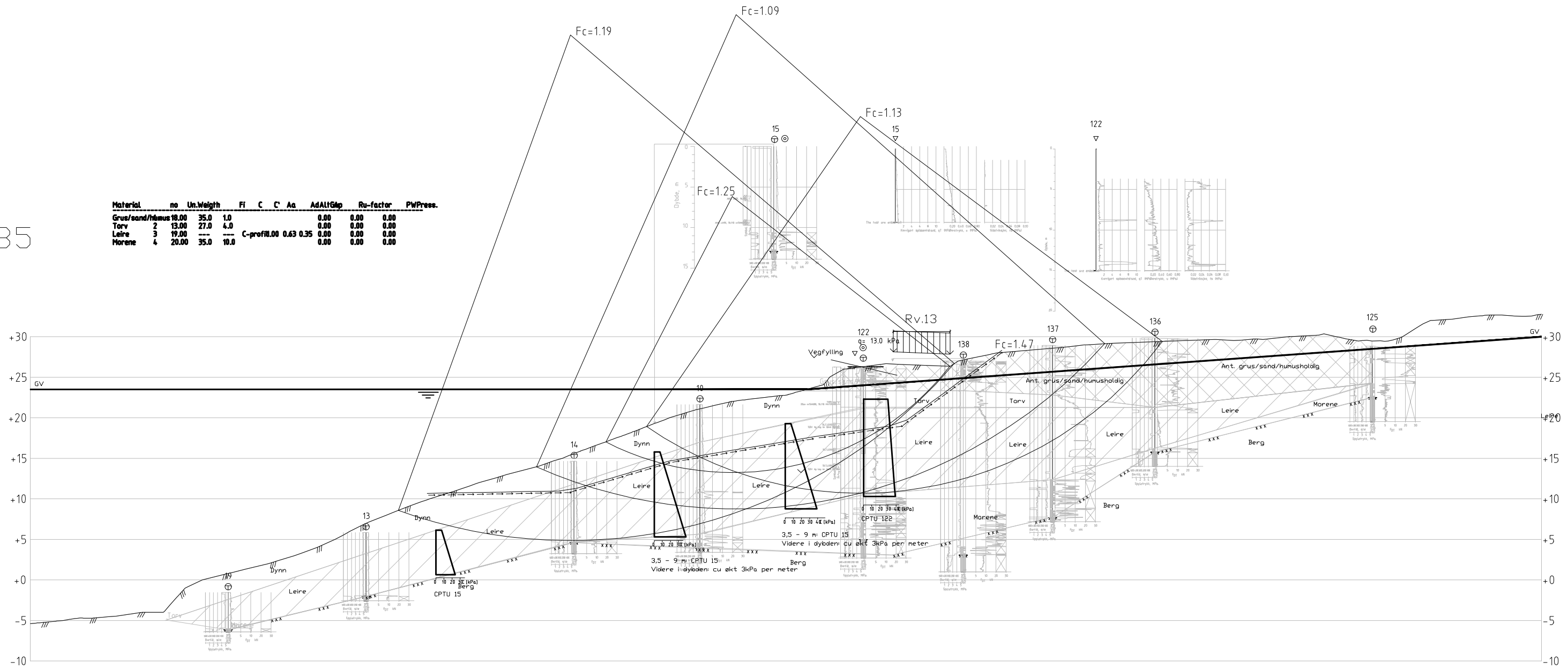
Revisjon	Revisjonen gjelder	Utarb	Kontr	Godkjent	Rev. dato
Rv. 13	Kyrkjessvingen				
	Profil B4, ADP-analyse				
		Tegningsdato			
		Bestiller			
		Produsert for	Region vest		
		Prosjektnummer			
		Prosjektfasenummer			
		Arkivreferanse	30273-GEOT-1		
		Målestokk A3-format	1:500		
		Koordinatsystem	EUREF89UTM		
		Uarbeidet av	Kontrollert av	Godkjent av	Konsulentarkiv
		rølaas	oishol		
		Tegningsnummer / revisjonsbokstav			V025

B5

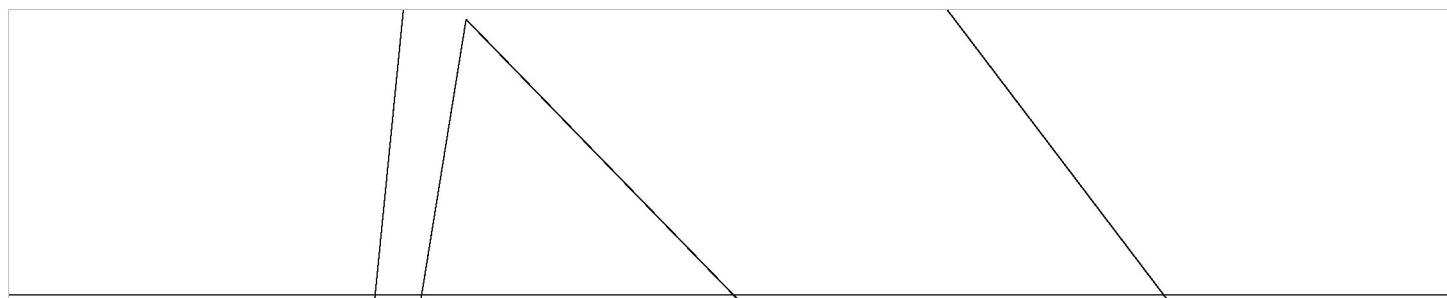


Revisjon	Revisjonen gjelder	Utarb	Konfr	Gadkjent	Rev. dato
Rv. 13 Kyrkjesvingen Profil B5, AFI-analyse					
Tegningsdato Bestiller Produsert for Prosjektnummer Prosjektaenummer Arkivreferanse Målestokk A3-format Koordinatsystem Tegningsnummer / Uarbeidet av Kontrollert av Godkjent av Konsulentarkiv Tegningsnummer / revigjørstøstav V026					

B5

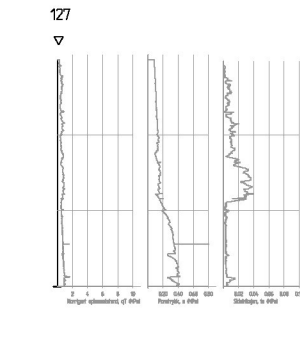
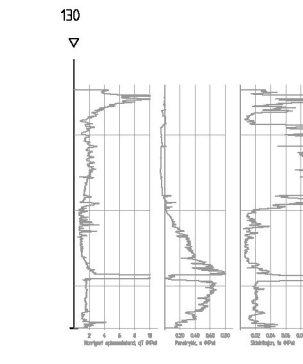
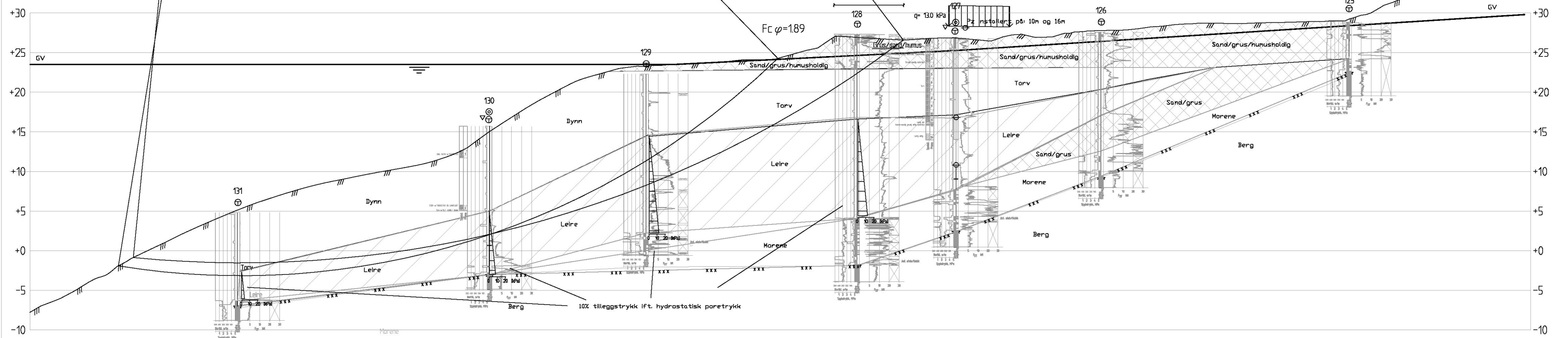


Revisjon	Revisjonen gjelder	Utarb	Kontr	Gadkjent	Rev. dato
Rv. 13					
Kyrkjesvingen					
Profil B5, ADP-analyse					
Arkiverferanse	30273-GEOT-1				
Målestokk A3-format	1:500				
Koordinatsystem	EUREF89UTM				
Uarbeidet av	rolaas	Kontrollert av	oishol	Gadkjent av	Konsulentarkiv
Tegningsnummer /					
revsjonsbokstav	V027				

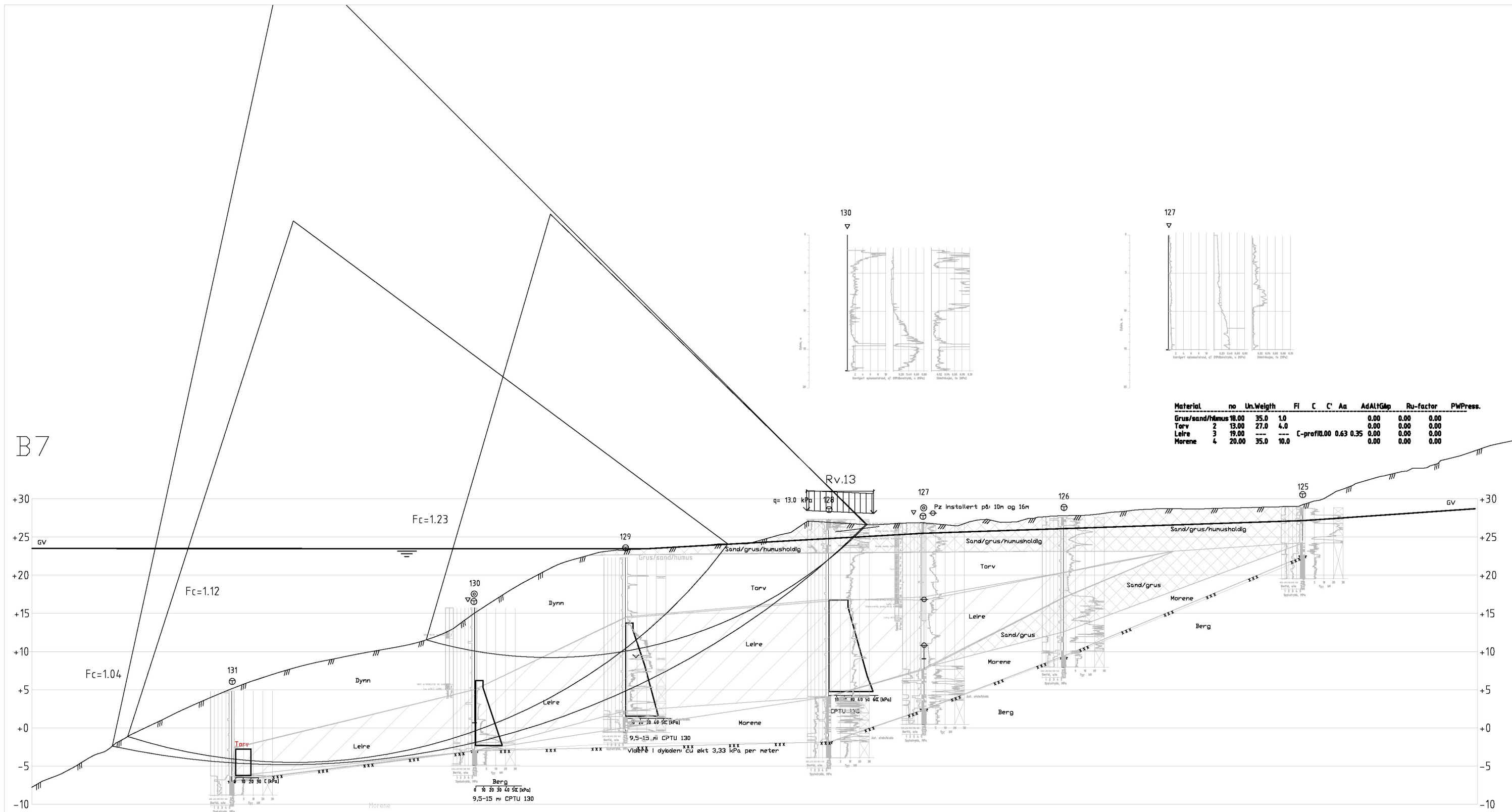


Material	no	UnWeight	R	C	C	Aa	Ad	Ap	AllGr	Ru-factor	PwPress
Gru/sand/humus	18.00	35.0	10						0.00	0.00	0.00
Torv	2	6.00	27.0	4.0					0.00	0.00	0.00
Leire	3	19.00	29.0	3.0					0.00	0.00	0.00
Morene	4	20.00	35.0	10.0					0.00	0.00	0.00

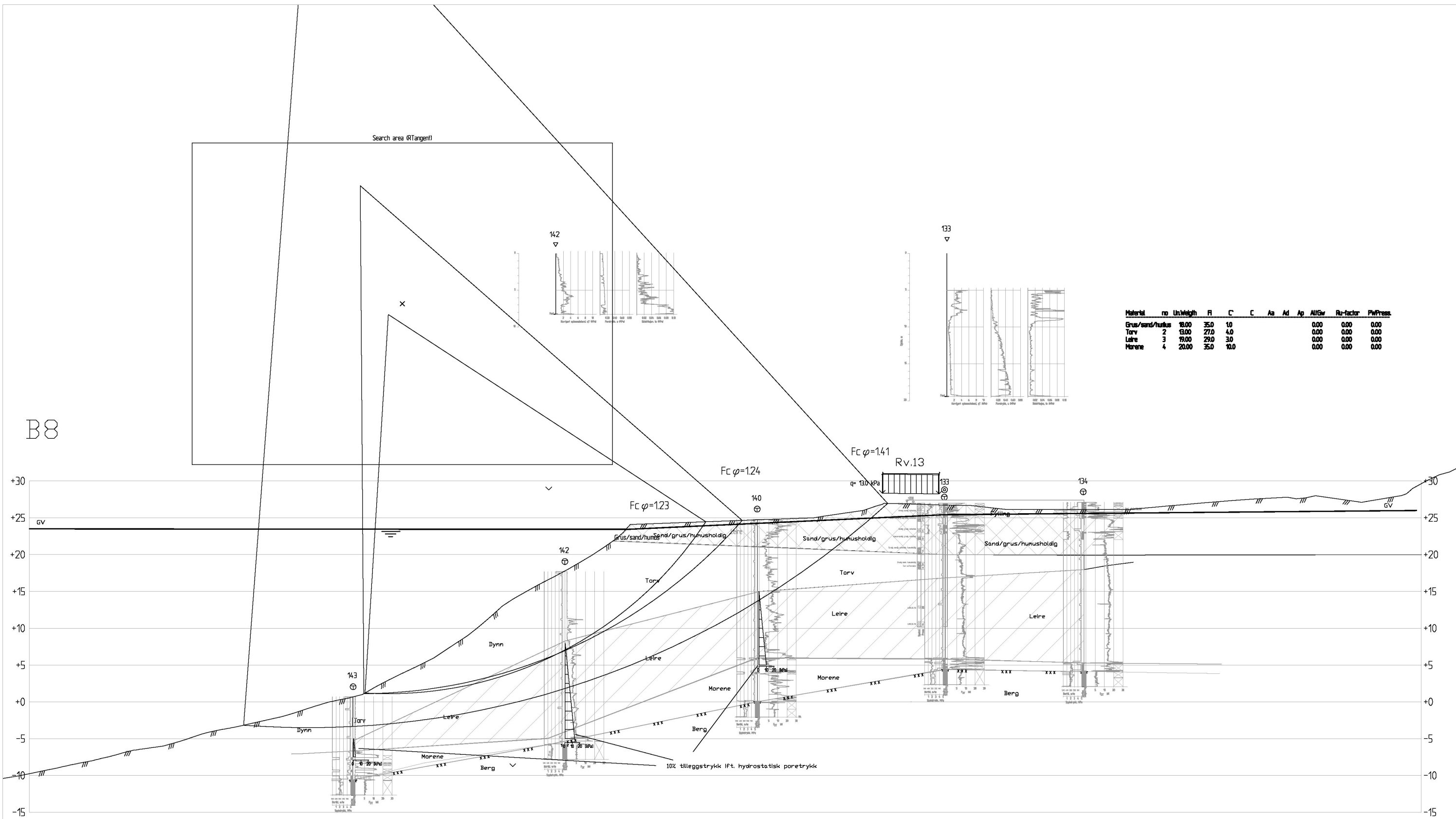
B7



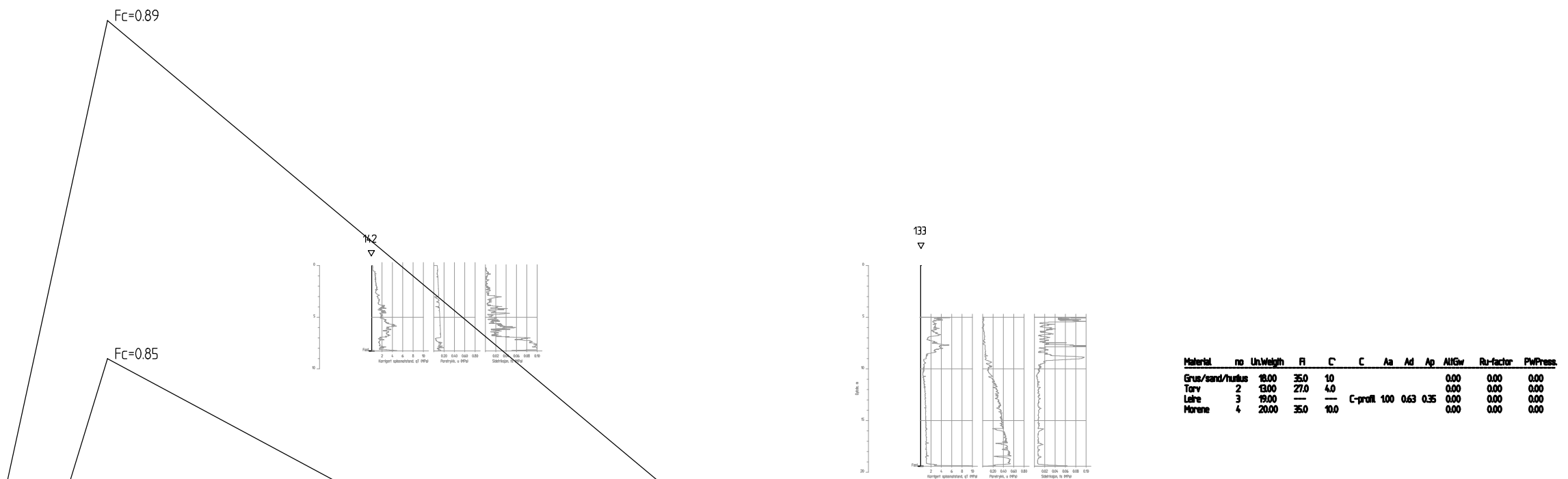
Revisjon	Revisjonen gjelder	Utarb	Kontr	Godkjent	Rev. dato
Status vegvesen					
Rv. 13					
Kyrkjesvingen					
Profil B7, AFI-analyse					
Tegningsdato					
Bestiller					
Produsert for					
Prosjektnummer					
Prosjektfasenummer					
Arkivreferanse 30273-GEOT-1					
Målestokk A3-format 1:500					
Koordinatsystem EUREF89UTM					
Uarbeidet av	Kontrollert av	Godkjent av	Konsulentarkiv	Tegningstegner / revisjonsbokstav	
relas	oishol			V028	



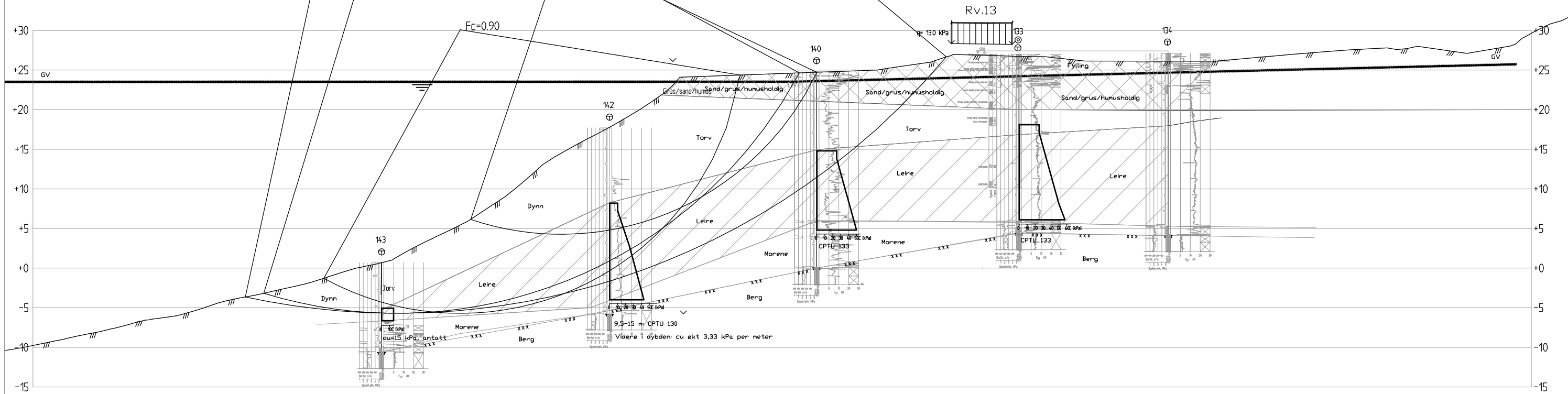
Revisjon	Revisjonen gjelder	Utarb	Kontr	Godkjent
		Tegningstidspunkt		
<b>Statens vegvesen</b>		Bestillert	Region vest	
Rv. 13		Produsert for		
<b>Kyrkjesvingen</b>		Produsert av		
<b>Profil B7, ADP-analyse</b>		Prisgrunnlag		
		Prisgrunnlagsnummer		
		Arkivreferanse	30273-GEOT-1	
		Mønstrek A3-format	1500	
		Koordinatsystem	EUREF89UTM	
Uarbeidet av	Kontrollert av	Godkjent av	Tegningsnummer / revisjonsdato/tekst	
rolans	oishol			
			V029	



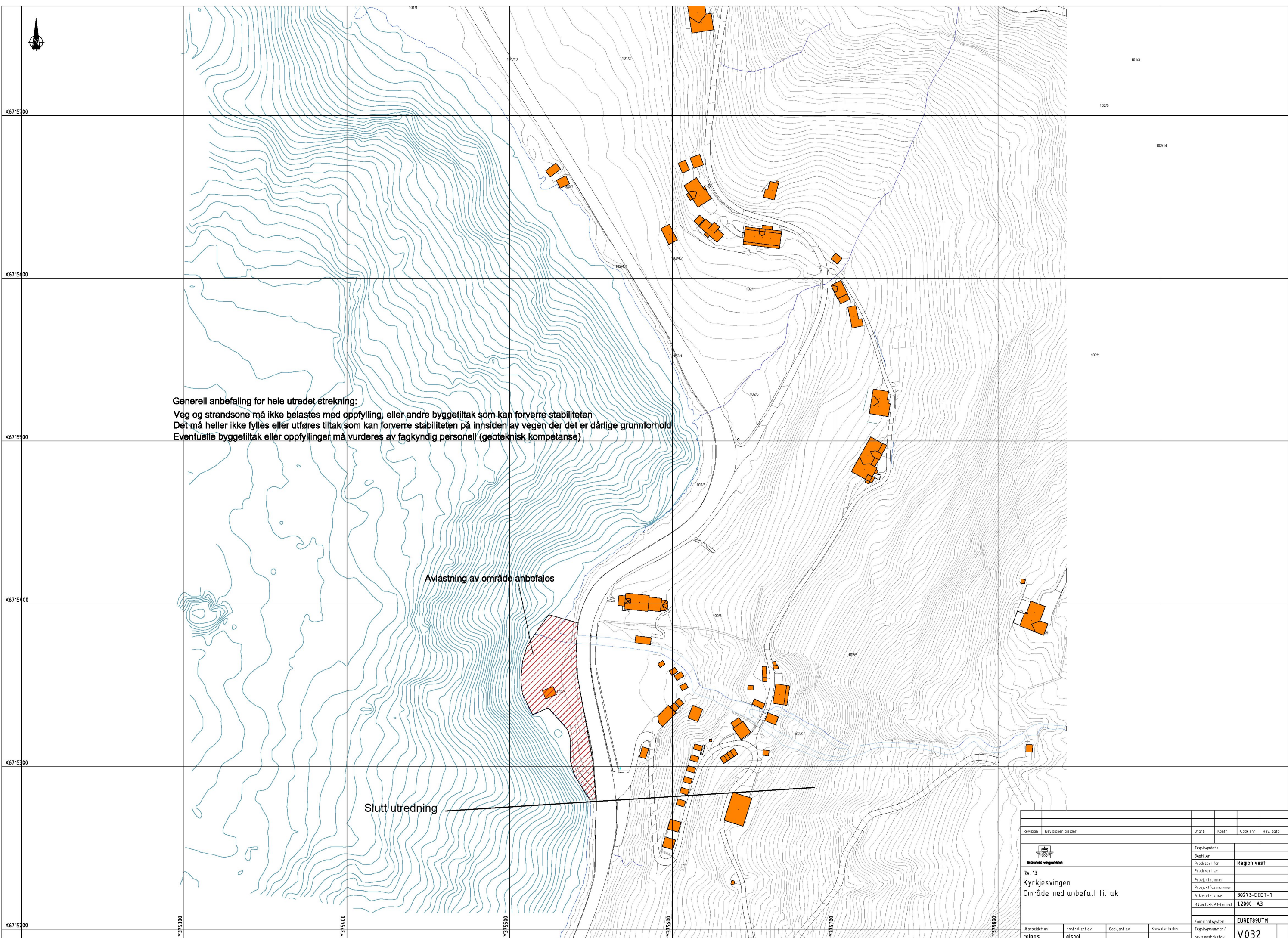
Revisjon	Revisjonen gjelder	Utarb	Kontr	Godkjent	Rev. dato
	Statoil vegvesen				
Rv. 13	Kyrkjesvingen				
Profil B8, AFI-analyse					
		Tegningsdato			
		Bestiller			
		Produsert for			Region vest
		Prosjektnummer			
		Prosjektfasenummer			
		Arkivreferanse			30273-GEOT-1
		Målestokk A3-forskrift			1:500
		Koordinatsystem			EUREF89UTM
		Uarbeidet av	Kontrollert av	Godkjent av	Konsulentarkiv
		relasj	oishol		
		Tegningstegnaren /			
		revisjonsbokstav			V030



B8



Revisjon	Revisjonen gjelder	Uforb	Kontr	Godkjent
 <b>Norges vugge</b>		Tegningsdato		
		Bestiller		
		Produktet for		
		Region vest		
		Produsert av		
		Prosjektnummer		
		Prosjektfasenummer		
		Arkivreferanse		
		Målestokk A3-format		
		Koordinatsystem		
Utarbeidet av	Kontrollert av	Godkjent av	Konsulentarkiv	Tegningsnummer / revisjonsstøket
rolands	nishol			V031



Borhull	Nord	Øst	Z	Løs-masser	Berg	Total-sondering	Prøve-taking	CPTU	Piezo-meter
7	6715405,5	375559,6	26,8	17,5	-	x			
9	6715428,6	375513,3	17,4	16,9	0,7	x			
10	6715429,1	375538,6	21,6	17,8	0,5	x			
13	6715455,5	375506,9	5,9	7,9	0,6	x			
14	6715453,9	375538,4	14,7	10,0	1,4	x			
15	6715452,9	375558,4	19,3	12,9	1,0	x	x	x	
16	6715452,5	375580,5	19,0	12,4	1,4	x			
19	6715481,6	375505,9	-1,5	4,6	0,3	x			
20	6715478,9	375540,5	7,8	6,0	0,7	x			
21	6715476,7	375572,6	13,1	9,0	0,9	x			
25	6715505,6	375508,7	-0,9	7,2	0,2	x			
26	6715503,6	375541,7	5,4	6,6	1,2	x			
27	6715501,1	375578,7	10,9	6,6	0,3	x			
28	6715499,9	375600,3	16,4	10,2	1,1	x			
31	6715529,8	375510,5	0,4	8,5	0,7	x			
32	6715528,7	375543,3	7,7	13,4	0,2	x			
33	6715527,8	375572,3	14,7	13,8	0,6	x			
34	6715526,2	375598,6	22,5	16,6	0,6	x	x	x	
36	6715552,2	375490,6	3,1	16,6	0,6	x			
41	6715572,7	375485,3	5,2	13,2	0,3	x			
43	6715576,7	375522,8	14,3	16,5	-	x			
45	6715579,9	375558,8	21,2	16,9	-	x			
46	6715594,7	375482,8	7,2	11,1	0,4	x			
48	6715601,6	375522,4	17,1	15,3	-	x			
50	6715605,2	375553,0	23,3	15,5	-	x			
51	6715618,8	375488,9	11,0	14,2	0,2	x			
52	6715622,9	375508,7	16,1	13,1	0,2	x			
54	6715629,6	375544,0	23,7	16,1	0,8	x			
55	6715644,7	375499,3	20,2	18,9	0,3	x	x	x	
57	6715649,0	375523,4	23,5	17,1	0,2	x			
58	6715670,9	375505,0	23,3	18,3	0,1	x			
101	6716067,6	375394,7	27,7	6,5	3,0	x			
102	6715982,8	375415,0	27,1	17,6	-	x			
103	6715930,2	375415,1	27,3	13,6	2,0	x			
104	6715816,1	375438,2	25,7	19,8	1,9	x			
105	6715728,3	375491,4	25,1	17,4	1,9	x			
106	6715675,4	375528,4	26,4	15,3	1,8	x	x	x	
109	6715628,7	375560,2	26,9	15,5	2,1	x			
110	6715566,6	375597,5	26,9	19,9	2,0	x			
111	6715593,7	375586,3	27,0	18,9	2,0	x			
112	6715591,4	375582,2	27,0	19,4	2,0	x	x		
113	6715501,7	375634,4	26,5	9,3	2,1	x			
114	6715550,1	375612,4	26,8	17,6	2,0	x			
115	6715546,0	375606,4	26,4	17,7	2,0	x			
116	6715524,4	375618,3	26,4	19,7	2,1	x		x	
117	6715506,7	375657,2	27,0	3,5	1,7	x			
118	6715501,2	375622,4	26,0	13,1	2,0	x			
119	6715477,7	375621,5	26,0	9,6	2,0	x			
120	6715446,4	375613,7	26,7	10,7	2,0	x			
121	6715456,0	375605,8	26,2	15,1	2,0	x			

122	6715439,8	375587,2	26,3	21,4	2,3	x	x	x	
123	6715425,8	375565,4	26,5	21,7	2,0	x			
124	6715433,0	375595,1	26,5	16,0	2,1	x	x		
125	6715381,2	375606,5	28,8	6,4	3,0	x			
126	6715629,6	375575,3	27,6	18,4	1,3	x			
127	6715384,4	375557,0	26,8	24,4	2,0	x	x	x	x
128	6715390,5	375544,8	27,3	29,2	2,1	x			
129	6715389,9	375518,1	22,3	22,9	-	x			
130	6715387,2	375498,3	15,7	18,7	1,9	x	x	x	
131	6715387,2	375466,5	4,8	11,8	1,8	x			
133	6715347,6	375550,1	27,0	22,6	2,1	x	x	x	
134	6715346,3	375544,9	27,1	23,0	2,0	x			
135	6715470,4	375636,8	26,7	5,0	2,9	x			
136	6715405,4	375591,5	29,9	14,1	1,8	x			
137	6715407,1	375576,7	28,9	21,3	0,5	x			
138	6715412,5	375555,8	27,0	24,0	2,1	x			
139	6715287,2	375553,5	26,5	14,9	2,0	x			
140	6715365,6	375524,1	24,8	24,8	2,1	x			
141	6715339,3	375530,1	24,8	26,5	1,2	x	x	x	
142	6715344,2	375496,1	17,7	23,5	2,0	x		x	
143	6715344,6	375463,6	0,7	11,4	2,0	x			
144	6715418,0	375494,3	9,4	10,8	1,5	x			

Bor-hull	Dybde	Type prøve	Rutine	Korngr.	Tre-aksial	Ødo-meter	Von Post	Glødetap	Bilde	Kommentar
15	4-5	54 mm								Tom prøve
15	6-7	54 mm	x					x		
15	9-10	54 mm	x					x	x	
34	2-3	54 mm	x					x	x	
34	5-6	54 mm	x					x	x	
55	3-4	54 mm	x					x	x	50 cm prøve
55	7-8	54 mm	x	x				x	x	
55	10-11	54 mm	x					x	x	
106	0-1	Pose	x	x				x	x	
106	1-1,5	Pose	x	x				x	x	
106	1,5-2	Pose	x	x				x	x	
106	2-2,8	Pose	x	x				x	x	
106	2,8-3	Pose	x					x	x	
106	3-4	Pose	x					x	x	
106	4-4,6	Pose	x					x	x	
106	4,6-5	Pose	x	x				x	x	
106	6-7	54 mm	x					x	x	
106	9-10	54 mm	x		x				x	
112	0-1	Pose	x	x				x	x	
112	1-2	Pose	x	x				x	x	
112	2-3	Pose	x	x				x	x	
112	3,2-4	Pose	x	x				x	x	
112	4-5	54 mm								Tom prøve
112	5-6	54 mm								Tom prøve
112	4-5	Pose	x					x	x	
112	5-5,5	Pose	x					x	x	
112	5,5-6	Pose	x					x	x	
122	4,2-5	54 mm	x	x				x	x	
122	6-7	54 mm								Tom prøve
122	7-8	54 mm	x		x			x		
122	9-10	54 mm								Tom prøve
122	10-11	54 mm	x	x		x			x	
122	12-13	54 mm			x					mangler 12cm
124	0-1	Pose	x	x				x	x	
124	1-2	Pose	x	x				x	x	
124	2-2,6	Pose	x	x				x	x	
124	2,6-3	Pose	x	x				x	x	
124	3-3,5	Pose	x	x				x	x	
124	4-5	Pose	x	x				x	x	
124	5-6	Pose	x	x				x	x	
124	6-6,7	Pose	x	x				x	x	
124	6,7-7	Pose	x	x				x	x	
127	0-1	Pose	x	x				x	x	
127	1-2	Pose	x	x				x	x	
127	2-3	Pose	x	x				x	x	
127	3-4	Pose	x	x				x	x	
127	4-5	Pose	x					x	x	x
127	5-6	Pose	x					x	x	x
127	6-7	Pose	x					x	x	x
127	7-8	Pose	x					x	x	x

127	8-9	Pose	x				x	x	x	
127	9-10	Pose	x				x	x	x	
127	10-10,6	Pose	x	x			x	x		
127	10,6-10,8	Pose	x	x			x	x		
127	10,8-11	Pose	x	x			x	x		
127	12-13	54 mm	x			x		x	x	
130	3-4	mm	x				x	x	x	21 cm prøve
130	10-11	54 mm	x	x			x	x		
133	0-1	Pose	x	x			x	x		
133	1-1,8	Pose	x	x			x	x		
133	1,8-2	Pose	x	x			x	x		
133	2-2,5	Pose	x	x			x	x		
133	3,5-4	Pose	x	x			x	x		
133	4,5-5	Pose	x	x			x	x		
133	6-7	Pose	x	x			x	x		
133	8-8,5	Pose	x	x			x	x		
133	8,5-9	Pose	x				x	x	x	
133	11-12	54 mm	x		x					
133	12-13	54 mm								RESERVERT
133	14-15	54 mm	x	x			x	x		mangler 45cm
133	16-17	54 mm	x					x		
141	0-1	Pose	x	x			x	x		
141	1-2	Pose	x	x			x	x		
141	2-3	Pose	x	x			x	x		
141	3-4	Pose	x	x			x	x		
141	4-5	Pose	x	x			x	x		

## Laboratorieresultater

Prøver analysert av Multiconsult, 54 mm

Dybde (m)	Beskrivelse	Prøve kl. +	Test	Vanninnhold (%) og konsistensgrenser					$\rho$ (g/cm <sup>3</sup> )	Porositet (%)	Organisk innhold (%)	Udrenert skjærfasthet (kPa)					St (-)
				10	20	30	40	50				10	20	30	40	50	
1																	
2																	
3																	
4																	
5																	
6																	
7	ANT. LEIRE, SILTIG									1,89	50	1,2	0,6	15			
8																	
9																	
10	ANT. LEIRE, SILTIG m/ SANDSIKT									1,91	48	1,1	0,8	16			

**Symboler:**


Enaksialforsøk (strek angir aksiel tøyning (%) ved brudd)

O Vanninnhold

I Plastisitetsindeks, Ip

▼ Omrørt konus

▼ Uomrørt konus

ρ = Densitet

S<sub>t</sub> = Sensitivitet

T = Treaksialforsøk

Ø = Ødometerforsøk

K = Komgradering

ρ<sub>s</sub>: 2,75 g/cm<sup>3</sup>

Grunnvannstand: m

Borbok: Lab-bok: Digital

PRØVESERIE

Barhull:

PR 15

STATENS VEGVESEN REGION VEST

Dato: 2017-08-15

RV.13 KYRKJESVINGEN

# Multiconsult

www.multiconsult.no

Konstr./Tegnet:

NJJN

Kontrollert:

HN

Godkjent:

HTE

Oppdragsnummer:

617405

Tegningsnr.:

RIG-TEG-010

Rev. nr.:

00

Dybde (m)	Beskrivelse	Prøve kl. +	Test	Vanninnhold (%) og konsistensgrenser									$\rho$ (g/cm <sup>3</sup> )	Porositet (%)	Organisk innhold (%)	Udrenert skjærfasthet (kPa)					St (-)
				10	20	30	40	50	60	70	80	90				10	20	30	40	50	
1																					
2																					
3	TORV, m/ TRERESTER ANT. SANDIG, SILTIG												137	1,43	75	7,3					
4													94								
5													95								
6	TORV, m/ TRERESTER ANT. SILTIG												179	1,22	85	15,4					
7													248								
8													147								
9																					
10																					

<b>Symboler:</b>		Enaksialforsøk (strek angir aksiel tøyning (%) ved brudd)	$T$ = Treaksialforsøk	$\rho_s$ = 2,75 g/cm <sup>3</sup>
 Vanninnhold	 Omrørt konus	$\rho$ = Densitet	$\varnothing$ = Ødometerforsøk	Grunnvannstand: m
 Plastisitetsindeks, Ip	 Uomrørt konus	$S_t$ = Sensitivitet	K = Komgradering	Borbok: Lab-bok: Digital

PRØVESERIE

Borhull:

PR 34

STATENS VEGVESEN REGION VEST

Dato:

2017-08-15

RV.13 KYRKJESVINGEN

**Multiconsult**

www.multiconsult.no

Konstr./Tegnet: <b>NJN</b>	Kontrollert: <b>HN</b>	Godkjent: <b>HTE</b>
Oppdragsnummer: <b>617405</b>	Tegningsnr.: <b>RIG-TEG-011</b>	Rev. nr.: <b>00</b>

Dybde (m)	Beskrivelse	Prøve kl. +	Test	Vanninnhold (%) og konsistensgrenser									$\rho$ (g/cm <sup>3</sup> )	Porositet (%)	Organisk innhold (%)	Udrenert skjærfasthet (kPa)					St (-)
				10	20	30	40	50	60	70	80	90				10	20	30	40	50	
5	TORV, m/ TRERESTER												1,06	90	23,7						
													404								
													190								
10	LEIRE, SILTIG		K	H	H	O							1,79	55	1,5	0,4	V				23
				H	H	O										-O					23
																▼0,4	V				
15	ANT. LEIRE, SILTIG			H	O								1,91	49	1,6	▼1,0	V				15
				H	O											▼1,3	O	V			12
20																					

**Symboler:**

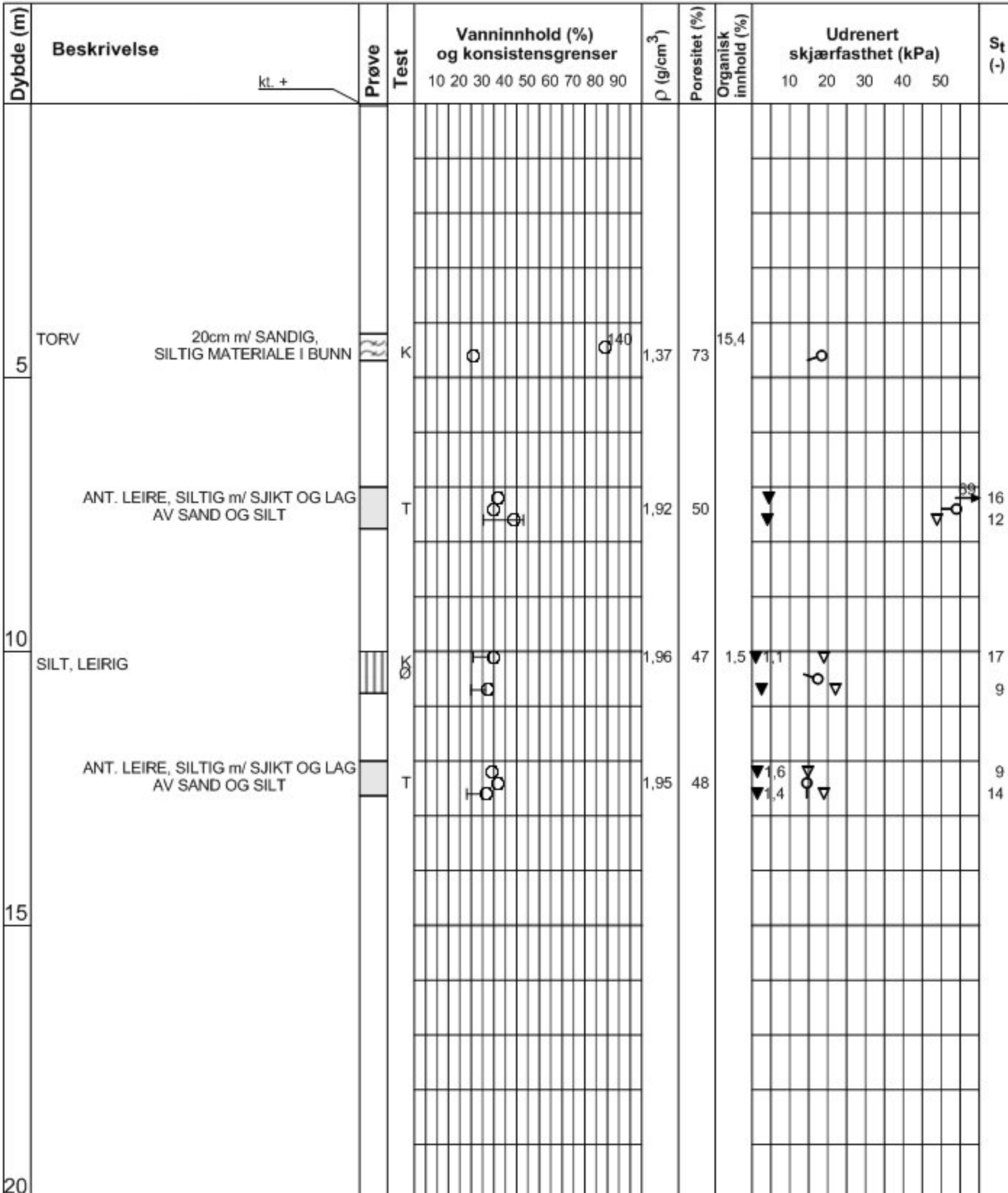
 Enaksialforsøk (strek angir aksiel tøyning (%)) ved brudd  
 Vanninnhold      ▼ Omrørt konus       $\rho$  = Densitet  
 Plastisitetsindeks, Ip      ▽ Uomrørt konus       $S_t$  = Sensitivitet  
 T = Treaksialforsøk      Ø = Ødometerforsøk  
 K = Komgradering      Borbok:  
 Barhull:      Lab-bok:  
 PRØVESERIE      Digital

**PRØVESERIE**

 Barhull: **PR 55**
**STATENS VEGVESEN REGION VEST**

 Dato: **2017-08-15**
**RV.13 KYRKJESVINGEN**
**Multiconsult**
[www.multiconsult.no](http://www.multiconsult.no)

Konstr./Tegnet: <b>NJN</b>	Kontrollert: <b>HN</b>	Godkjent: <b>HTE</b>
Oppdragsnummer: <b>617405</b>	Tegningsnr.: <b>RIG-TEG-012</b>	Rev. nr.: <b>00</b>


**Symboler:**

 Enaksialforsøk (strek angir aksiel tøyning (%) ved brudd)  
 ○ Vanninnhold      ▼ Omrørt konus      Ø = Densitet  
 ┌──────────┐      ▽ Uomrørt konus      S<sub>t</sub> = Sensitivitet  
 Plastisitetsindeks, Ip      └──────────┘      T = Treaksialforsøk  
 Borhull: 2.77 g/cm<sup>3</sup>  
 Grunnvannstand: 2,0 m  
 Borbok:  
 Lab-bok:  
 Digital

**PRØVESERIE**

Borhull:

**PR 122**
**STATENS VEGVESEN REGION VEST**

Dato:

2017-08-17

**RV.13 KYRKJESVINGEN**
**Multiconsult**

www.multiconsult.no

Konstr./Tegnet:

**NJN**

Kontrollert:

**HN**

Godkjent:

**HTE**

Oppdragsnummer:

**617405**

Tegningsnr.:

**RIG-TEG-013**

Rev. nr.:

**00**

Dybde (m)	Beskrivelse	Prøve kl. +	Test	Vanninnhold (%) og konsistensgrenser					$\rho$ (g/cm <sup>3</sup> )	Porositet (%)	Organisk innhold (%)	Udrenert skjærfasthet (kPa)					St (-)
				10	20	30	40	50				10	20	30	40	50	
5																	
10																	
15	ANT. LEIRE, SILTIG m/ SANDSIKT HUMUSHOLDIG		Ø						1,91	48	2,0	▼1,6	▼	13			18
20												▼1,5	○	▼			

<b>Symboler:</b>	0 15 10 5	Enaksialforsøk (strek angir aksiel tøyning (%) ved brudd)	T = Treaksialforsøk Ø = Ødometerforsøk K = Komgradering	$\rho_s$ : 2,75 g/cm <sup>3</sup> Grunnvannstand: m Borbok: Lab-bok: Digital
○ Vanninnhold	▼ Omrørt konus	$\rho$ = Densitet		
─ Plastisitetsindeks, Ip	▽ Uomrørt konus	$S_t$ = Sensitivitet		

PRØVESERIE

Borhull:

PR 127

STATENS VEGVESEN REGION VEST

Dato:  
2017-08-15

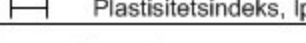
RV.13 KYRKJESVINGEN

**Multiconsult**

www.multiconsult.no

Konstr./Tegnet: <b>NJN</b>	Kontrollert: <b>HN</b>	Godkjent: <b>HTE</b>
Oppdragsnummer: <b>617405</b>	Tegningsnr.: <b>RIG-TEG-014</b>	Rev. nr.: <b>00</b>

Dybde (m)	Beskrivelse	Prøve kl. +	Test	Vanninnhold (%) og konsistensgrenser									$\rho$ (g/cm <sup>3</sup> )	Porositet (%)	Organisk innhold (%)	Udrenert skjærfasthet (kPa)					St (-)	
				10	20	30	40	50	60	70	80	90				10	20	30	40	50		
5	ORG. MATR. m/ TRERESTER																					
10	TORV, m/ TRERESTER OG SANDSJIKT 7cm m/ SILT, LEIRIG I BUNN	~~~~~	K										222 245	1,27	83	32,1						
15																						
20																						

**Symboler:**  Enaksialforsøk (strek angir aksiel tøyning (%) ved brudd)  
 Vanninnhold       Omrørt konus       $\rho$  = Densitet  
 Plastisitetsindeks, Ip       Uomrørt konus       $S_t$  = Sensitivitet  
T = Treaksialforsøk       $\rho_s$ : 2,75 g/cm<sup>3</sup>  
Ø = Ødometerforsøk      Grunnvannstand: m  
K = Komgradering      Borbok:  
Lab-bok: Digital

PRØVESERIE

Borhull:

PR 130

STATENS VEGVESEN REGION VEST

Dato:

2017-08-15

RV.13 KYRKJESVINGEN

**Multiconsult**

www.multiconsult.no

Konstr./Tegnet:

NJN

Kontrollert:

HN

Godkjent:

HTE

Oppdragsnummer:

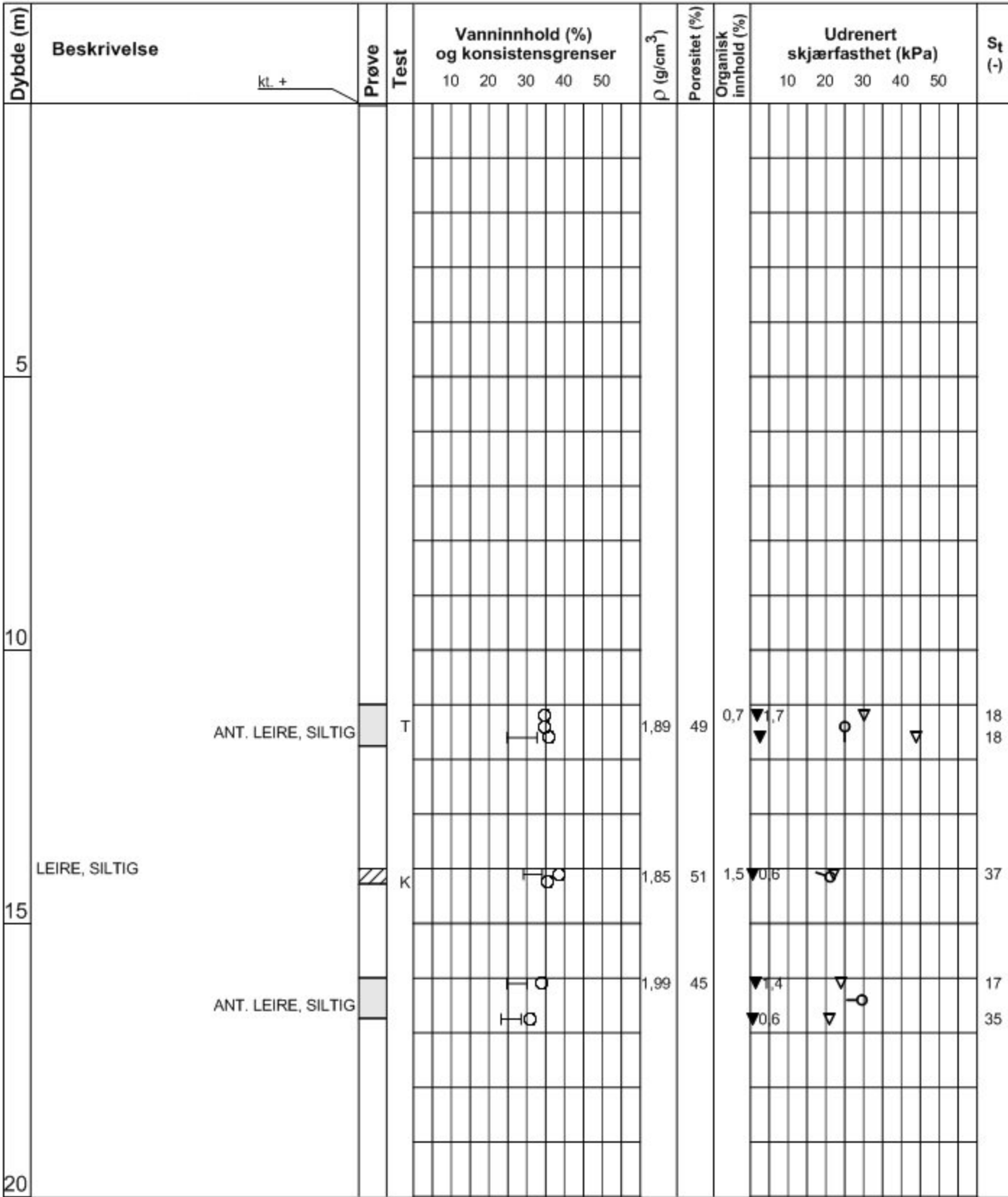
617405

Tegningsnr.:

RIG-TEG-015

Rev. nr.:

00



**Symboler:**  Enaksialforsøk (strek angir aksiel tøyning (%) ved brudd)  
 Vanninnhold       Plastisitetsindeks, Ip  
 Omrørt konus       Uomrørt konus  
 Densitet       Ø = Ødometerforsøk  
 Sensitivitet       T = Treaksialforsøk  
 K = Komgradering       Grunnvannstand: 2,0 m  
 Borbok: Lab-bok: Digital

PRØVESERIE

Borhull:

PR 133

STATENS VEGVESEN REGION VEST

Dato: 2017-08-17

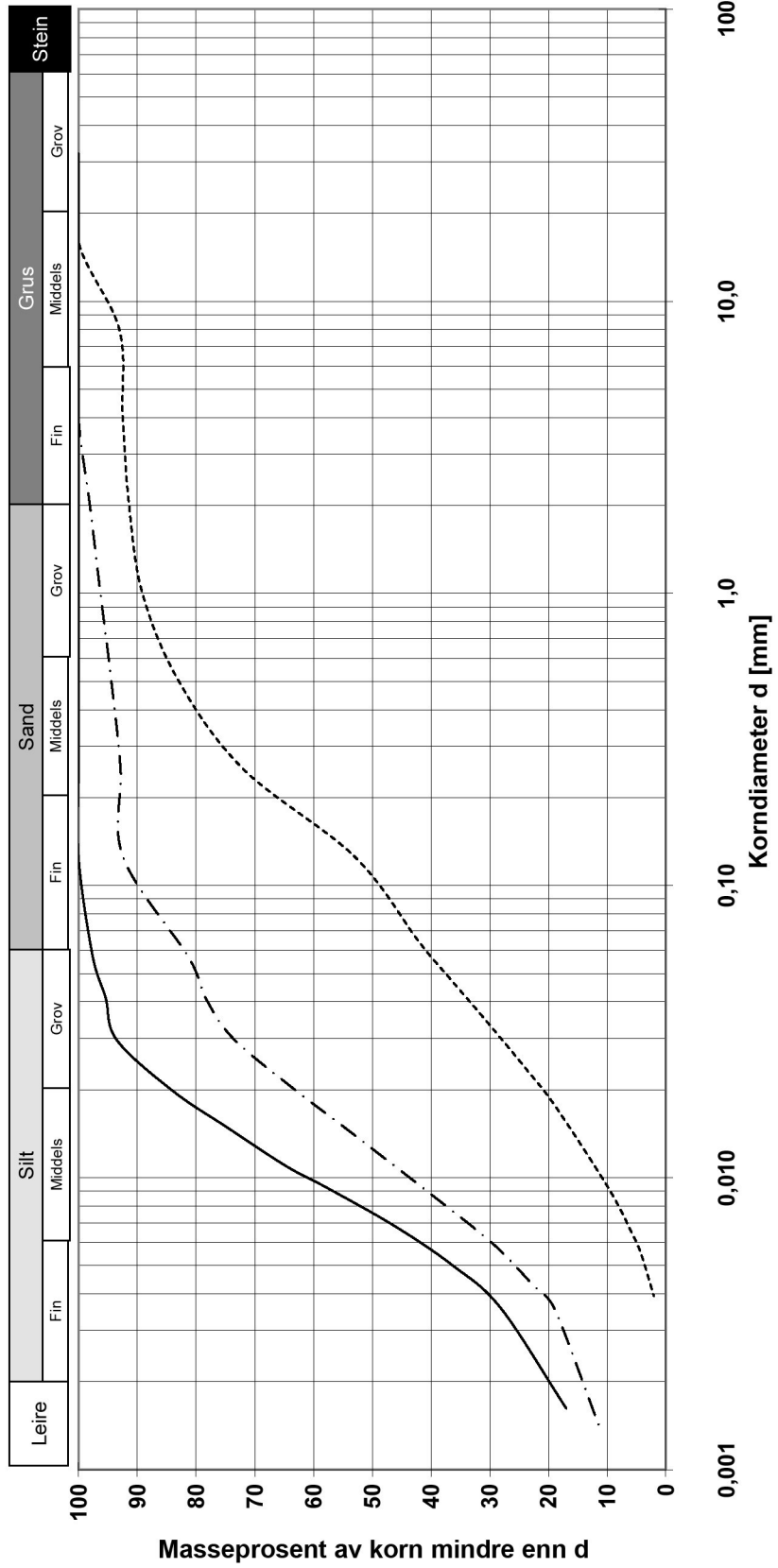
RV.13 KYRKJESVINGEN

**Multiconsult**

www.multiconsult.no

Konstr./Tegnet: <b>NJN</b>	Kontrollert: <b>HN</b>	Godkjent: <b>HTE</b>
Oppdragsnummer: <b>617405</b>	Tegningsnr.: <b>RIG-TEG-016</b>	Rev. nr.: <b>00</b>

## KORNGRADERINGSKURVE



SYM-BOL	PRØVE-SERIE NR.:	DYBDE m (KOTE)	JORDARTSBETEGNELSE	ANMERKNING		TØRR-SIKT	HYDR-F, DROP	VÅT+TØRR-SIKT	METODE
				w [%]	O <sub>GL</sub> [%]				
PR 55	7,1	Lære, siltig	45,2	1,6			X	X	
PR 122	4,6	Sandig, siltig materiale	25,9				X	X	
PR 122	10,2	Silt, leiring	35,1	1,5			X		

STATENS VEGVESEN REGION VEST  
RV.13 KYRKJESVINGEN

## KORNGRADERING

**Multiconsult AS**

Nesttunbrekka 95  
5221 BERGEN  
Tlf.: 55 623700

Dato

09.08.2017

Tegnet

NJN

Kontrollert

HN

Boring nr.  
PR 55 og 122

Tegningens filnavn  
RIG-TEG-060

Borplan nr.

Borbok/Lab.bok  
/Digital

**Multiconsult**

Oppdrag nr.

**617405**

Tegning nr.

**RIG-TEG-060**

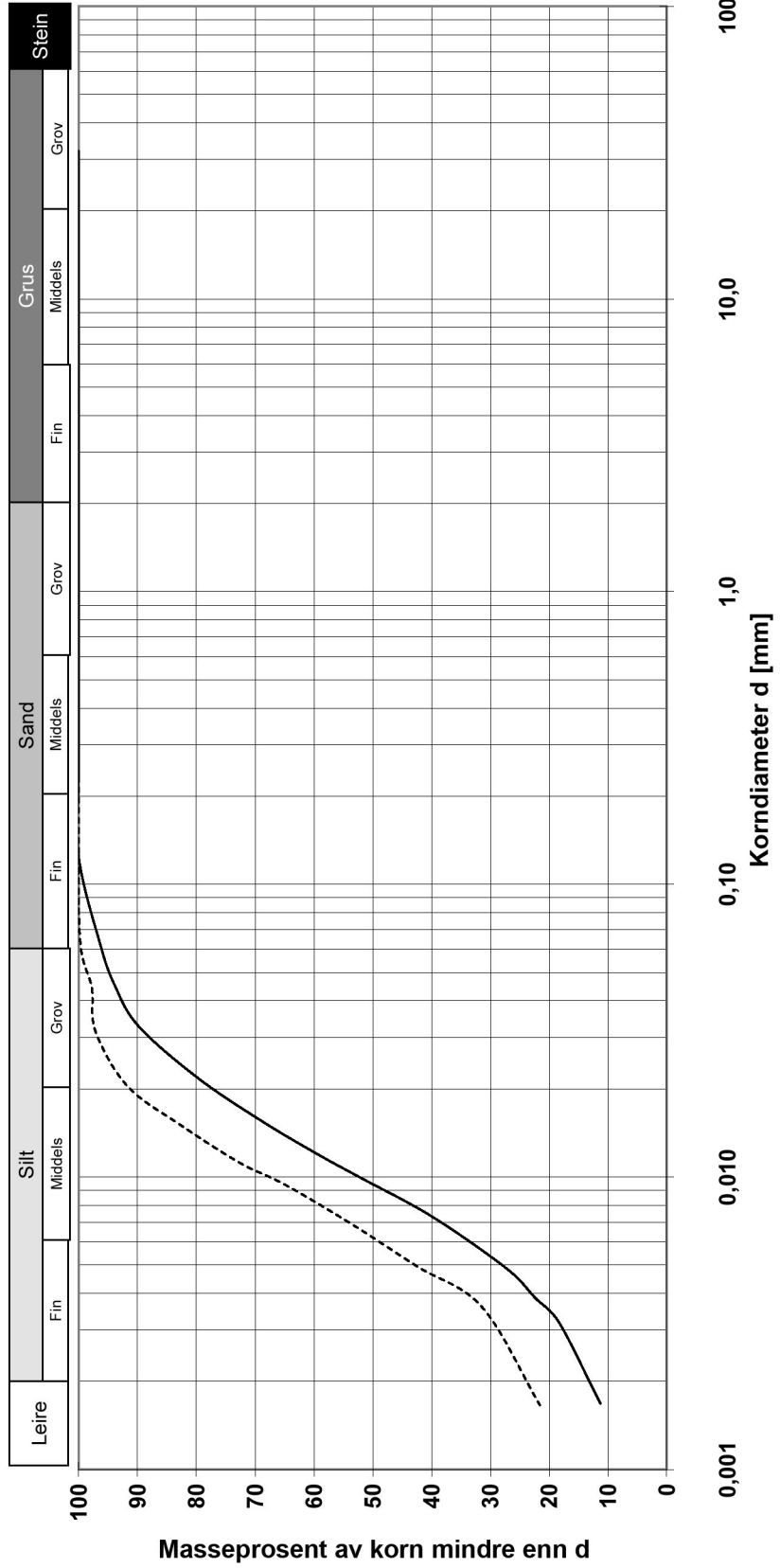
Godkjent

HTE

Rev.

00

## KORNGRADERINGSKURVE



SYM-BOL	PRØVE-SERIE NR.:	DYBDE m (KOTE)	JORDARTSBETEGNELSE			ANMERKNING	METODE	
			w [%]	O <sub>GL</sub> [%]	VÅT+TØRR SIKT		TØRR-SIKT	HYDR-F, DROP
PR 130		10,75m	Silt, leirig	43,9			X	
PR 133		14,25m	Leire, siltig	35,4			X	

STATENS VEGVESEN REGION VEST  
RV.13 KYRKJESVINGEN

## KORNGRADERING

**Multiconsult AS**  
Nesttunbrekka 99  
5221 BERGEN  
Tlf.: 55 623700

Dato 07.08.2017

Tegnet NJN

Kontrollert HN

Boring nr.  
PR 130 og 133

Tegningens filnavn

617405-RIG-TEG-061

Borplan nr.  
Borbok/Lab.bok /Digital

Boring nr.

PR 130

PR 133

10,75m

14,25m

Silt, leirig

Leire, siltig

Tegningens filnavn

617405-RIG-TEG-061

Multiconsult

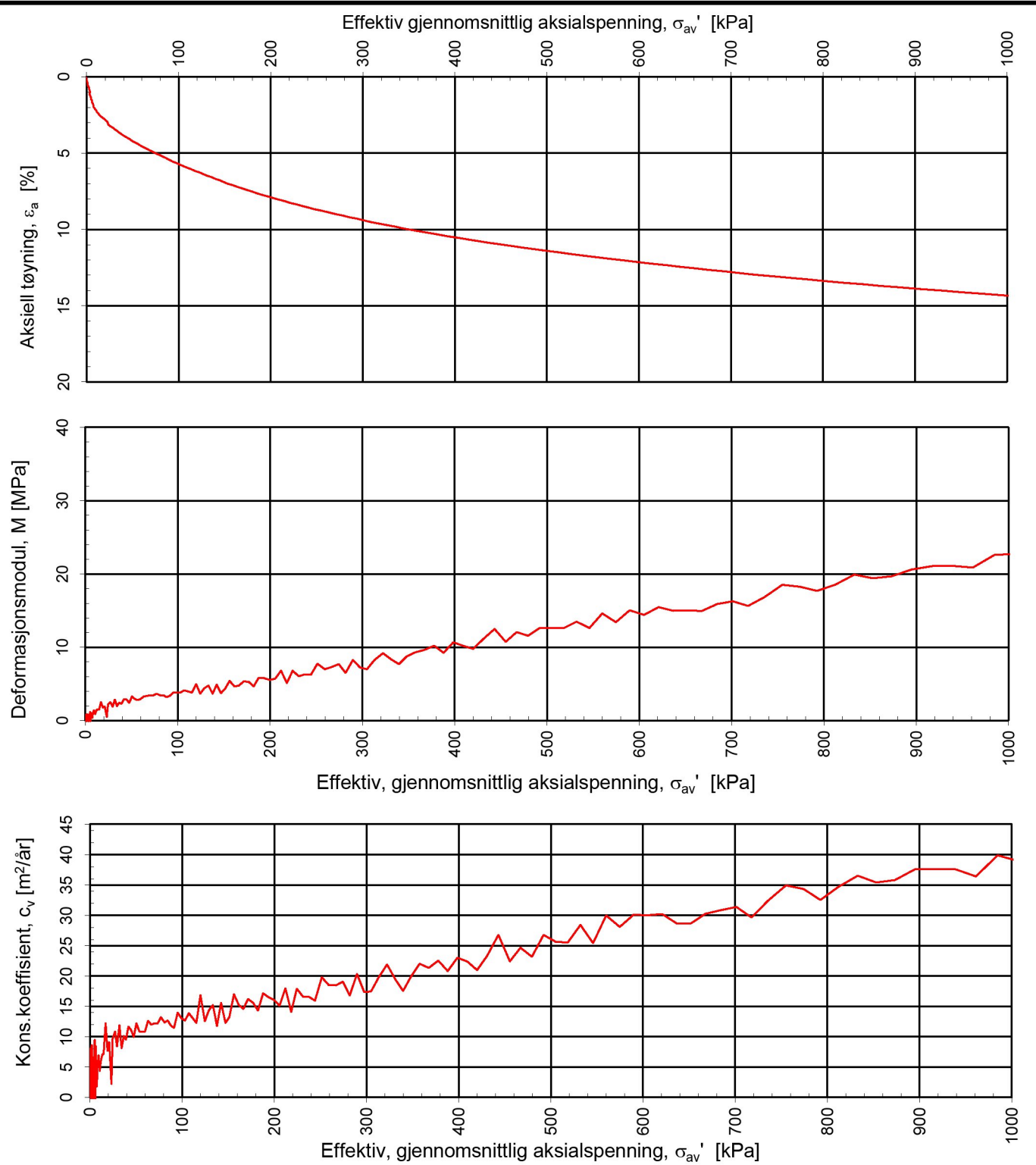
Oppdrag nr. 617405

Tegning nr.

RIG-TEG-061

Rev.

00



**STATENS VEGVESEN REGION VEST**  
**RV.13 KYRKJESVINGEN**

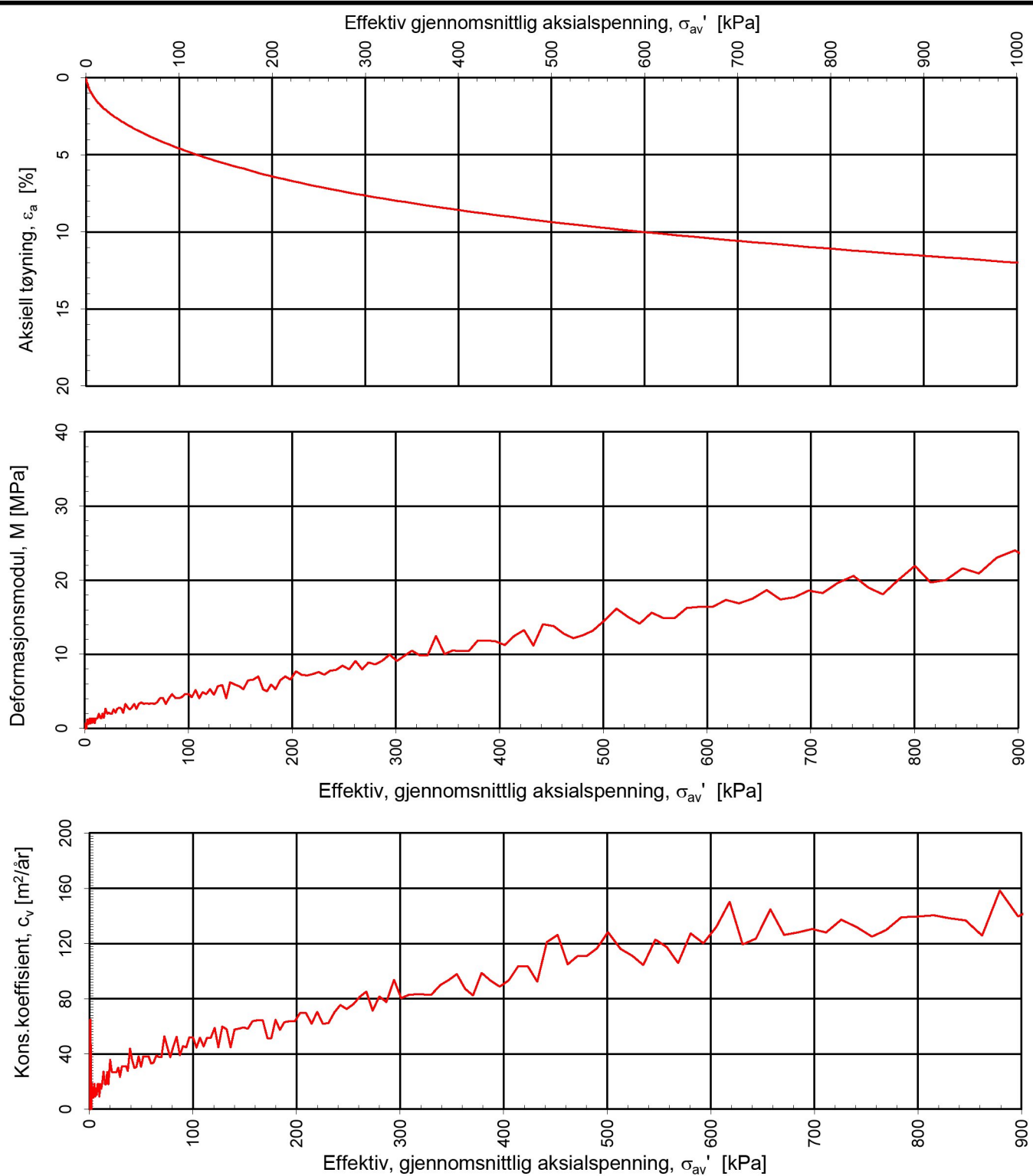
Kontinuerlig ødometerforsøk, CRS-rutine. Plott A:  $\sigma'_{av}$  -  $\varepsilon_a$ , M og  $c_v$ .

Tegningens filnavn:  
617405-RIG-TEG-075.1



**MULTICONSULT AS**  
Nesttunbrekka 99,  
5221 NESTTUN  
Tlf.: 55 62 37 00

Forsøksdato:	25.06.2017	Dybde, z (m):	10,40	Borpunkt nr.:	122
Forsøknr.:	1	Tegnet av:	NJN	Kontrollert:	ADS
Oppdrag nr.:	617405	Tegning nr.:	RIG-TEG-075.1	Prosedyre:	CRS
				Programrevisjon:	09.10.2015



**STATENS VEGVESEN REGION VEST**  
**RV.13 KYRKJESVINGEN**

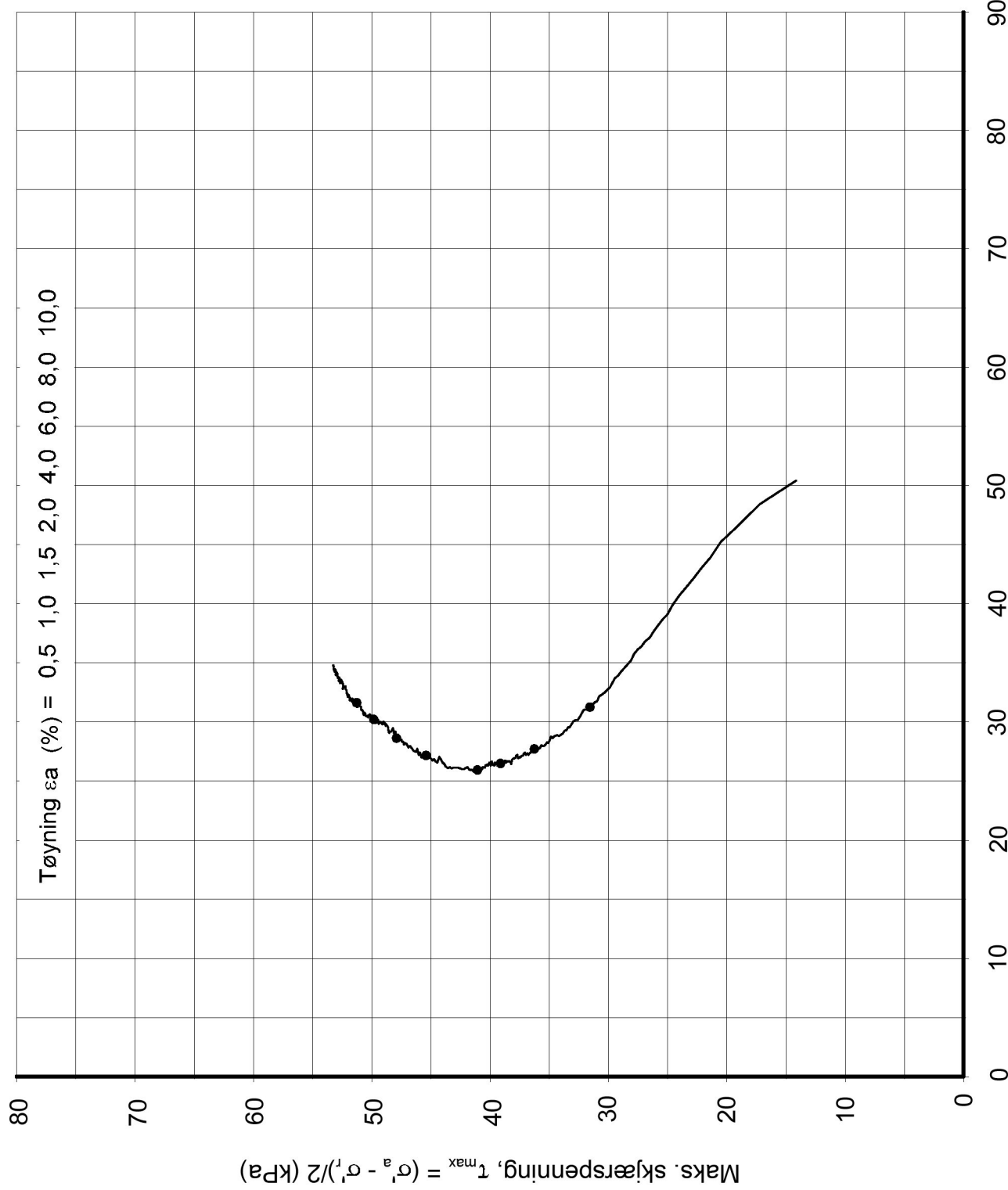
Kontinuerlig ødometerforsøk, CRS-rutine. Plott A:  $\sigma_{av}'$  -  $\varepsilon_a$ , M og  $c_v$ .

Tegningens filnavn:  
617405-RIG-TEG-075.2

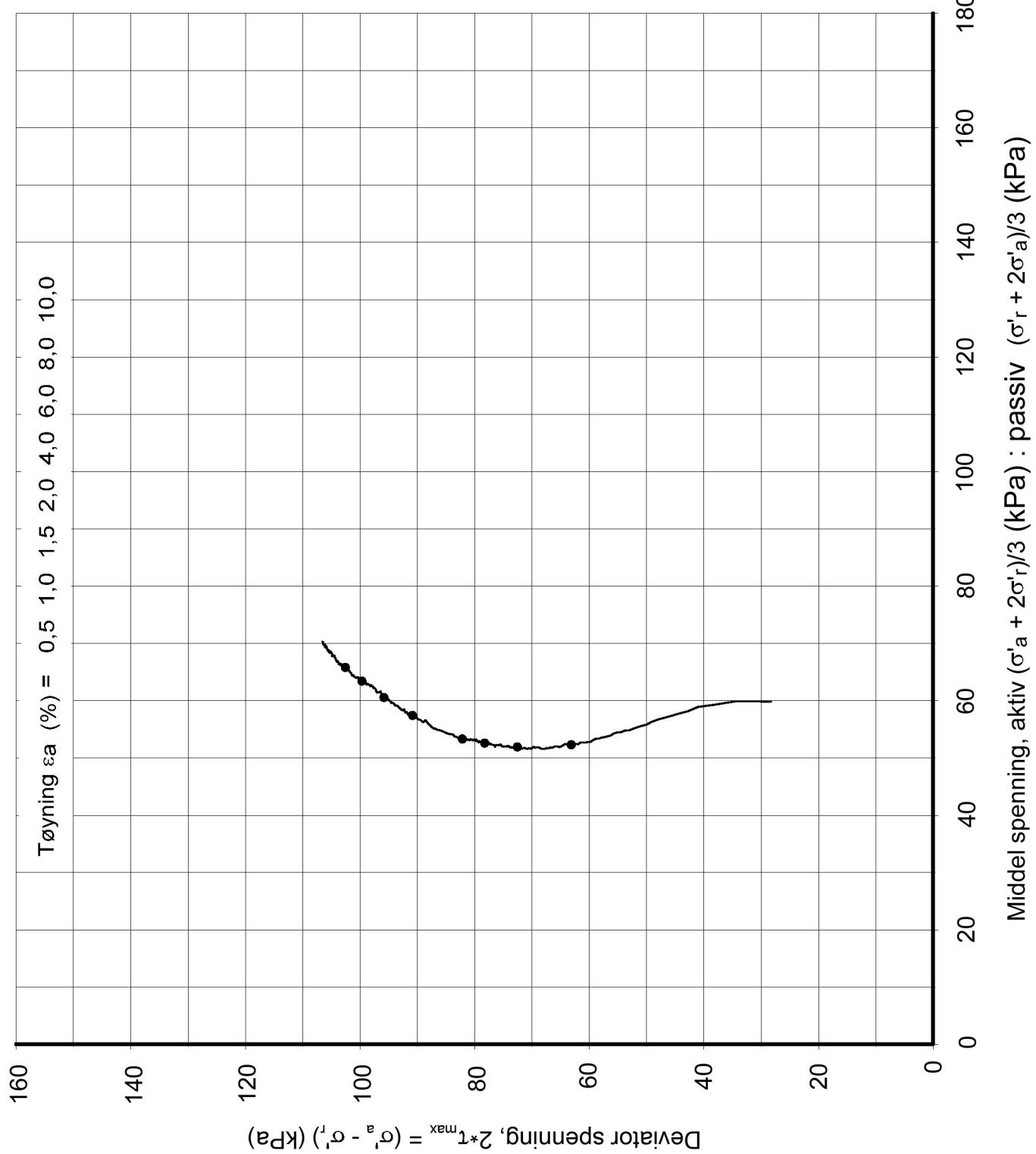
**Multi  
consult**

**MULTICONSULT AS**  
Nesttunbrekka 99,  
5221 NESTTUN  
Tlf.: 55 62 37 00

Forsøksdato:	26.06.2017	Dybde, z (m):	12,14	Borpunkt nr.:	127
Forsøknr.:	1	Tegnet av:	NJN	Kontrollert:	ADS
Oppdrag nr.:	617405	Tegning nr.:	RIG-TEG-075.2	Prosedyre:	CRS
				Programrevisjon:	09.10.2015



<b>Forsøksdata</b>	$\gamma_i = 18,2 \text{ kN/m}^3$	$w_i = 40,0 \text{ \%}$	$\sigma'_{vo} = 80,0 \text{ kPa}$
Dybde: 7,45 m	$\varepsilon_{vol} = \Delta V/V = 3,14 \text{ \%}$	$w_f = - \text{ \%}$	$\sigma'_{ac} = 76,6 \text{ kPa}$
Gvs. = 2 m	$\Delta e/e_0(-) = 0,060$	$w_p = - \text{ \%}$	$\sigma'_{rc} = 48,7 \text{ kPa}$
Treaksialforsøk CAUa Deviatorspenningsti. NTNU-plott			Borpunkt: 122
STATENS VEGVESEN REGION VEST			Dato: 06.07.2017
RV. 13 KYRKJESVINGEN			
<b>Multiconsult</b> www.multiconsult.no	Tegnet RHS	Kontrollert: SIOR	Godkjent: HST
	Oppdragsnr: 617405	Tegning nr.: RIG-TEG-090.1	Rev nr. 00



#### Forsøksdata

Dybde: 7,45 m	$\gamma_i = 18,2 \text{ kN/m}^3$	$w_i = 40,0 \%$	$\sigma'_{vo} = 80,0 \text{ kPa}$
Gvs.: 2 m	$\varepsilon_{vol} = \Delta V/V = 3,14 \%$	$w_f = - \%$	$\sigma'_{ac} = 76,6 \text{ kPa}$
	$\Delta e/e_0(-) = 0,060$	$w_p = - \%$	$\sigma'_{rc} = 48,7 \text{ kPa}$

Treaksialforsøk CAUa

Borpunkt:

122

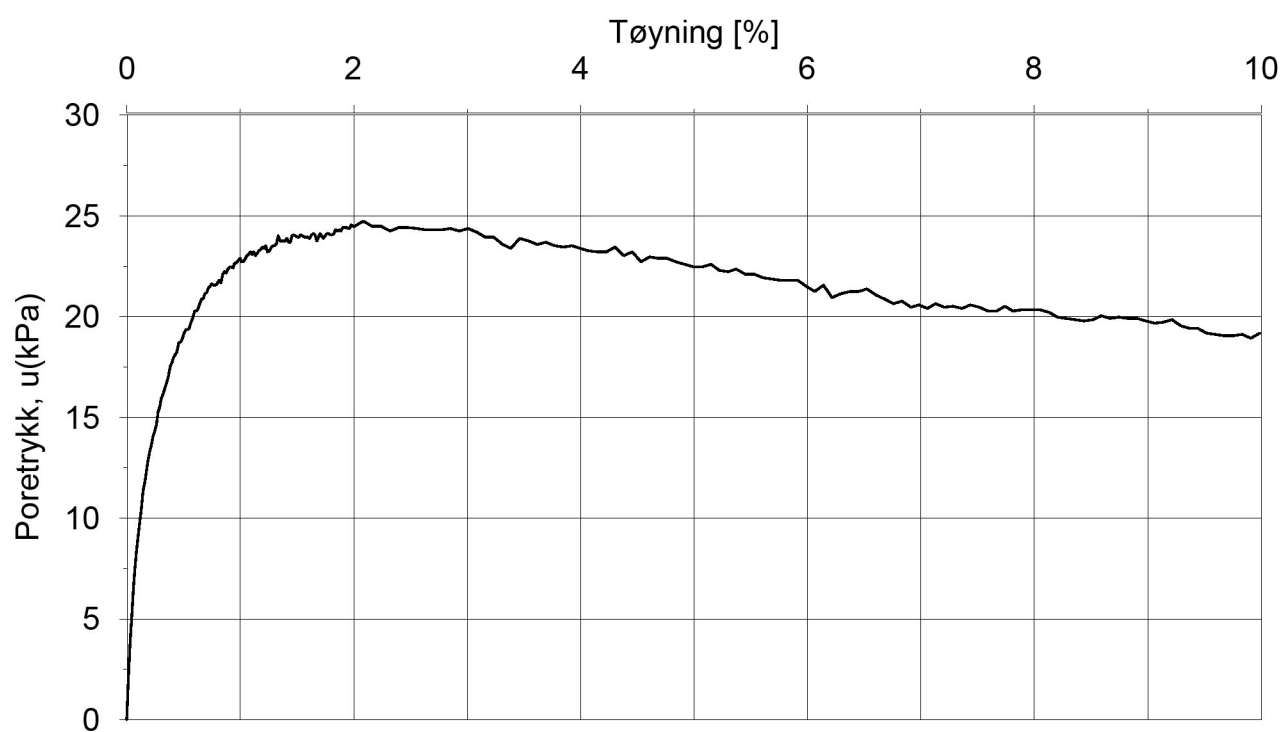
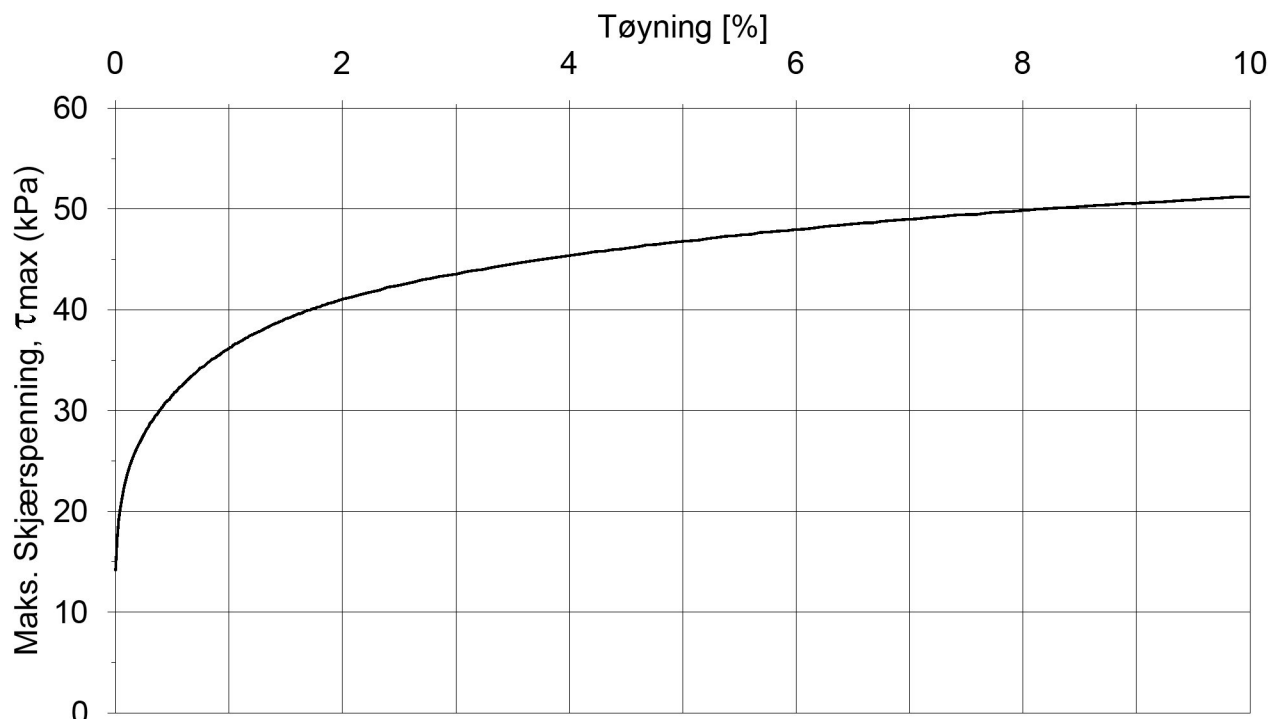
STATENS VEGVESEN REGION VEST

Dato: 06.07.2017

RV. 13 KYRKJESVINGEN

**Multiconsult**  
www.multiconsult.no

Tegnet RHS	Kontrollert: SIOR	Godkjent: HST
Oppdragsnr: 617405	Tegning nr.: RIG-TEG-090.2	Rev nr. 00



<b>Forsøksdata</b>	$\gamma_i = 18,2 \text{ kN/m}^3$	$w_i = 40,0 \%$	$\sigma'_{vo} = 80,0 \text{ kPa}$
Dybde: 7,45 m	$\varepsilon_{vol} = \Delta V/V = 3,14 \%$	$w_f = - \%$	$\sigma'_{ac} = 76,6 \text{ kPa}$
Gvs. = 2 m	$\Delta e/e_0 (-) = 0,060$	$w_p = - \%$	$\sigma'_{rc} = 48,7 \text{ kPa}$

Treaks CAUa Poretrykk- og mobiliseringsforsøk

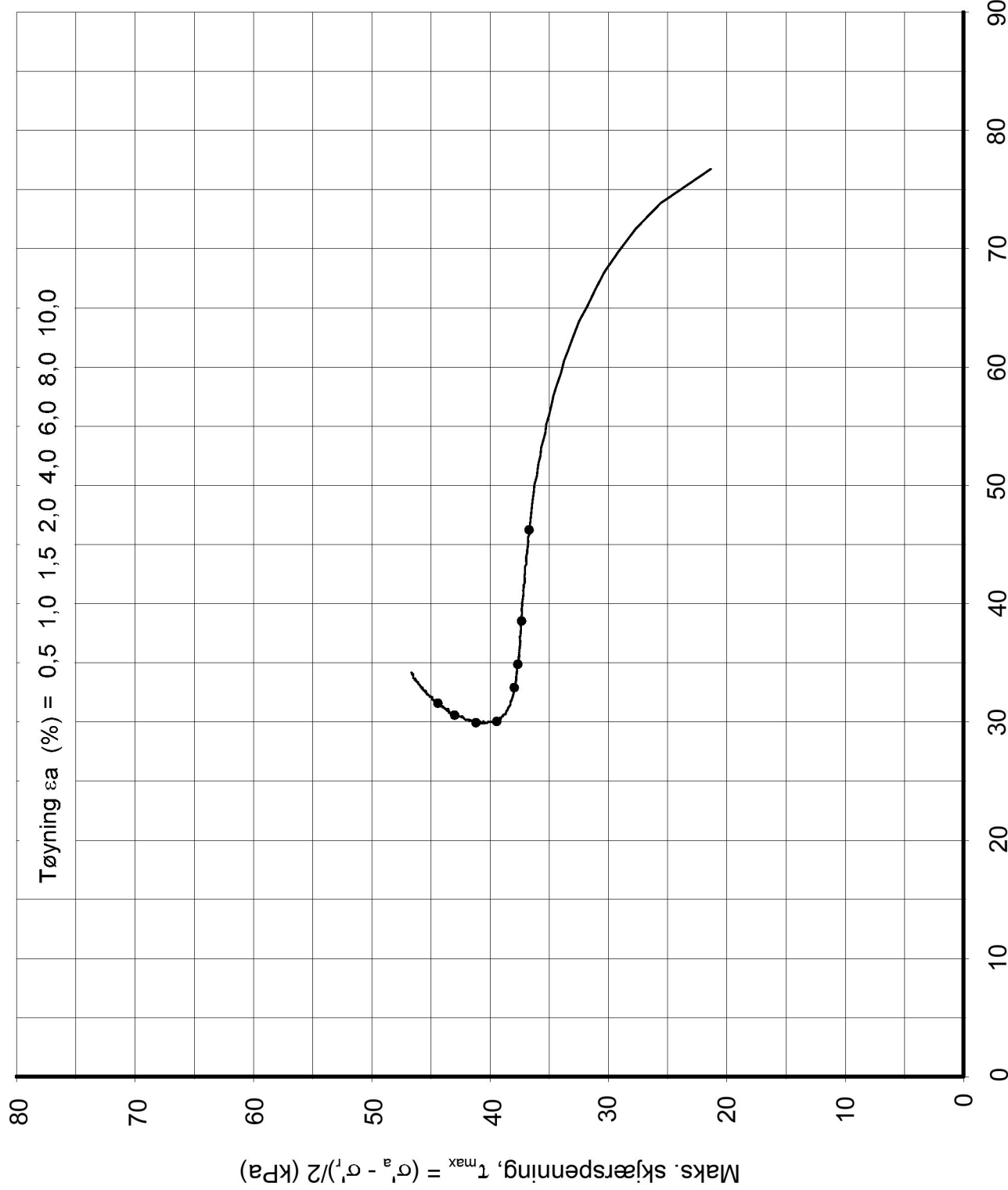
Borpunkt:

122

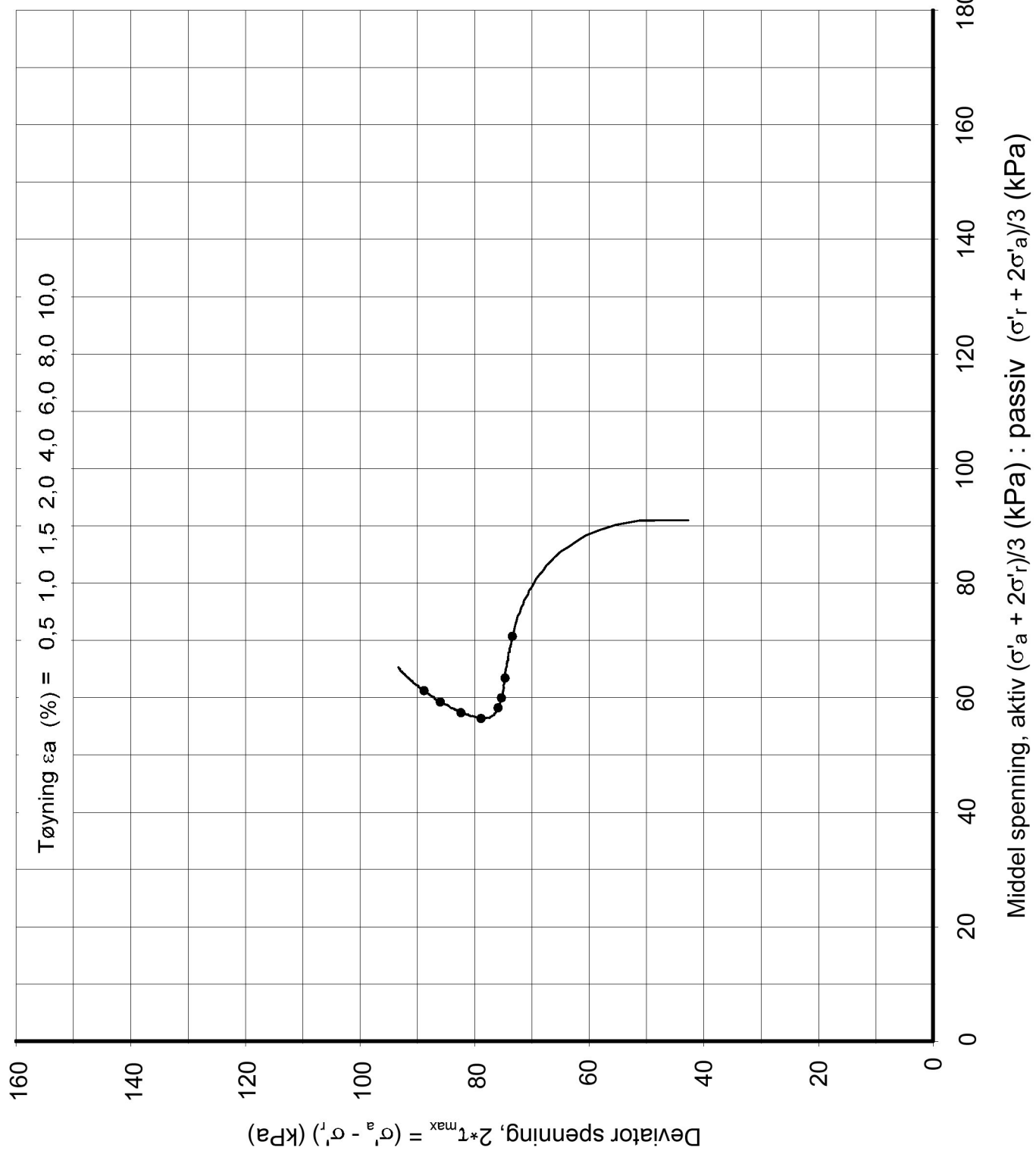
STATENS VEGVESEN REGION VEST

Dato:  
06.07.2017

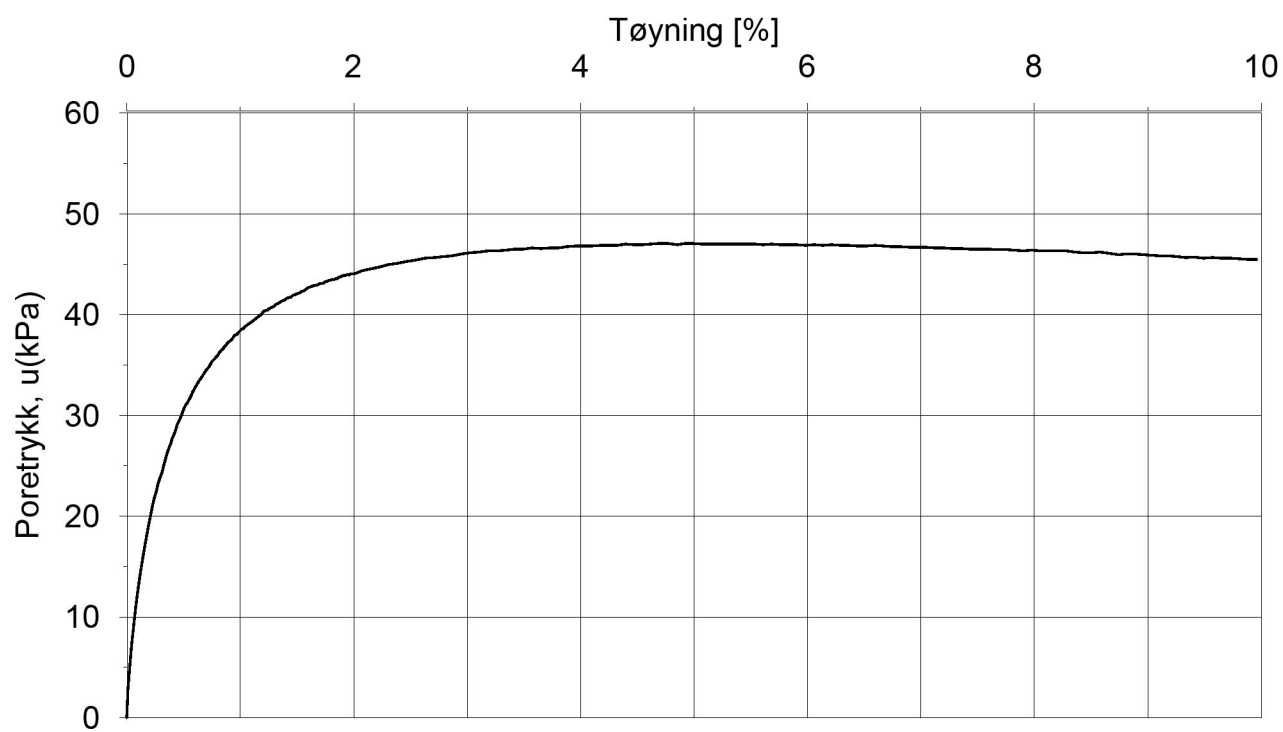
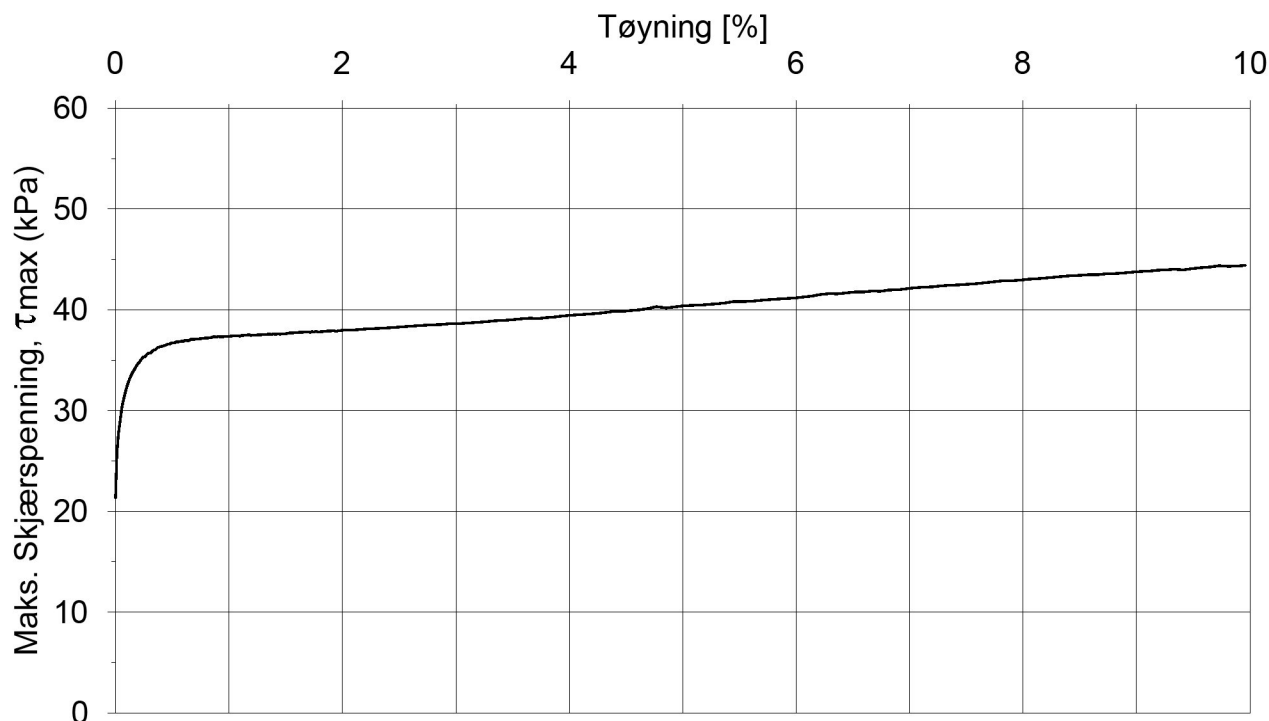
RV. 13 KYRKJESVINGEN



<b>Forsøksdata</b>		$\gamma_i = 19,1 \text{ kN/m}^3$	$\sigma'_{vo} = 120,0 \text{ kPa}$
Dybde:	12,40 m	$\varepsilon_{vol} = \Delta V/V = 5,72 \%$	$\sigma'_{ac} = 119,3 \text{ kPa}$
Gvs. =	2 m	$\Delta e/e_0(-) = 0,119$	$\sigma'_{rc} = 77,4 \text{ kPa}$
Treaksialforsøk CAUa Deviatorspenningsti. NTNU-plott			
Borpunkt: 122			
STATENS VEGVESEN REGION VEST		Dato: 04.07.2017	
RV. 13 KYRKJESVINGEN			
<b>Multiconsult</b> www.multiconsult.no		Tegnet RHS	Kontrollert: SIOR
Oppdragsnr: 617405		Tegning nr.: RIG-TEG-091.1	Godkjent: HST
			Rev nr. 00



<b>Forsøksdata</b>		$\gamma_i = 19,1 \text{ kN/m}^3$	$w_i = 35,2 \%$	$\sigma'_{vo} = 120,0 \text{ kPa}$
Dybde:	12,40 m	$\varepsilon_{vol} = \Delta V/V = 5,72 \%$	$w_f = - \%$	$\sigma'_{ac} = 119,3 \text{ kPa}$
Gvs. =	2 m	$\Delta e/e_0(-) = 0,119$	$w_p = - \%$	$\sigma'_{rc} = 77,4 \text{ kPa}$
Treaksialforsøk CAUa				Borpunkt: 122
STATENS VEGVESEN REGION VEST				Dato: 04.07.2017
RV. 13 KYRKJESVINGEN				
<b>Multiconsult</b> <a href="http://www.multiconsult.no">www.multiconsult.no</a>		Tegnet RHS	Kontrollert: SIOR	Godkjent: HST
Oppdragsnr: 617405		Tegning nr.: RIG-TEG-091.2	Rev nr.: 00	


**Forsøksdata**

$\gamma_i = 19,1 \text{ kN/m}^3$	$w_i = 35,2 \%$	$\sigma'_{vo} = 120,0 \text{ kPa}$
Dybde: 12,40 m	$\varepsilon_{vol} = \Delta V/V = 5,72 \%$	$\sigma'_{ac} = 119,3 \text{ kPa}$
Gvs. = 2 m	$\Delta e/e_0 (-) = 0,119$	$\sigma'_{rc} = 77,4 \text{ kPa}$

**Treaks CAUa Poretrykk- og mobiliseringsforsøk**

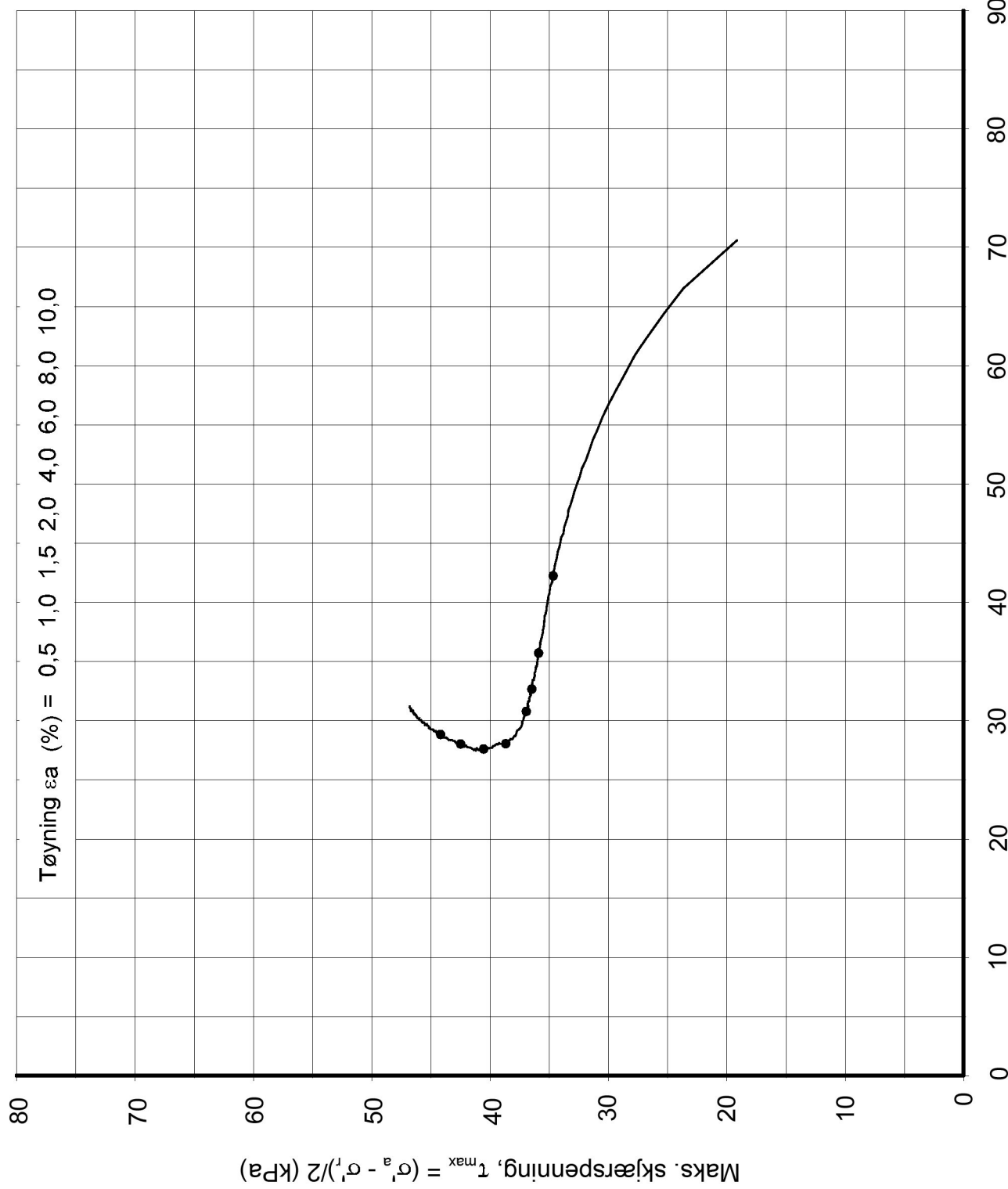
Borpunkt:

122

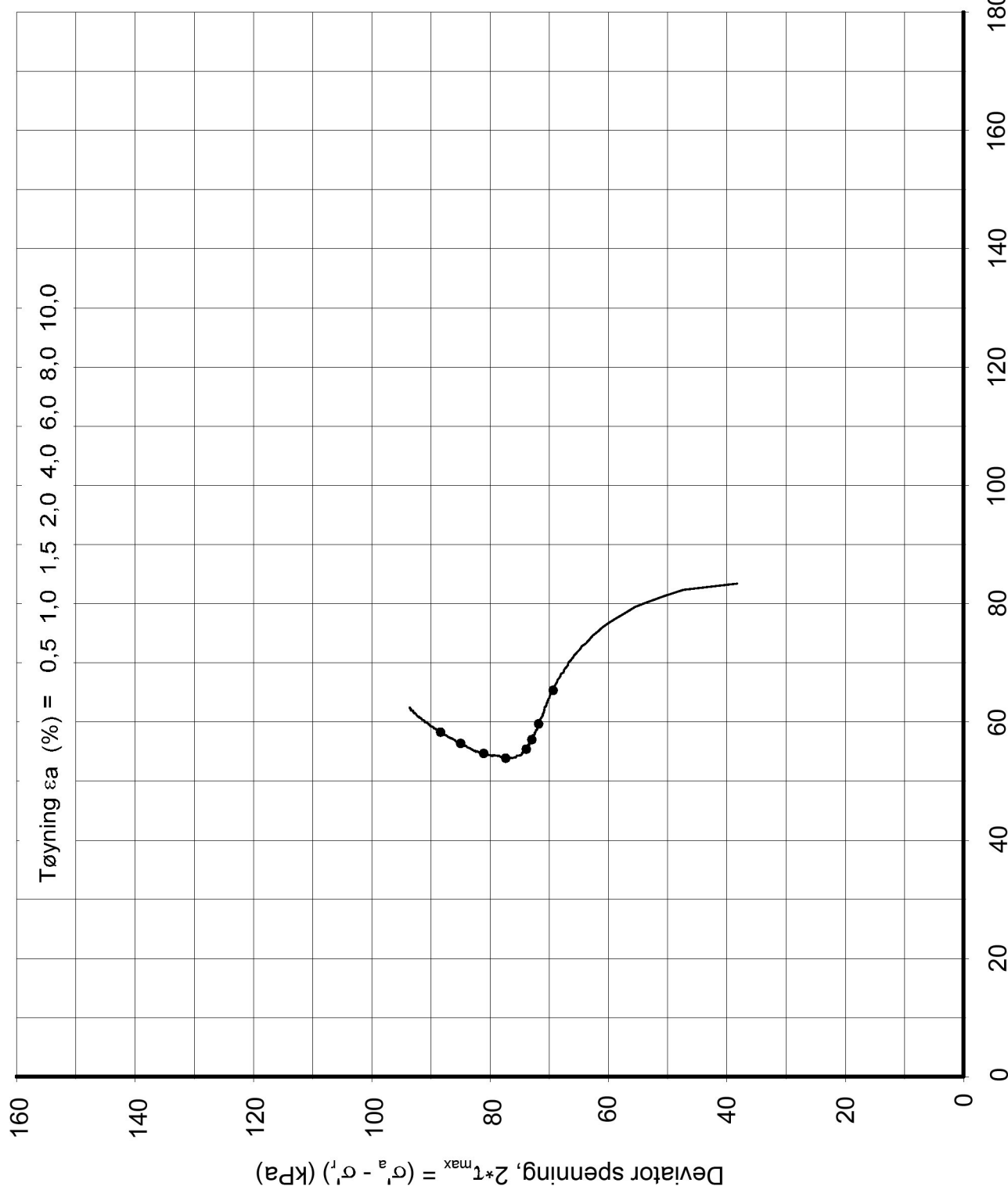
STATENS VEGVESEN REGION VEST

Dato:  
04.07.2017

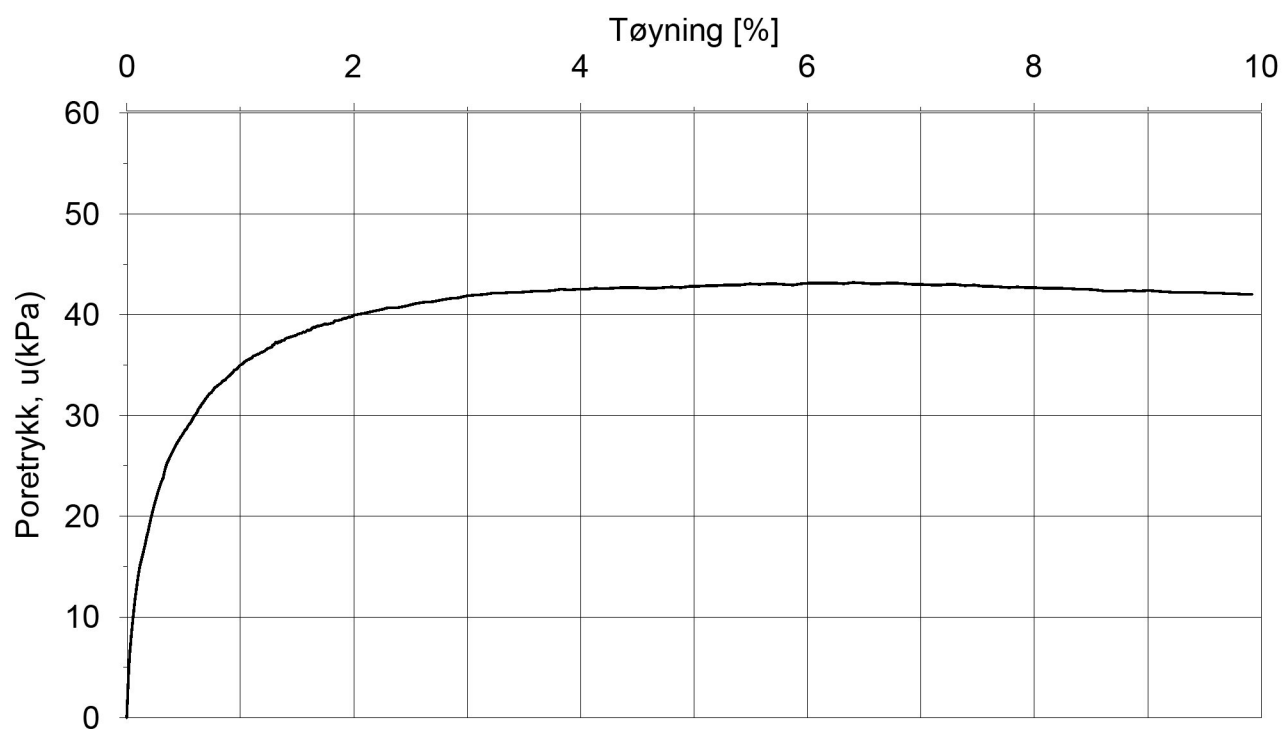
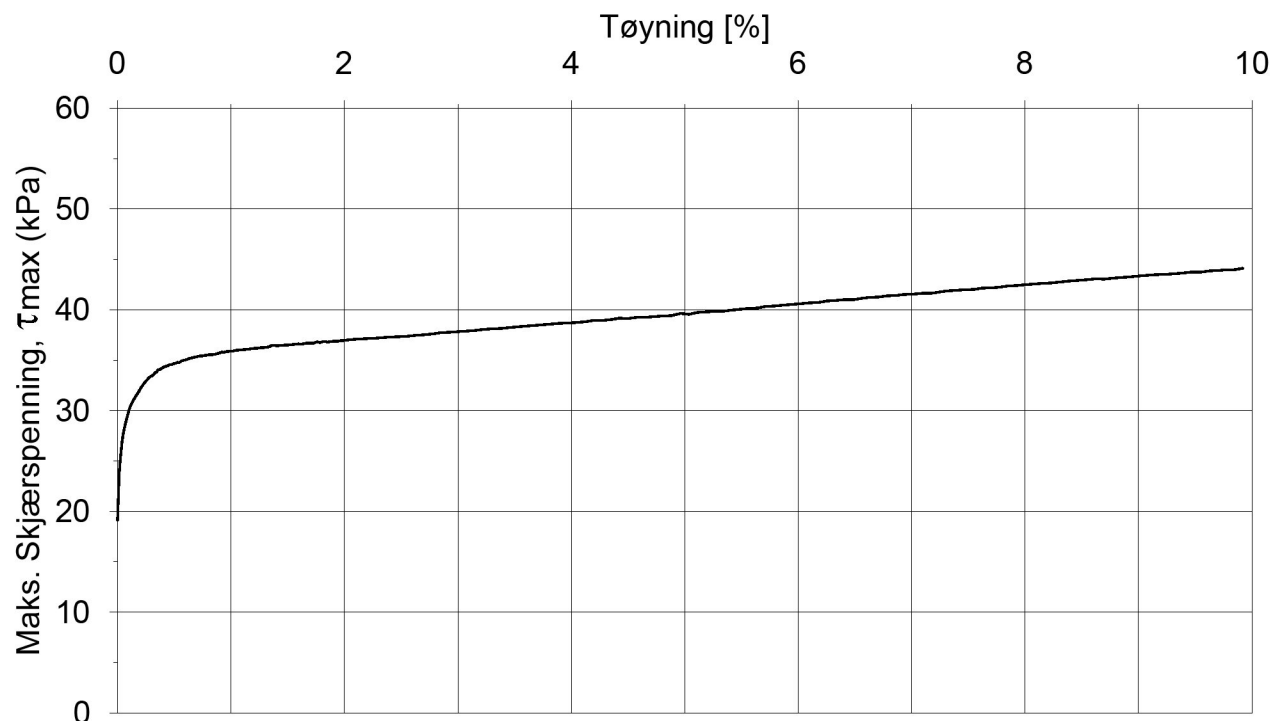
RV. 13 KYRKJESVINGEN



<b>Forsøksdata</b>	$\gamma_i = 18,5 \text{ kN/m}^3$	$w_i = 33,4 \text{ \%}$	$\sigma'_{vo} = 111,0 \text{ kPa}$
Dybde: 11,35 m	$\varepsilon_{vol} = \Delta V/V = 4,69 \text{ \%}$	$w_f = - \text{ \%}$	$\sigma'_{ac} = 110,4 \text{ kPa}$
Gvs. = 2 m	$\Delta e/e_0(-) = 0,097$	$w_p = - \text{ \%}$	$\sigma'_{rc} = 71,8 \text{ kPa}$
Treaksialforsøk CAUa Deviatorspenningst. NTNU-plott			Borpunkt: 133
STATENS VEGVESEN REGION VEST			Dato: 06.07.2017
RV. 13 KYRKJESVINGEN			
<b>Multiconsult</b> www.multiconsult.no	Tegnet RHS	Kontrollert: SIOR	Godkjent: HST
	Oppdragsnr: 617405	Tegning nr.: RIG-TEG-092.1	Rev nr. 00



<b>Forsøksdata</b>		$\gamma_i = 18,5 \text{ kN/m}^3$	$w_i = 33,4 \%$	$\sigma'_{vo} = 111,0 \text{ kPa}$
Dybde:	11,35 m	$\varepsilon_{vol} = \Delta V/V = 4,69 \%$	$w_f = - \%$	$\sigma'_{ac} = 110,4 \text{ kPa}$
Gvs. =	2 m	$\Delta e/e_0 (-) = 0,097$	$w_p = - \%$	$\sigma'_{rc} = 71,8 \text{ kPa}$
Treaksialforsøk CAUa				Borpunkt: 133
STATENS VEGVESEN REGION VEST				Dato: 06.07.2017
RV. 13 KYRKJESVINGEN				
<b>Multiconsult</b> <a href="http://www.multiconsult.no">www.multiconsult.no</a>		Tegnet RHS	Kontrollert: SIOR	Godkjent: HST
Oppdragsnr: 617405		Tegning nr.: RIG-TEG-092.2	Rev nr.: 00	


**Forsøksdata**

$\gamma_i = 18,5 \text{ kN/m}^3$        $w_i = 33,4 \%$        $\sigma'_{vo} = 111,0 \text{ kPa}$   
 Dybde: 11,35 m       $\varepsilon_{vol} = \Delta V/V = 4,69 \%$        $w_f = - \%$        $\sigma'_{ac} = 110,4 \text{ kPa}$   
 Gvs. = 2 m       $\Delta e/e_0 (-) = 0,097$        $w_p = - \%$        $\sigma'_{rc} = 71,8 \text{ kPa}$

**Treaks CAUa Poretrykk- og mobiliseringsforsøk**

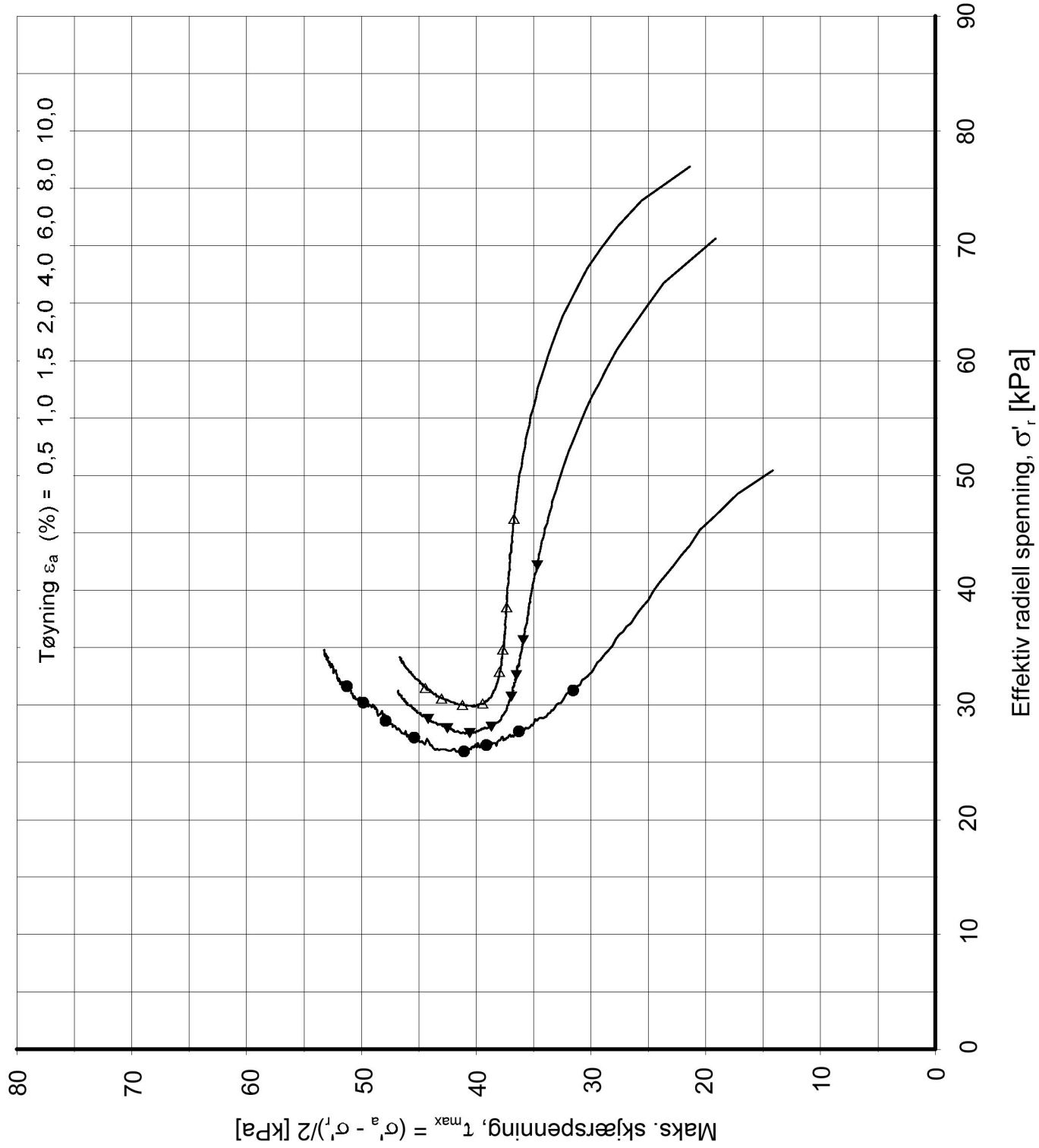
Borpunkt:

133

STATENS VEGVESEN REGION VEST

Dato:  
06.07.2017

RV. 13 KYRKJESVINGEN



Borepunkt (nr.)	Dybde (m)	Prøve Symbol	Type forsøk	$\sigma_{vo}'$ (kPa)	$\sigma_{ac}'$ (kPa)	$\sigma_{rc}'$ (kPa)	$K_0'$ (-)	$\sigma_{ac}'/\sigma_{vo}'$ (-)	$w_i$ (%)	$\rho$ (g/cm <sup>3</sup> )	$\Delta V/V_0$ (%)	$\Delta e/e_0$ (-)
122	7,45	●	CAUa	80,0	76,6	48,7	0,60	0,95	40,0	18,2	3,14	0,060
122	12,40	△	CAUa	120,0	119,3	77,4	0,70	0,99	35,2	19,1	5,72	0,119
133	11,35	▼	CAUa	111,0	110,4	71,8	0,70	0,99	33,4	18,5	4,69	0,097
		+										
		□										
		○										

STATENS VEGVESEN REGION VEST

Dato:  
06.07.2017

RV. 13 KYRKJESVINGEN

<b>Multiconsult</b> www.multiconsult.no	Tegnet: RHS	Kontrollert: SIOR	Godkjent: HST
	Oppdragsnr.: 617405	Tegning nr.: RIG-TEG-093	Rev nr.: 00

## Laboratorieresultater

Prøver analysert av Norconsult, 54 mm

# Laboratorierapport

Gravinsvatnet

5173701

Posisjon 106

Rev.	Dato:	Beskrivelse	Utarbeidet	Fagkontroll	Godkjent
	17.08.17		HiRis	KrRei	HiRis

*Dette dokumentet er utarbeidet av Norconsult AS som del av det oppdraget som dokumentet omhandler. Opphavsretten tilhører Norconsult. Dokumentet må bare benyttes til det formål som oppdragsavtalen beskriver, og må ikke kopieres eller gjøres tilgjengelig på annen måte eller i større utstrekning enn formålet tilsier.*

**INNHOLD .....** **Side****TABELLER**

Tabell 1	Opptatte prøver og laboratoriearbeid .....	3
----------	--	---

**FIGURER**

Figur 1	Enaksiale trykkforsøk .....	4
Figur 2	Bilder av prøvemateriale .....	5
Figur 3	Bilder av brudd ved enaksiale trykkforsøk .....	6

**VEDLEGG**

Aktivt anisotropt treaksialt forsøk, CAUE, dybde 9,4-9,5m
---

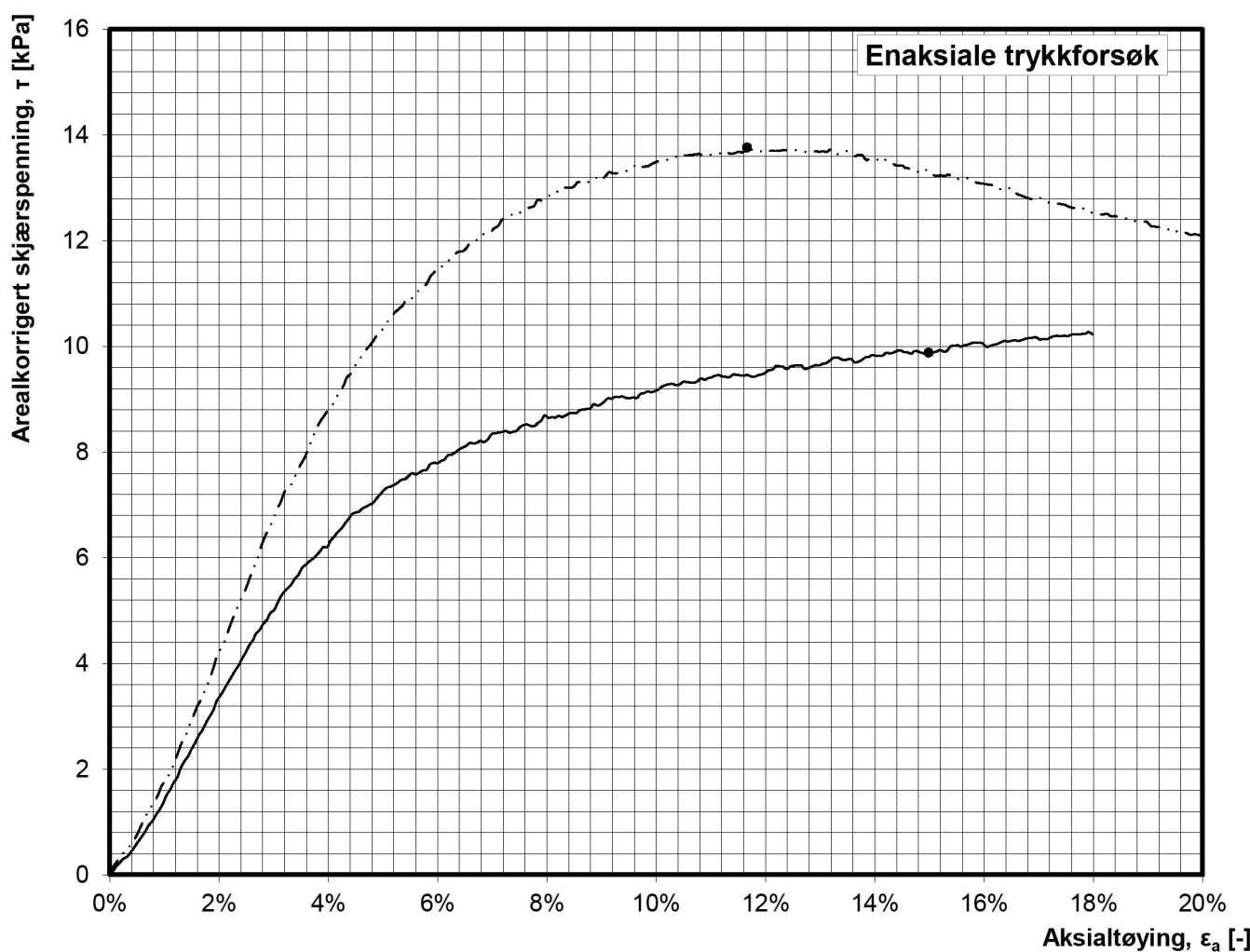
Tabell 1 Opptatte prøver og laboratoriearbeid

Pos. /ID	Type [-]	Dybde [m]	Klassifisering	W [%]	GI [%]	W <sub>P</sub> [%]	W <sub>L</sub> [%]	C <sub>ufc</sub> [kPa]	C <sub>urfc</sub> [kPa]	C <sub>uuc</sub> [kPa]	ε <sub>a</sub> [%]	γ [kN/m <sup>3</sup> ]
106	54	6,0-7,0	Leire									18,2
		6,1-6,2										
		6,2-6,3		46,0			42,2	11,0	1,3			
		6,3-6,4								9,9	15,0	18,4
		6,4-6,5		42,2	1,6	30,2	39,6	12,9	1,6			
		6,5-6,6										
		6,6-6,7										
106	54	9,2-10,0	Leire									18,9
		9,3-9,4										
		9,4-9,5	CAUC									
		9,5-9,6								13,8	11,7	18,6
		9,6-9,7		39,9			36,9	15,2	1,3			
		9,7-9,8										
		9,8-9,9		37,1		24,6	34,8	17,5	1,4			

Jordartsklassifisering er visuelt klassifisert.

#### Symboler:

- 54 mm Uforstyrret 54 mm sylinderprøve
- GI Glødetap
- W Naturlig in-situ  
Vanninnhold
- W<sub>P</sub> Utrullingsgrense / plastisitetsgrense
- W<sub>L</sub> Flytegrense (konus)
- C<sub>ufc</sub> Intakt skjærfasthet  
(konus)
- C<sub>urfc</sub> Omrørt skjærfasthet  
(konus)
- C<sub>uuc</sub> Intakt skjærfasthet  
(enaks)
- ε Aksial bruddtøyning
- γ Tyngdetetthet



## 5173701 Granvinsvatnet

Grunnundersøkelser - laboratorierapport

Figur 1 Enaksiale trykkforsøk

Norconsult 

Målestokk

Utført  
HiRis

Kontrollert  
KrRei

Godkjent  
HiRis

Rapport  
5173701

Format  
A4

Dybde 6,0-7,0 m



Dybde 9,2-10,0 m



## 5173701 Granvinsvatnet

**Norconsult** 

Grunnundersøkelser - laboratorierapport

Figur 2 Bilder av prøvemateriale

Målestokk

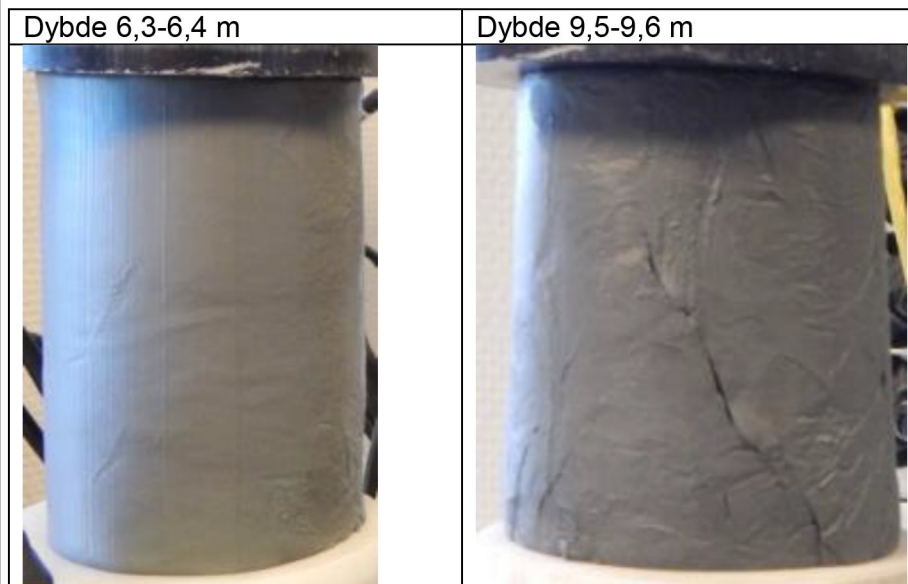
Utført  
HiRis

Kontrollert  
KrRei

Godkjent  
HiRis

Rapport  
5173701

Format  
A4

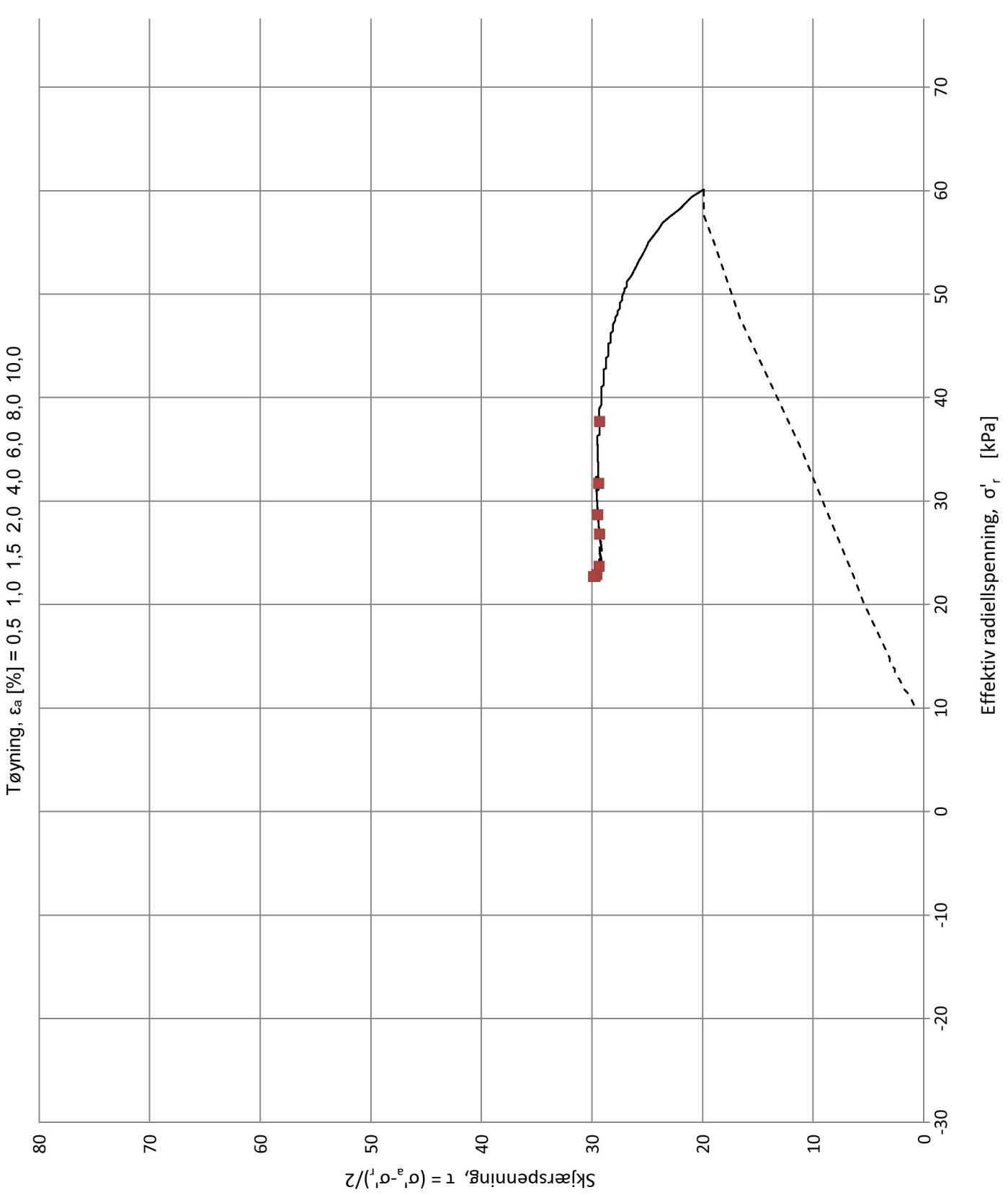
**5173701 Gravinsvatnet**

Grunnundersøkelser - laboratorierapport

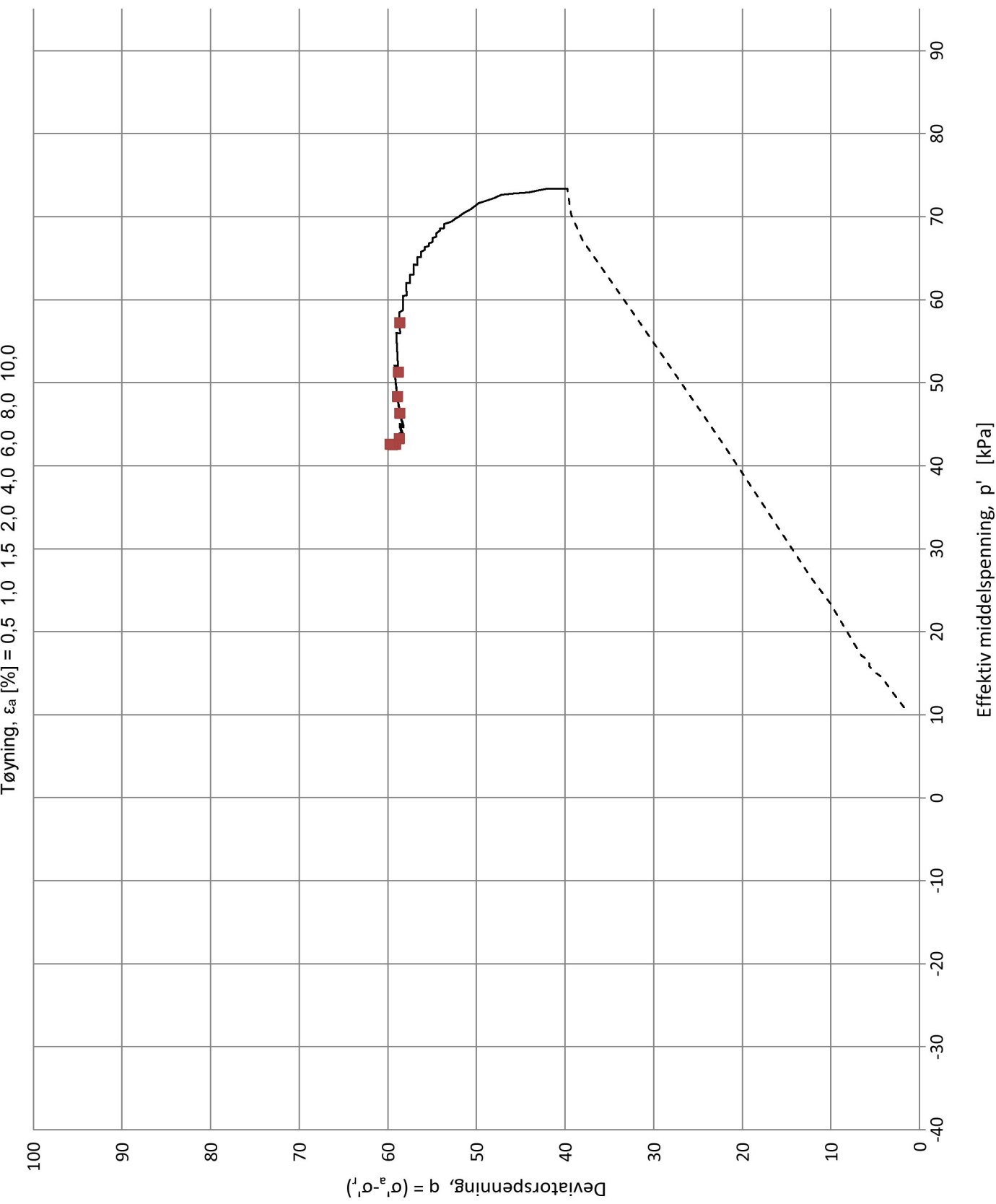
Figur 3 Bilder av brudd ved enaksiale trykkforsøk

Målestokk

Utført  
HiRisKontrollert  
KrReiGodkjent  
HiRisRapport  
5173701Format  
A4



Kunde <b>Statens vegvesen</b>	<b>Norconsult</b> 	
Oppdrag nr. 5173701 Granvinsvatnet	Type CAUc	Posisjon <b>106</b>
Figur nr. 1 Spanningssti i skjærfase (NTNU-plott)	Tyngdetetthet 18,9[kN/m³]	Dybde 9,5[m]
Spanningstilstand etter konsolidering og dokking $\sigma'_{vo} = 94,1\text{[kPa]}$ $\sigma'_{ac} = 99,8\text{ [kPa]}$ $\sigma'_{rc} = 60,1\text{ [kPa]}$	Vanninnhold, $w_i$ 35,7 [%]	Grunnvannstand 1,0[m]
	Volumtøyning, $\epsilon_v$ 3,36[%]	Tøyningshastighet 2,00[%/time]
Utført SyTve	Kontrollert HiRis	Godkjent SHLei
	Rapport 5173701-LAB01	Dato 11.07.17



Kunde

## Statens vegvesen

Oppdrag nr. 5173701  
Gravinsvatnet

**Norconsult**



**106**

Type	CAUc	Posisjon
Tyngdetetthet	18,9 [kN/m³]	Dybde
Vanninnhold, $w_i$	35,7 [%]	Grunnvannstand
Volumtøyning, $\epsilon_v$	3,36 [%]	Tøyningshastighet
Oppdrag nr. 5173701	5173701-LAB01	Dato
Gravinsvatnet	11.07.17	
Figur nr. 2		
Spenningssti i skjærfase (deviator-plott)		
Spenningstilstand etter konsolidering og dokking		
$\sigma'_{vo} = 94,1$ [kPa]		
$\sigma'_{ac} = 99,8$ [kPa]		
$\sigma'_{rc} = 60,1$ [kPa]		

Utført Kontrollert Godkjent Rapport Dato

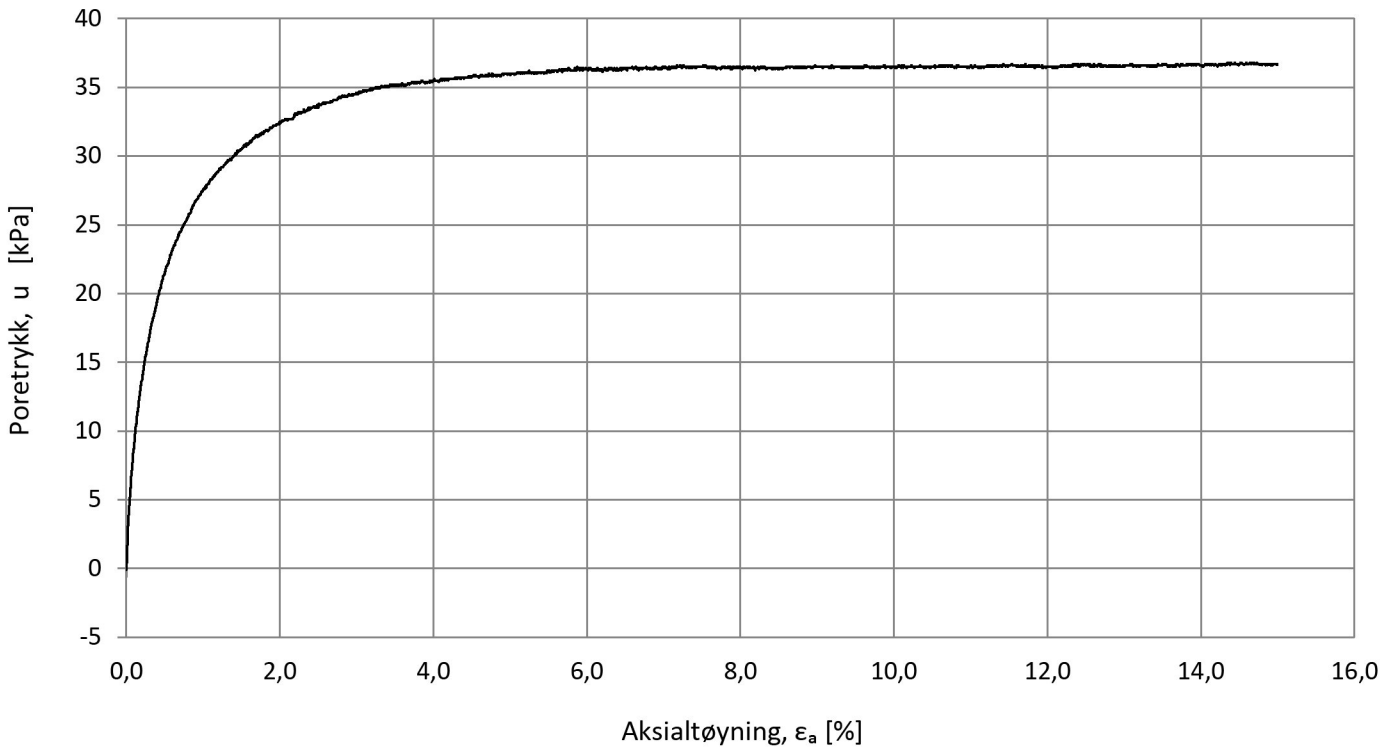
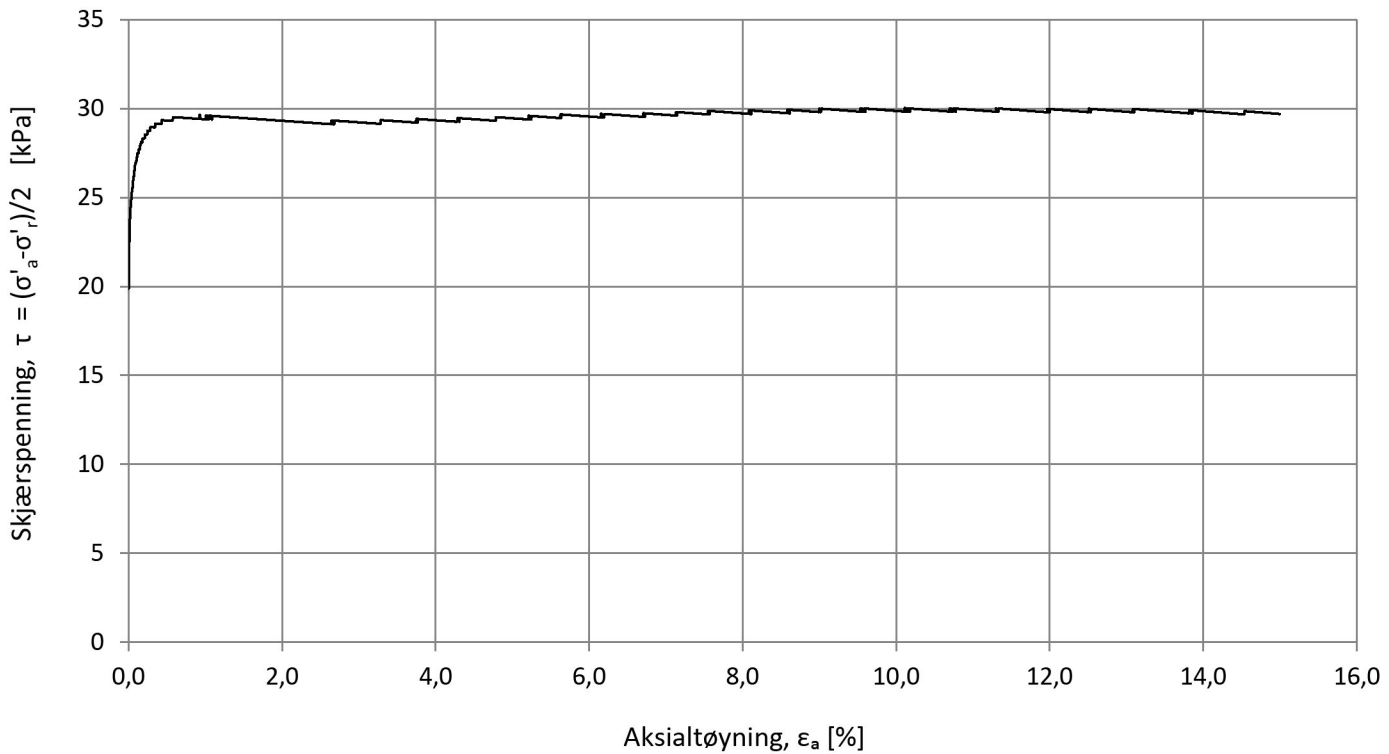
SyTve

HiRis

SHLei

5173701-LAB01

11.07.17



Kunde

**Statens vegvesen**

Oppdrag nr. 5173701

Gravinsvatnet

Figur nr. 3

Bruddutvikling i skjær fase

Spenningstilstand etter konsolidering og dokking

$\sigma'_{vo} = 94,1$  [kPa]

$\sigma'_{ac} = 99,8$  [kPa]

$\sigma'_{rc} = 60,1$  [kPa]

**Norconsult**

Type

CAUc

Posisjon

106

Tyngdetetthet

18,9 [kN/m<sup>3</sup>]

Dybde

9,5 [m]

Vanninnhold,  $w_i$

35,7 [%]

Grunnvannstand

1,0 [m]

Volumtøyning,  $\epsilon_v$

3,36 [%]

Tøyningshastighet

2,00 [%/time]

Utført

SyTve

Kontrollert

HiRis

Godkjent

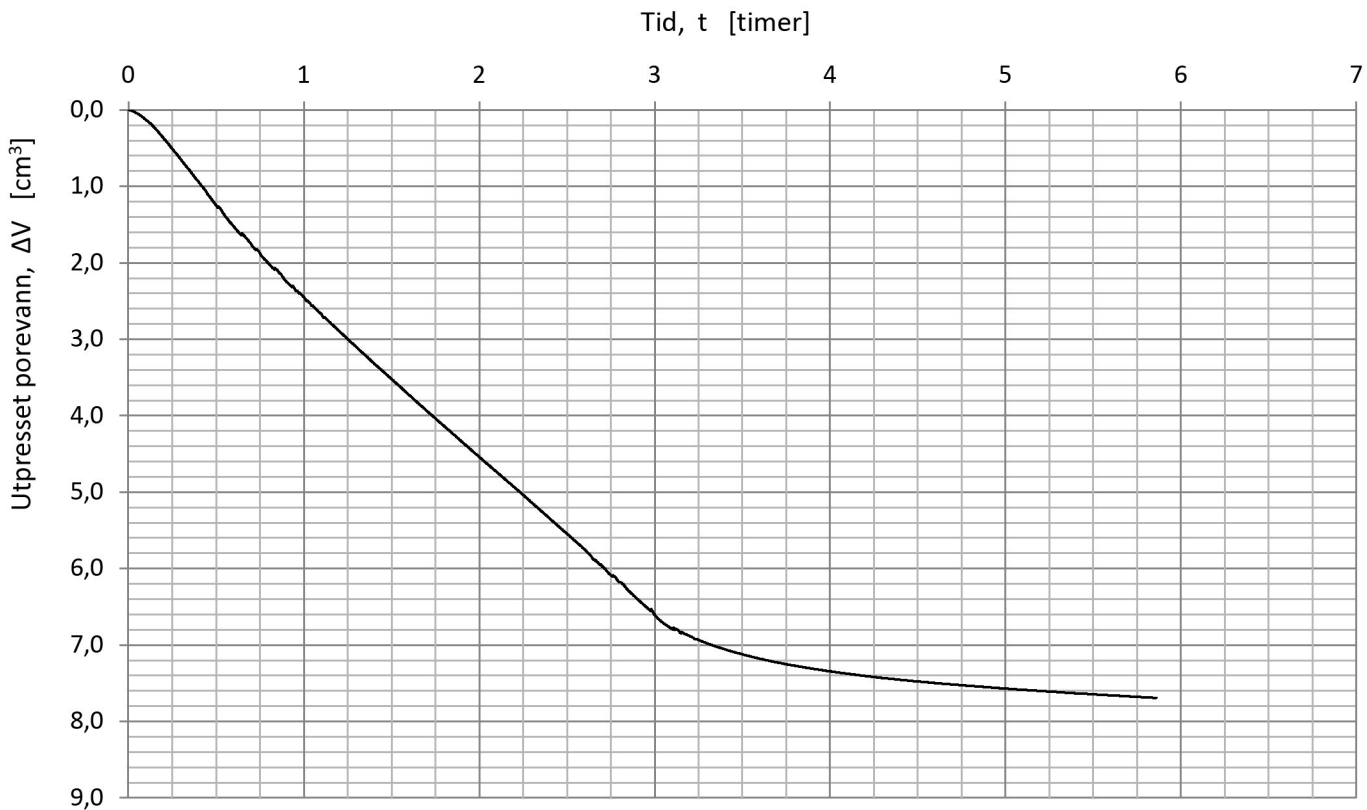
SHLei

Rapport

5173701-LAB01

Dato

11.07.17



Kunde

**Statens vegvesen**

Oppdrag nr. 5173701

Gravinsvatnet

Figur nr. 4

Konsolidering

Spenningstilstand etter konsolidering og dokking

$$\sigma'_{vo} = 94,1 \text{ [kPa]}$$

$$\sigma'_{ac} = 99,8 \text{ [kPa]}$$

$$\sigma'_{rc} = 60,1 \text{ [kPa]}$$

**Norconsult** 

Type	Posisjon
CAUc	106

Tyngdetetthet	Dybde
18,9 [kN/m³]	9,5 [m]

Vanninnhold, w_i	Grunnvannstand
35,7 [%]	1,0 [m]

Volumtøyning, ε_v	Tøyningshastighet
3,36 [%]	2,00 [%/time]

Utført

SyTve

Kontrollert

HiRis

Godkjent

SHLei

Rapport

5173701-LAB01

Dato

11.07.17

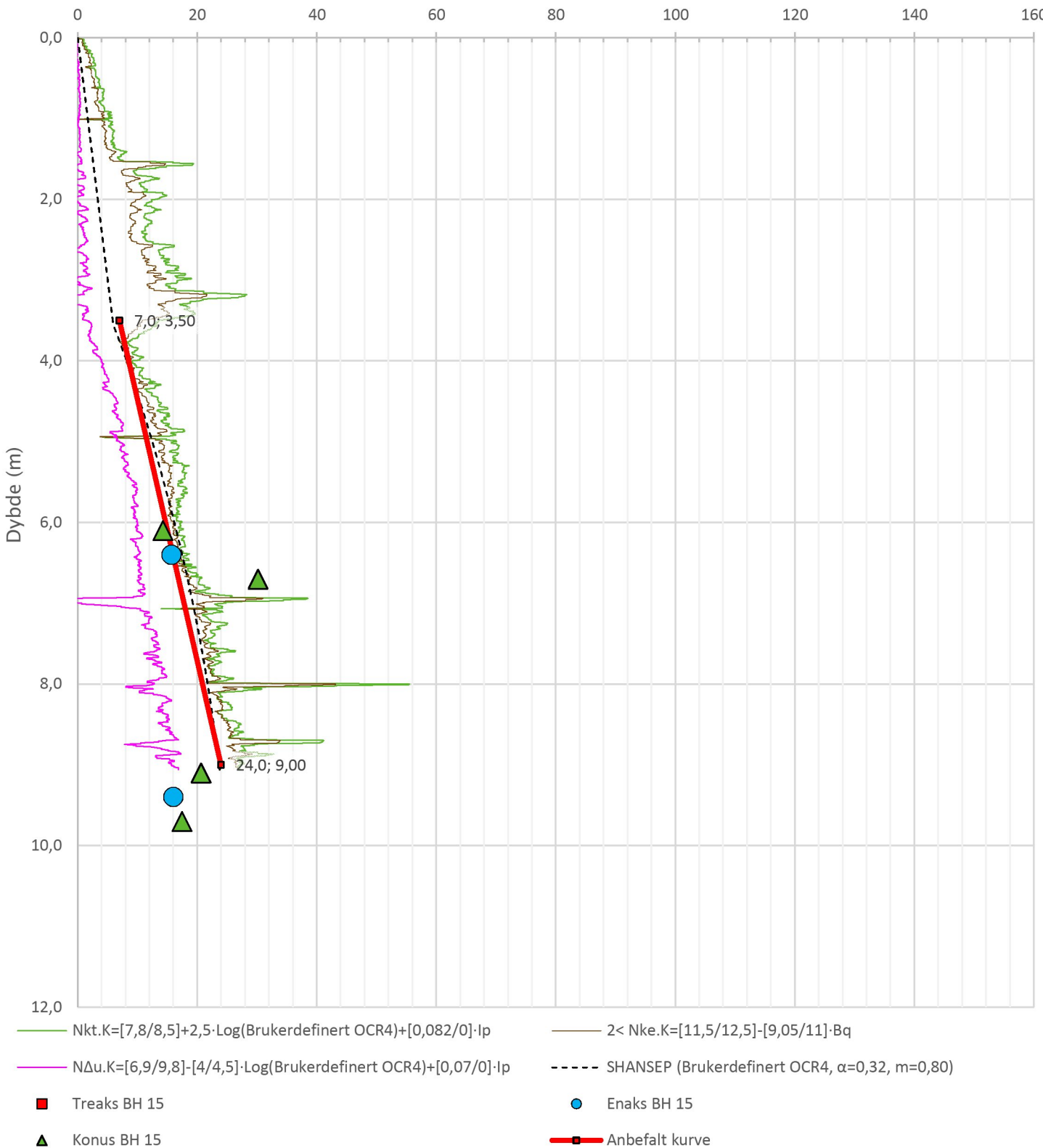
## Tolket $c_u$ -profil CPTU

Anisotropiforhold i figur:

Enaks BH 15: cuuc/cuctu = 0,630

Konus BH 15: cufc/cuctu = 0,630

Udrenert aktiv skjærfasthet,  $c_{ucptu}$  (kPa)



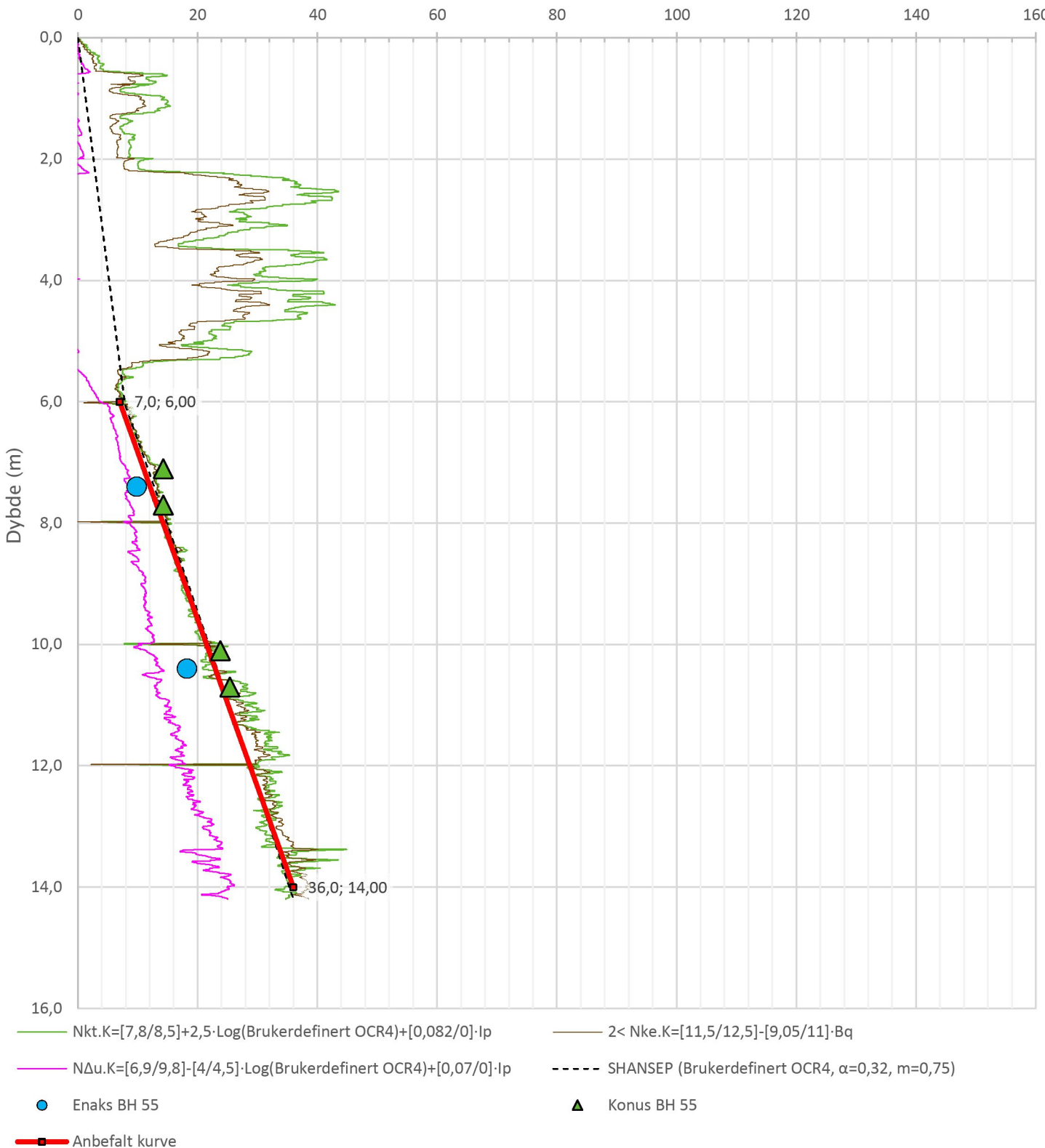
Prosjekt <b>Rv.13 Kyrkjessvingen</b>	Rapportnummer: 30273-GEOT-1	Borhull <b>15</b>		
Innhold		Sondenummer <b>4627</b>		
Tolkning av udrenert aktiv skjærfasthet				
 <b>Statens vegvesen</b>	Utført <b>ROLAAS</b> Region <b>Vegdirektoratet</b>	Kontrollert <b>OISHOL</b> Dato sondering <b>26.06.2017</b>	Godkjent Revisjon Rev. dato	Anvend.klasse <b>1</b> Figur <b>7-1</b>

Anisotropiforhold i figur:

Enaks BH 55: cuuc/cuctu = 0,630

Konus BH 55: cufc/cuctu = 0,630

Udrenert aktiv skjærfasthet,  $c_{ucptu}$  (kPa)



Prosjekt <b>Rv.13 Kyrkjessvingen</b>	Rapportnummer: 30273-GEOT-1	Borhull <b>55</b>
Innhold		Sondenummer <b>4627</b>
Tolkning av udrenert aktiv skjærfasthet		
 <b>Statens vegvesen</b>	Utført <b>OISHOL</b> Region <b>Vest</b>	Kontrollert Dato sondering <b>28.06.2017</b> Godkjent Revisjon Rev. dato
		Anvend.klasse <b>2</b>
		Figur <b>7-2</b>

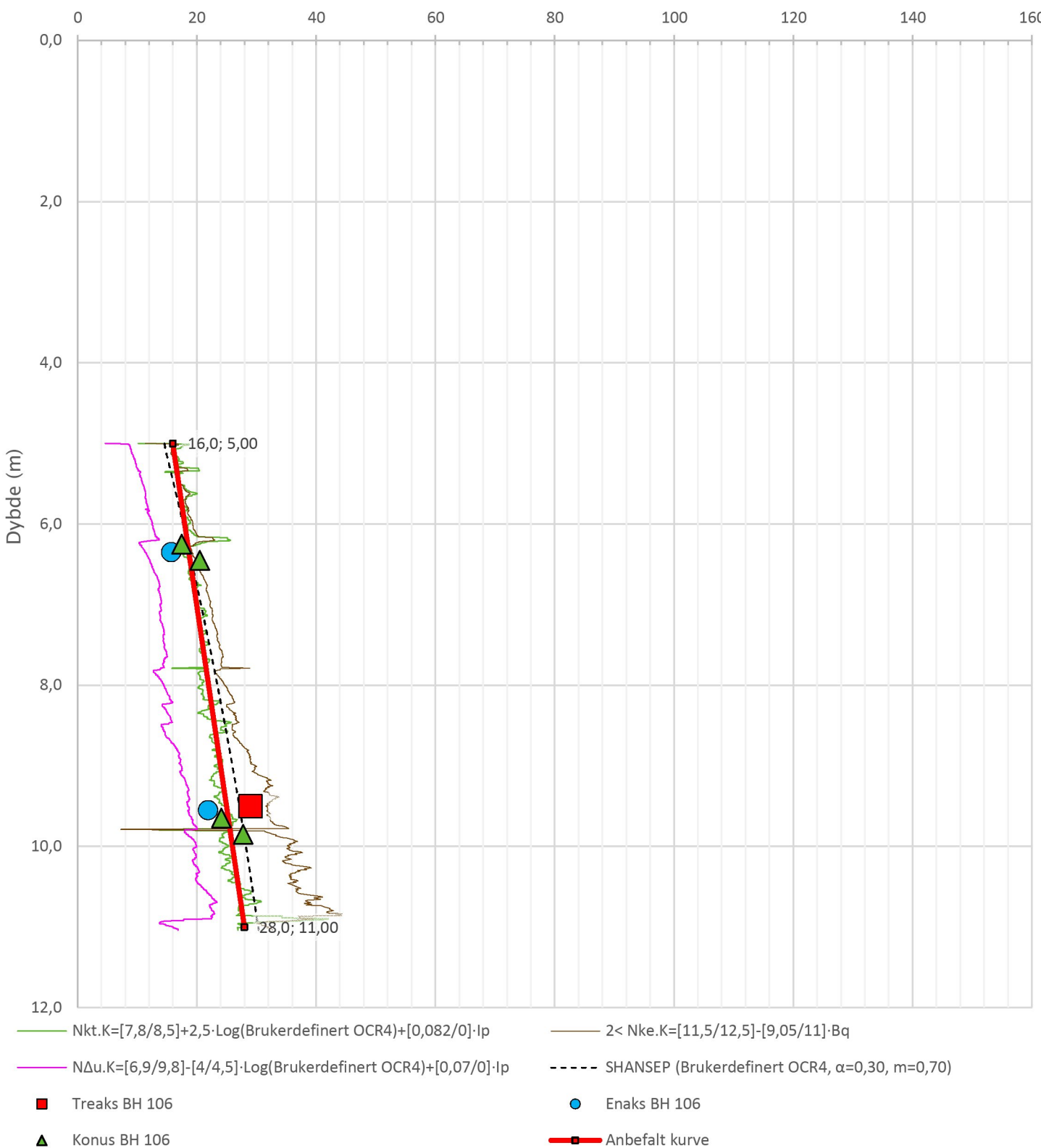
Anisotropiforhold i figur:

Treks BH 106: cuC/cucptu = 1,000

Enaks BH 106: cuuc/cucptu = 0,630

Konus BH 106: cufc/cucptu = 0,630

Udrenert aktiv skjærfasthet,  $c_{ucptu}$  (kPa)



Prosjekt <b>Rv.13 Kyrkjessvingen</b>	Rapportnummer: 30273-GEOT-1	Borhull <b>106</b>		
Innhold		Sondenummer <b>4775</b>		
Tolkning av udrenert aktiv skjærfasthet				
 <b>Statens vegvesen</b>	Utført <b>ROLAAS</b> Region <b>Vegdirektoratet</b>	Kontrollert <b>OISHOL</b> Dato sondering <b>21.06.2017</b>	Godkjent Revisjon Rev. dato	Anvend.klasse <b>2</b> Figur <b>7-3</b>

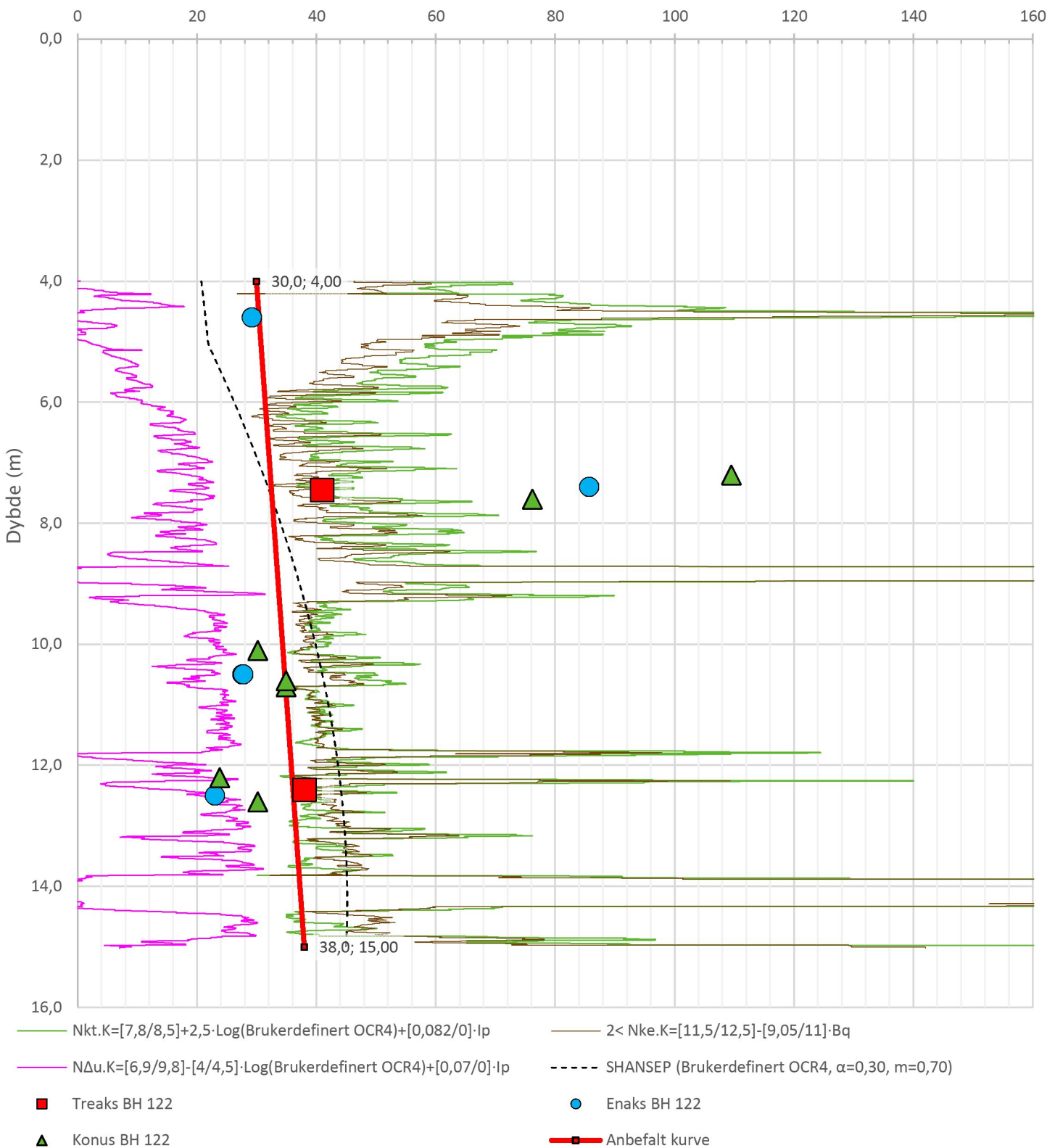
Anisotropiforhold i figur:

Treks BH 122: cuC/cucptu = 1,000

Enaks BH 122: cuuc/cucptu = 0,630

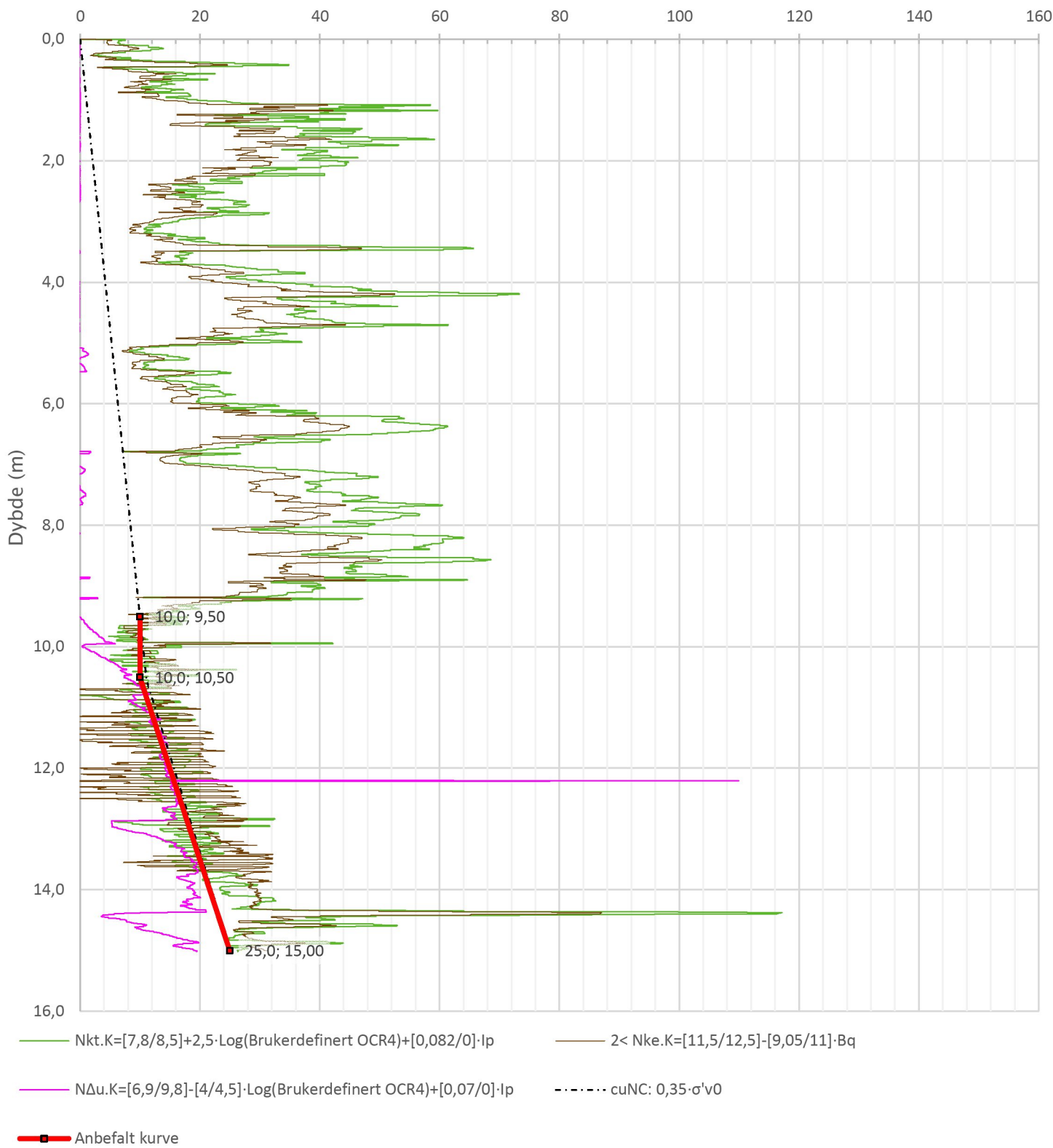
Konus BH 122: cufc/cucptu = 0,630

Udrenert aktiv skjærfasthet,  $c_{ucptu}$  (kPa)



Prosjekt <b>Rv.13 Kyrkjessvingen</b>	Rapportnummer: 30273-GEOT-1	Borhull <b>122</b>
Innhold		Sondenummer <b>4775</b>
Tolkning av udrenert aktiv skjærfasthet		
 <b>Statens vegvesen</b>	Utført <b>ROLAAS</b> Region <b>Vegdirektoratet</b>	Kontrollert <b>OISHOL</b> Dato sondering <b>13.06.2017</b>
	Godkjent	Anvend.klasse <b>1</b>
	Revisjon	Figur <b>7-4</b>
	Rev. dato	

Udrenert aktiv skjærfasthet,  $c_{ucptu}$  (kPa)



Prosjekt <b>Rv.13 Kyrkjessvingen</b>	Rapportnummer: 30273-GEOT-1	Borhull <b>130</b>		
Innhold		Sondenummer <b>4627</b>		
Tolkning av udrenert aktiv skjærfasthet				
 <b>Statens vegvesen</b>	Utført <b>ROLAAS</b> Region <b>Vegdirektoratet</b>	Kontrollert <b>OISHOL</b> Dato sondering <b>21.06.2017</b>	Godkjent 	Anvend.klasse <b>1</b>
			Revisjon 	Figur <b>7-5</b>
			Rev. dato 	

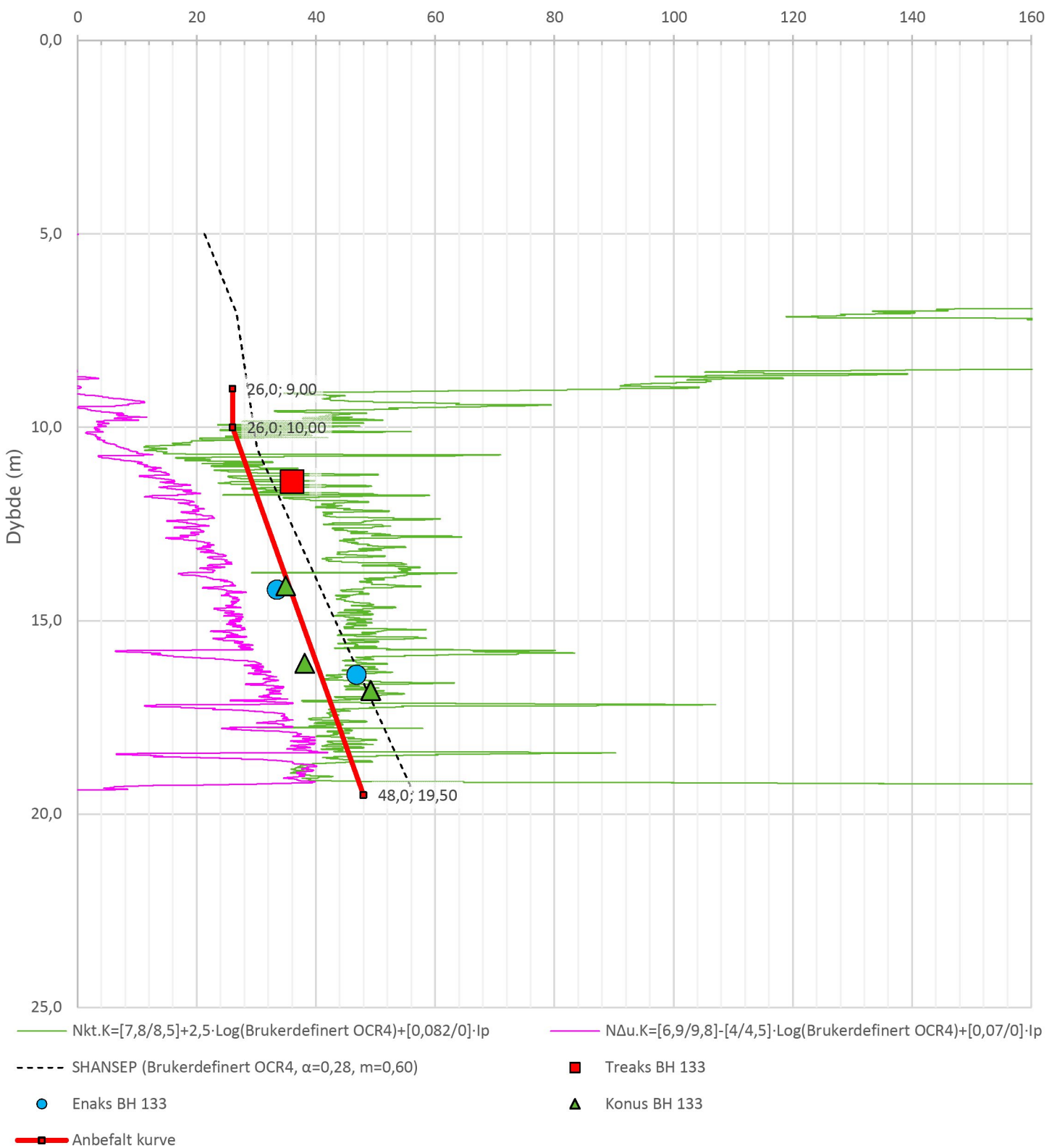
Anisotropiforhold i figur:

Treks BH 133: cuC/cucptu = 1,000

Enaks BH 133: cuuc/cucptu = 0,630

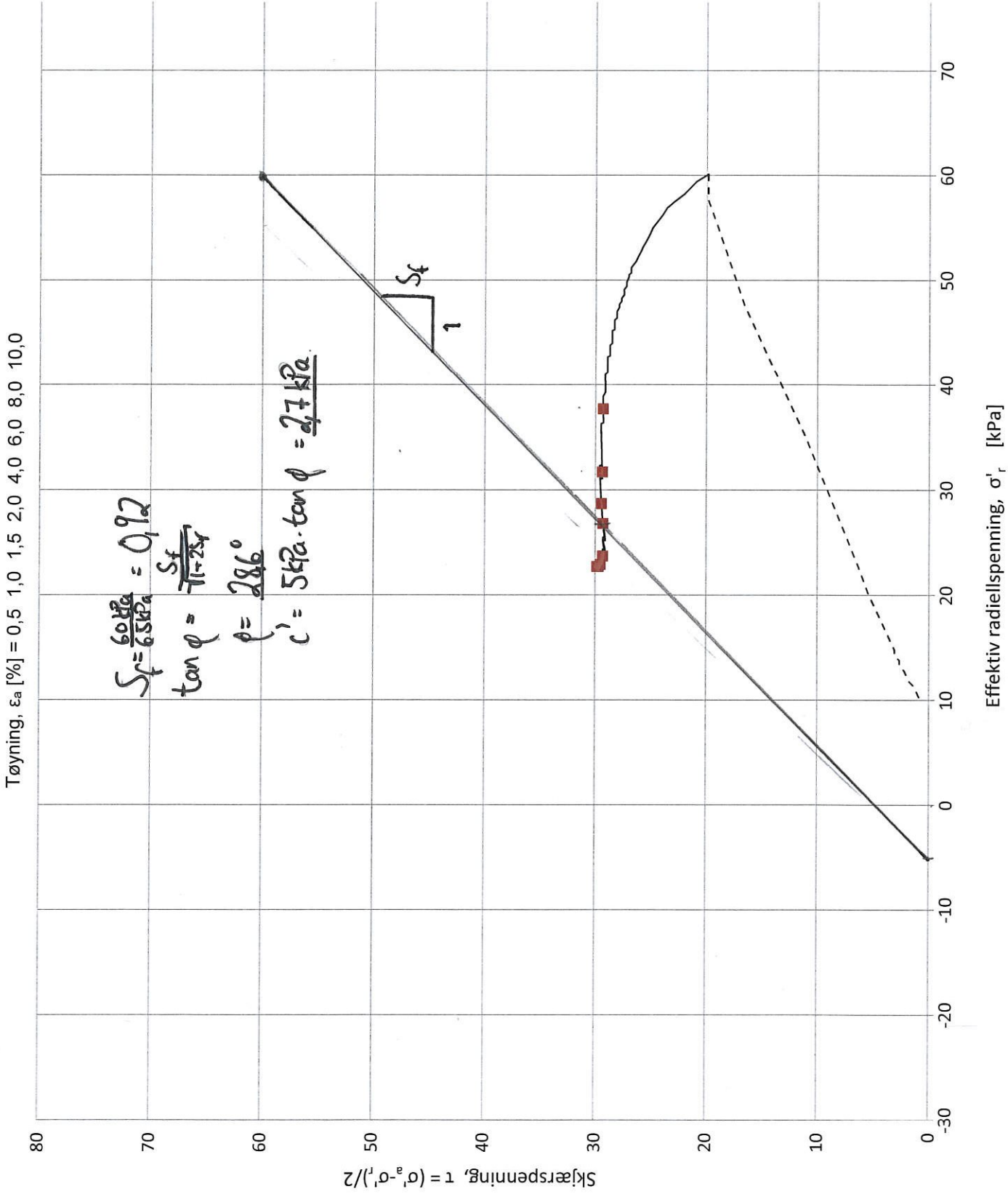
Konus BH 133: cufc/cucptu = 0,630

Udrenert aktiv skjærfasthet,  $c_{ucptu}$  (kPa)



Prosjekt <b>Rv. 13 Kykrjesvingen</b>	Rapportnummer: 30273-GEOT-1	Borhull <b>133</b>		
Innhold		Sondenummer <b>4775</b>		
Tolkning av udrenert aktiv skjærfasthet				
 <b>Statens vegvesen</b>	Utført <b>ROLAAS</b> Region <b>Vegdirektoratet</b>	Kontrollert <b>OISHOL</b> Dato sondering <b>20.06.2017</b>	Godkjent 	Anvend.klasse <b>1</b>
			Revisjon Rev. dato	Figur <b>7-6</b>

## Tolket treaksialforsøk



Kunde

**Statens vegvesen**

Oppdrag nr. 5173701

Granvinsvatnet

Figur nr. 1

Spenningssti i skjærfase (NTNU-plott)

Spenninstitstand etter konsolidering og dokking

$$\sigma'_{vo} = 94,1 \text{ [kPa]}$$

$$\sigma'_{ac} = 99,8 \text{ [kPa]}$$

$$\sigma'_{rc} = 60,1 \text{ [kPa]}$$

**Norconsult** 

Type	Posisjon
CAUc	106
Tyngdetetthet	Dybde
18,9 [kN/m³]	9,5 [m]
Vanninnhold, w_i	Grunnvannstand
35,7 [%]	1,0 [m]
Volumtøyning, ε_v	Tøyningshastighet
3,36 [%]	2,00 [%/time]

Utført

SyTve

Kontrollert

HiRis

Godkjent

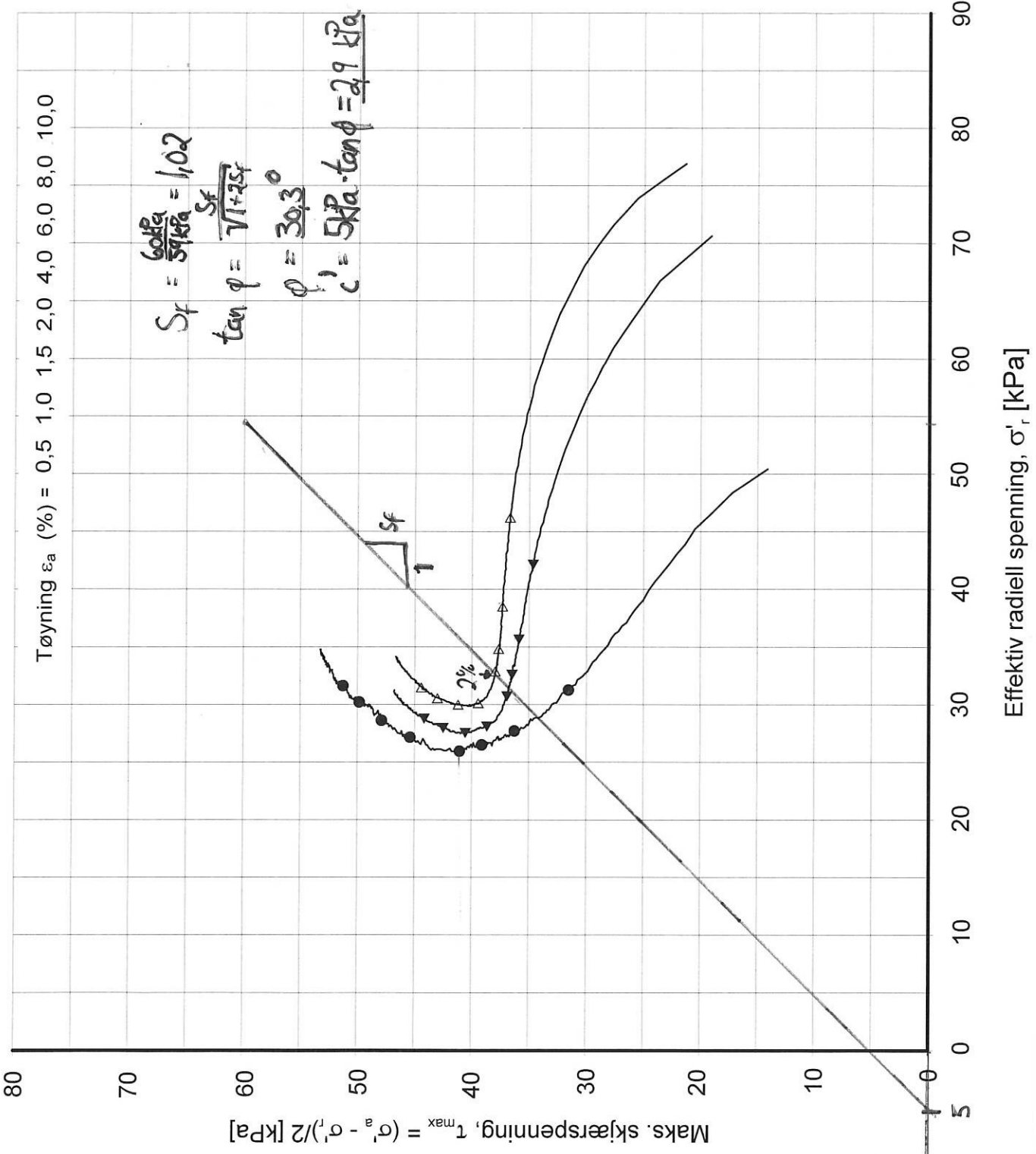
SHLei

Rapport

5173701-LAB01

Dato

11.07.17



Borepunkt (nr.)	Dybde (m)	Prøve Symbol	Type forsøk	$\sigma'_a$ (kPa)	$\sigma_{ac}$ (kPa)	$\sigma_{rc}$ (kPa)	$K_0$ (-)	$\sigma_{a_c}/\sigma_{v_0}$ (-)	$w_i$ (%)	$\rho$ (g/cm³)	$\Delta V/V_0$ (%)	$\Delta \epsilon/\epsilon_0$ (-)
122	7,45	●	CAUa	80,0	76,6	48,7	0,60	0,95	40,0	18,2	3,14	0,060
122	12,40	△	CAUa	120,0	119,3	77,4	0,70	0,99	35,2	19,1	5,72	0,119
133	11,35	▼	CAUa	111,0	110,4	71,8	0,70	0,99	33,4	18,5	4,69	0,097
		+										
		□										
		○										

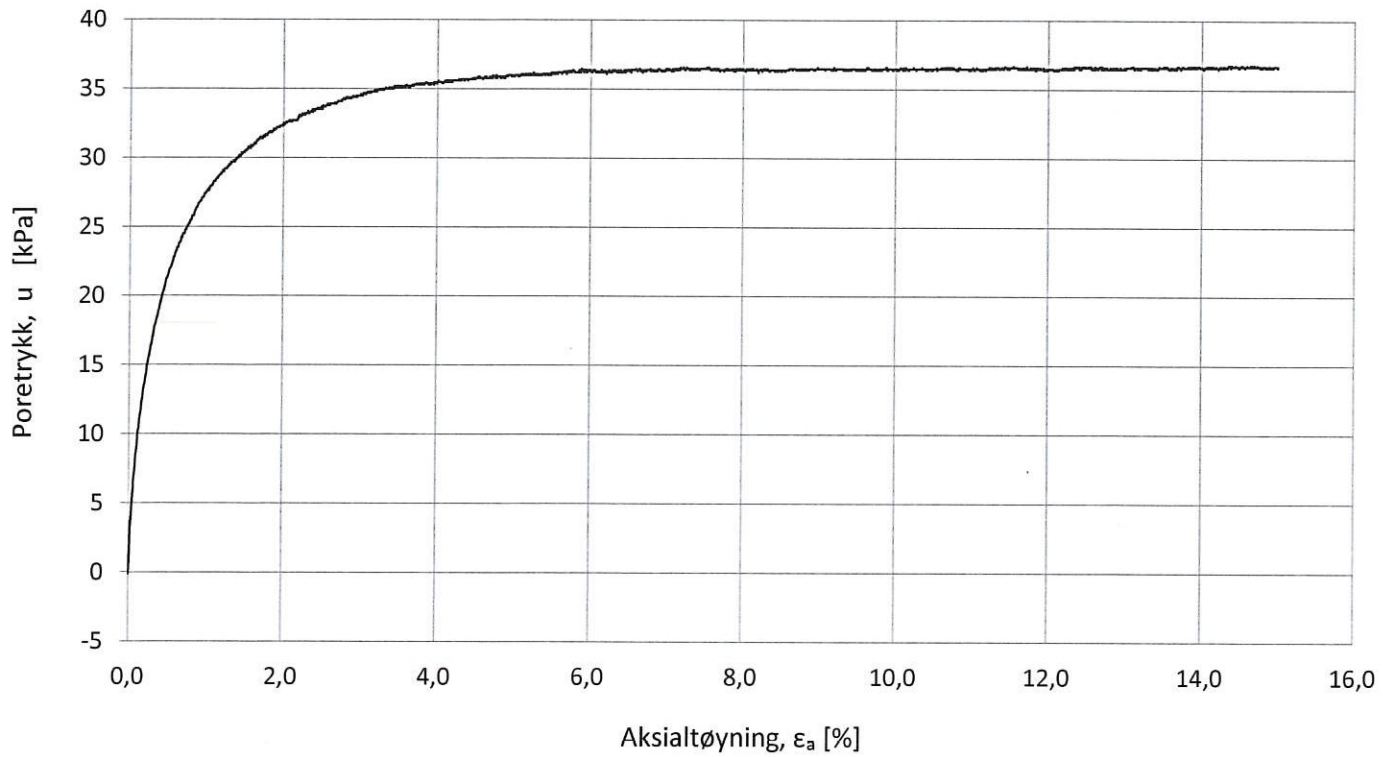
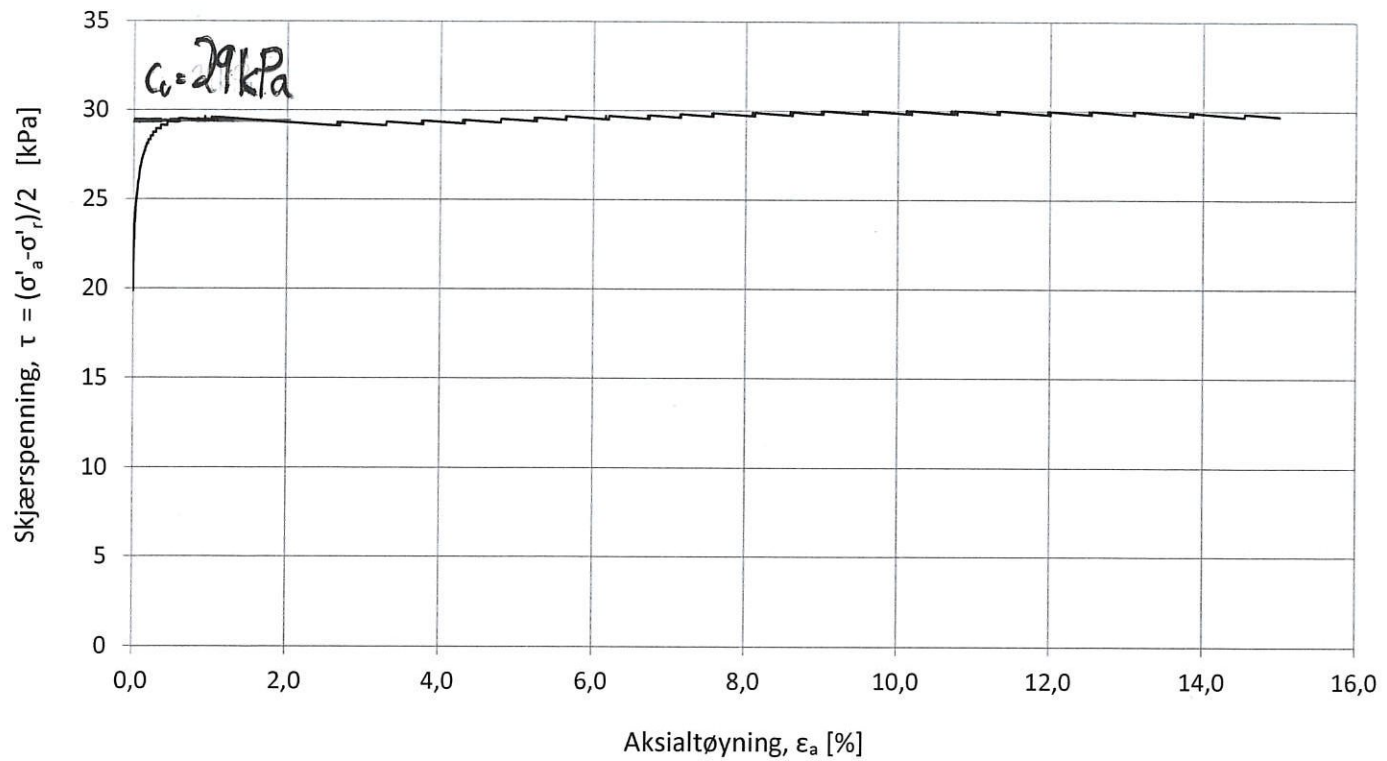
STATENS VEGVESEN REGION VEST

Dato:  
06.07.2017

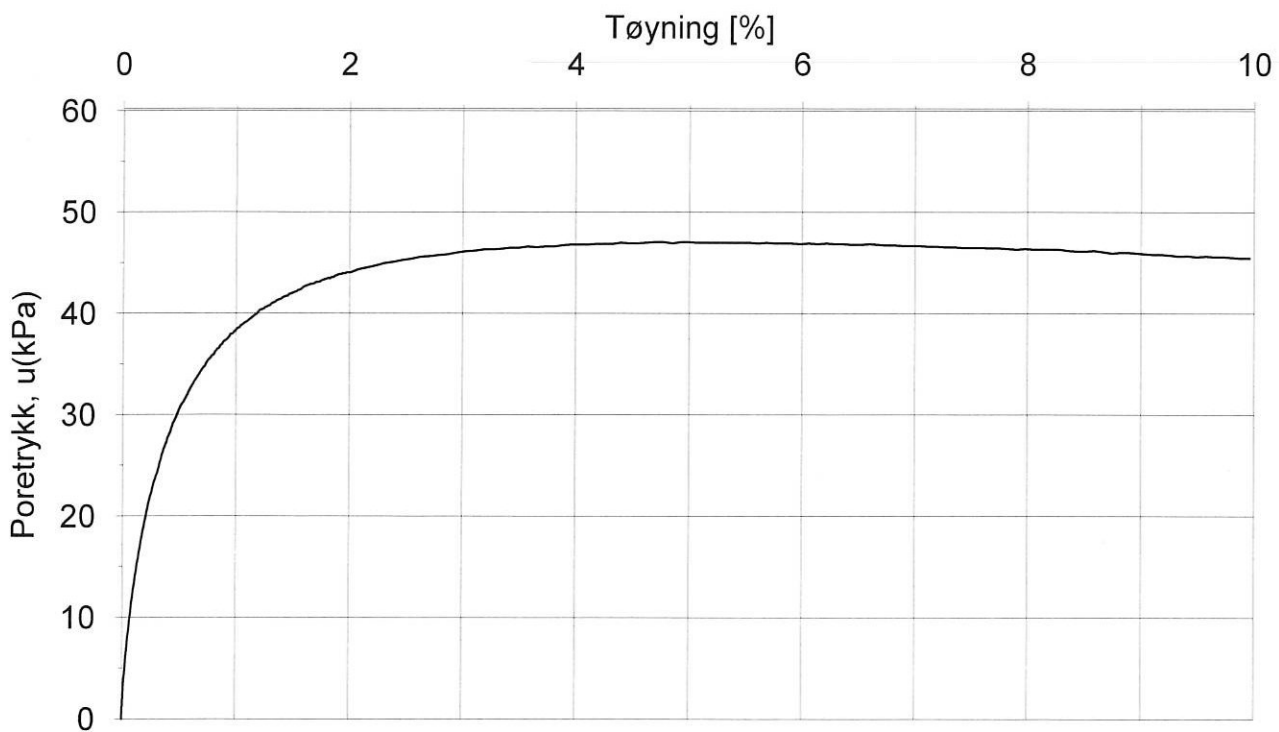
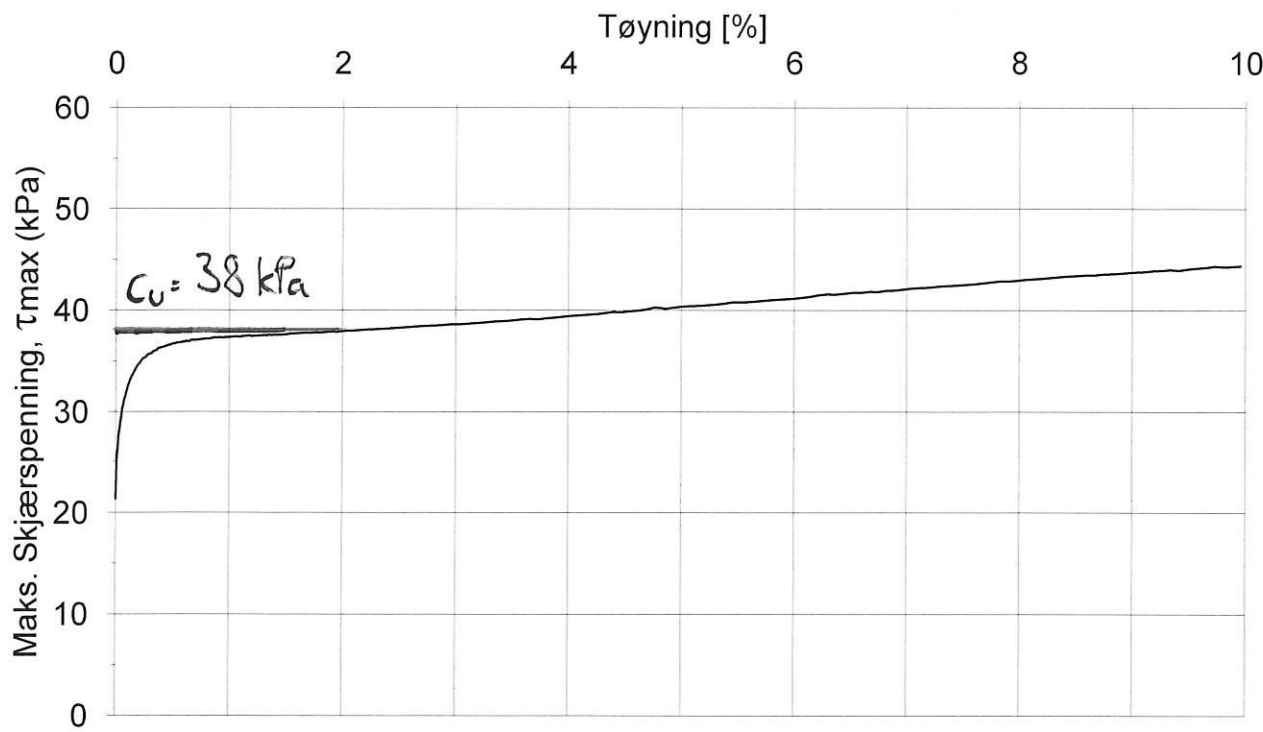
RV. 13 KYRKJESVINGEN

**Multiconsult**  
www.multiconsult.no

Tegnet: RHS	Kontrollert: SIOR	Godkjent: HST
Oppdragsnr: 617405	Tegning nr.: RIG-TEG-093	Rev nr. 00



Kunde <b>Statens vegvesen</b>	<b>Norconsult</b>	
Oppdrag nr. 5173701 <b>Granvinsvatnet</b>	Type CAUc	Posisjon <b>106</b>
Figur nr. 3 <b>Bruddutvikling i skjærfase</b>	Tyngdetetthet 18,9[kN/m³]	Dybde 9,5[m]
Spanningstilstand etter konsolidering og dokking $\sigma'_{vo} = 94,1[\text{kPa}]$ $\sigma'^{ac} = 99,8 [\text{kPa}]$ $\sigma'^r_c = 60,1 [\text{kPa}]$	Vanninnhold, $w_i$ 35,7 [%]	Grunnvannstand 1,0[m]
	Volumtøyning, $\epsilon_v$ 3,36[%]	Tøyningshastighet 2,00[%/time]
Utført <b>SyTve</b>	Kontrollert <b>HiRis</b>	Godkjent <b>SHLei</b>
Rapport 5173701-LAB01	Dato 11.07.17	



#### Forsøksdata

Dybde:	12,40 m	$\gamma_i = 19,1 \text{ kN/m}^3$	$w_i = 35,2 \%$	$\sigma'_{vo} = 120,0 \text{ kPa}$
Gvs. =	2 m	$\epsilon_{vol} = \Delta V/V = 5,72 \%$	$w_f = - \%$	$\sigma'_{ac} = 119,3 \text{ kPa}$
		$\Delta e/e_0 (-) = 0,119$	$w_p = - \%$	$\sigma'_{rc} = 77,4 \text{ kPa}$

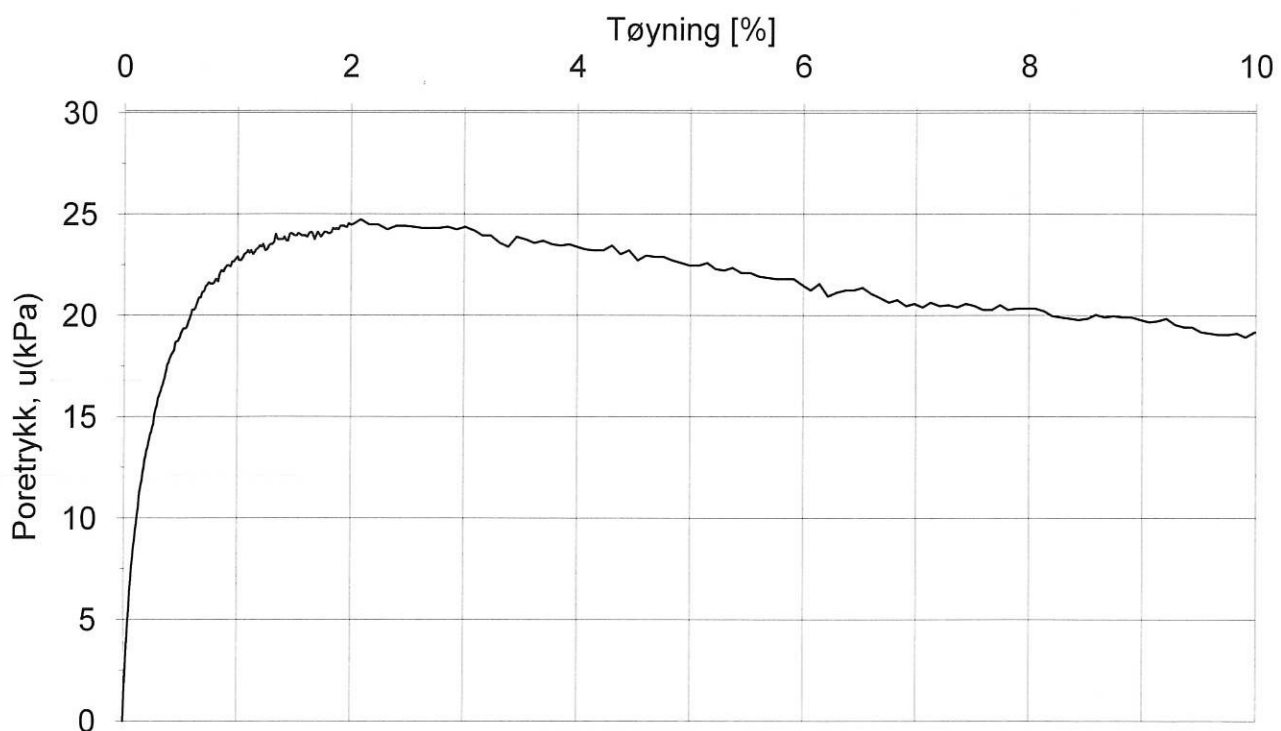
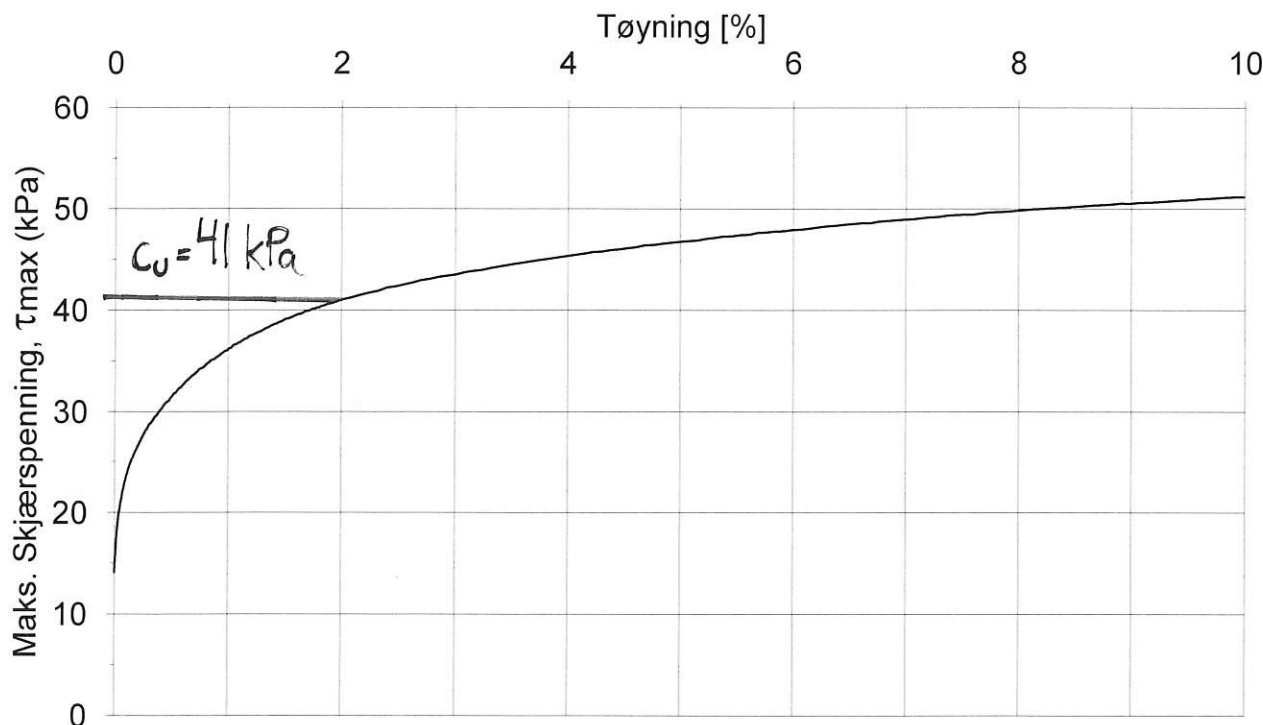
Treaks CAUa Poretrykk- og mobiliseringsforsøk

Borpunkt:  
122

STATENS VEGVESEN REGION VEST

Dato:  
04.07.2017

RV. 13 KYRKJESVINGEN



#### Forsøksdata

Dybde:	7,45 m	$\gamma_i = 18,2 \text{ kN/m}^3$	$w_i = 40,0 \%$	$\sigma'_{vo} = 80,0 \text{ kPa}$
Gvs. =	2 m	$\epsilon_{vol} = \Delta V/V = 3,14 \%$	$w_f = - \%$	$\sigma'_{ac} = 76,6 \text{ kPa}$
		$\Delta e/e_0 (-) = 0,060$	$w_p = - \%$	$\sigma'_{rc} = 48,7 \text{ kPa}$

Treaks CAUa Poretrykk- og mobiliseringsforsøk

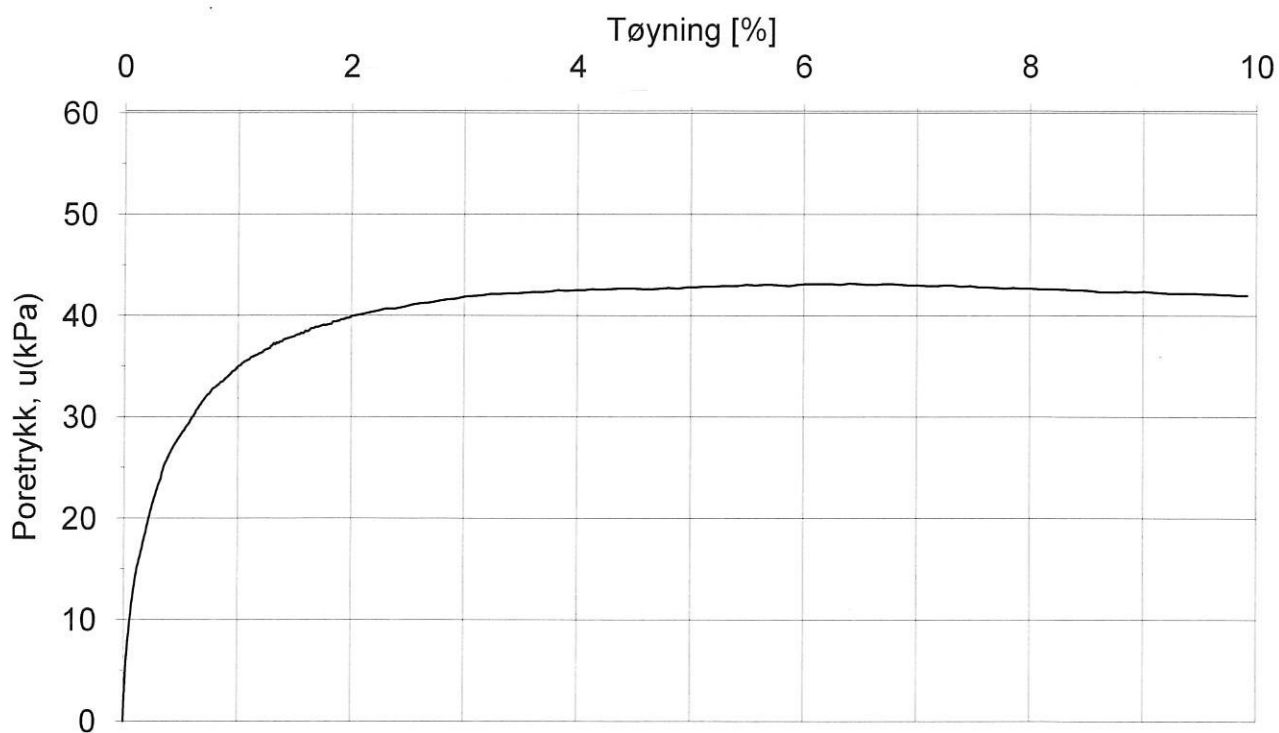
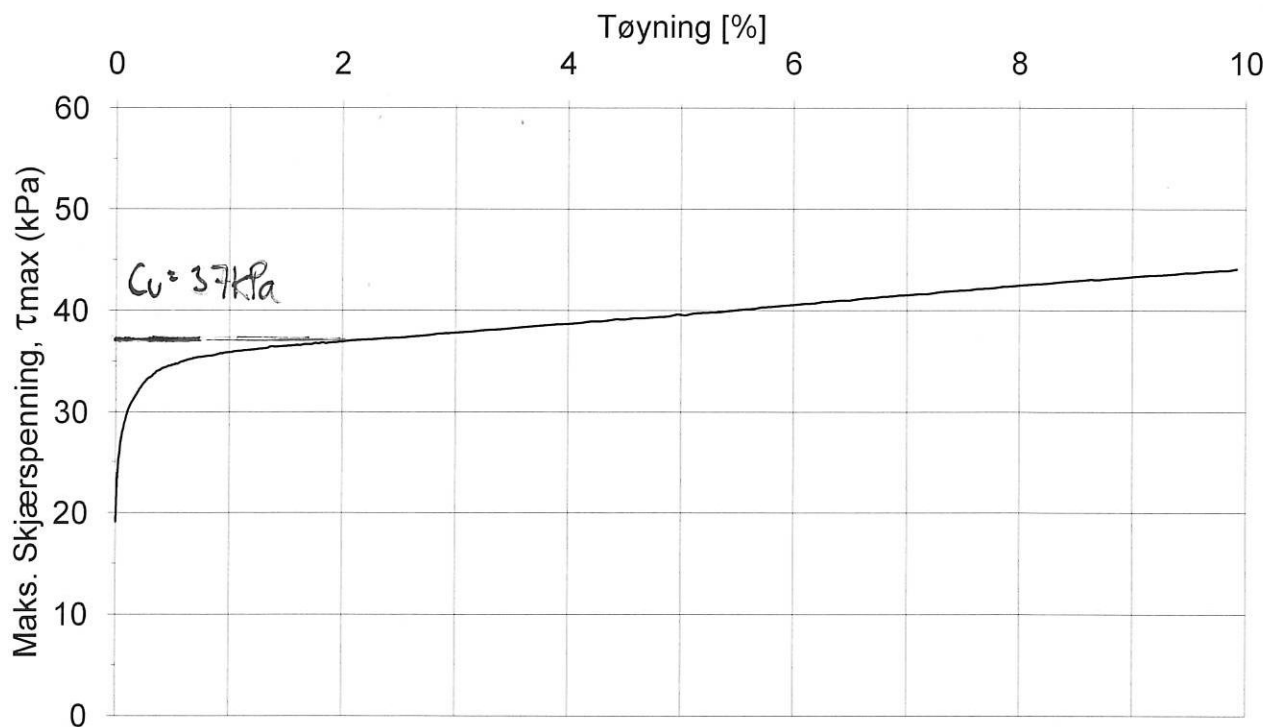
Borpunkt:

122

STATENS VEGVESEN REGION VEST

Dato:  
06.07.2017

RV. 13 KYRKJESVINGEN


**Forsøksdata**

$\gamma_i = 18,5 \text{ kN/m}^3$        $w_i = 33,4 \%$        $\sigma'_{vo} = 111,0 \text{ kPa}$   
 Dybde: 11,35 m       $\epsilon_{vol} = \Delta V/V = 4,69 \%$        $w_f = - \%$        $\sigma'_{ac} = 110,4 \text{ kPa}$   
 Gvs. = 2 m       $\Delta e/e_0 (-) = 0,097$        $w_p = - \%$        $\sigma'_{rc} = 71,8 \text{ kPa}$

**Treaks CAUa Poretrykk- og mobiliseringsforsøk**

Borpunkt:

133

STATENS VEGVESEN REGION VEST

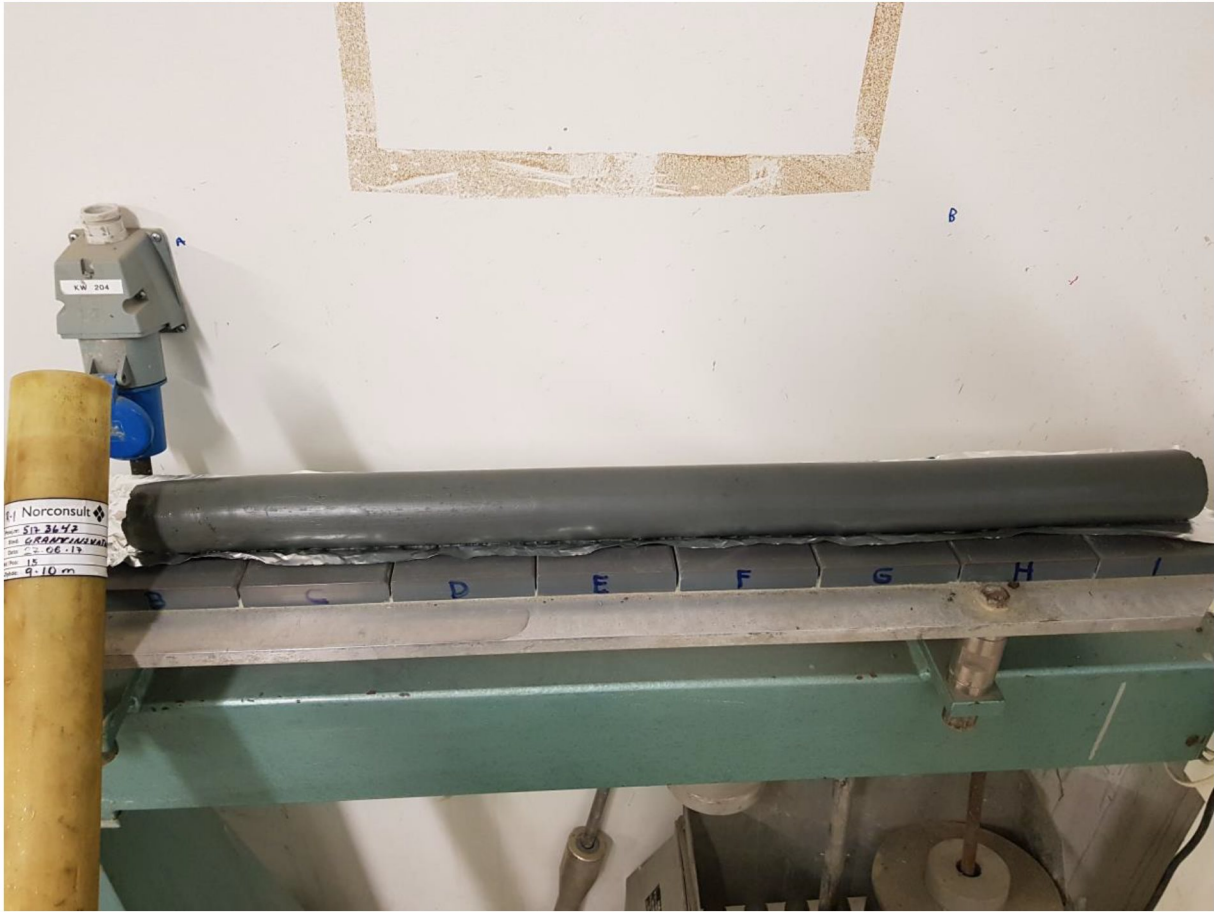
Dato:  
06.07.2017

RV. 13 KYRKJESVINGEN

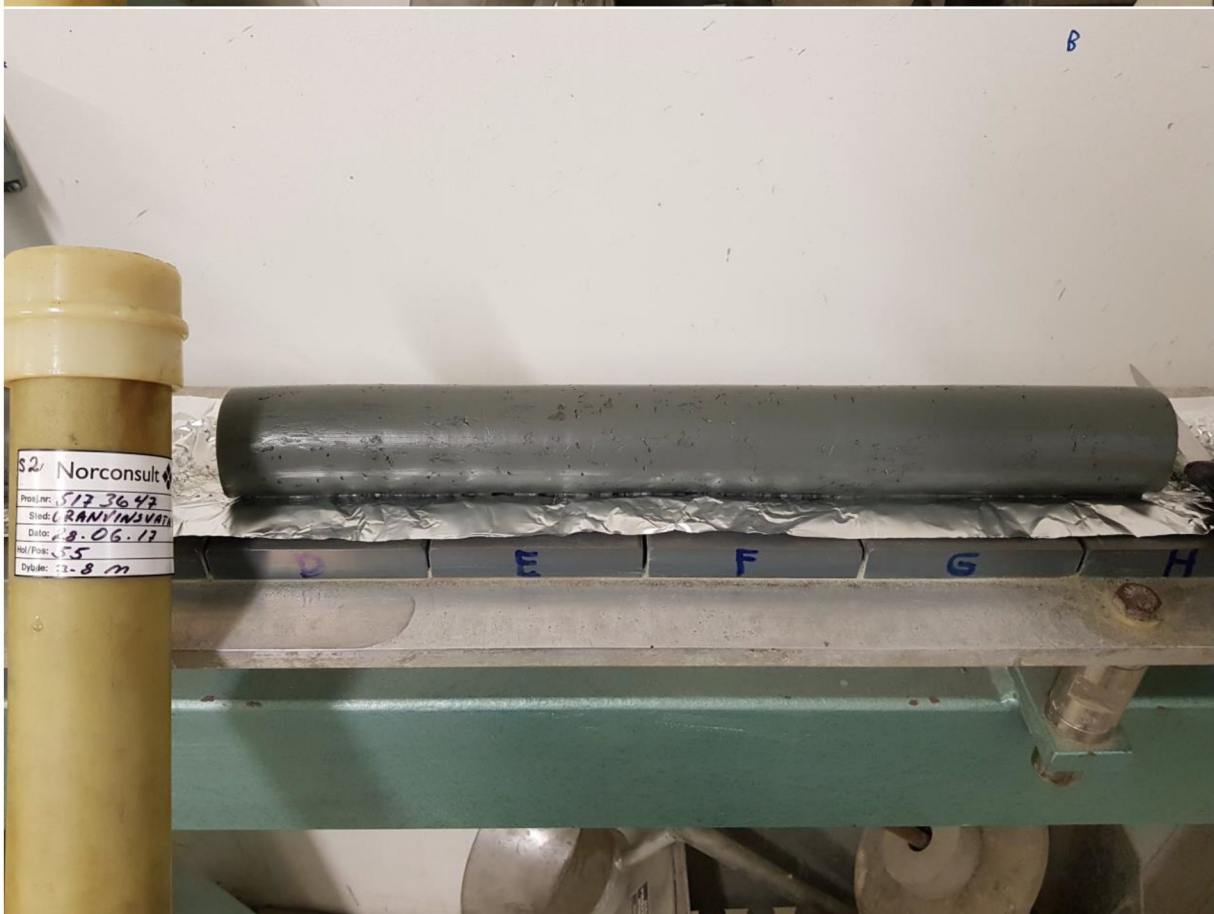
**Multiconsult**  
[www.multiconsult.no](http://www.multiconsult.no)

Tegnet Oppdragsnr:	RHS 617405	Kontrollert: Tegning nr.:	SIOR RIG-TEG-092.3	Godkjent: Rev nr.
				00

Bilder 54 mm prøver Multiconsult

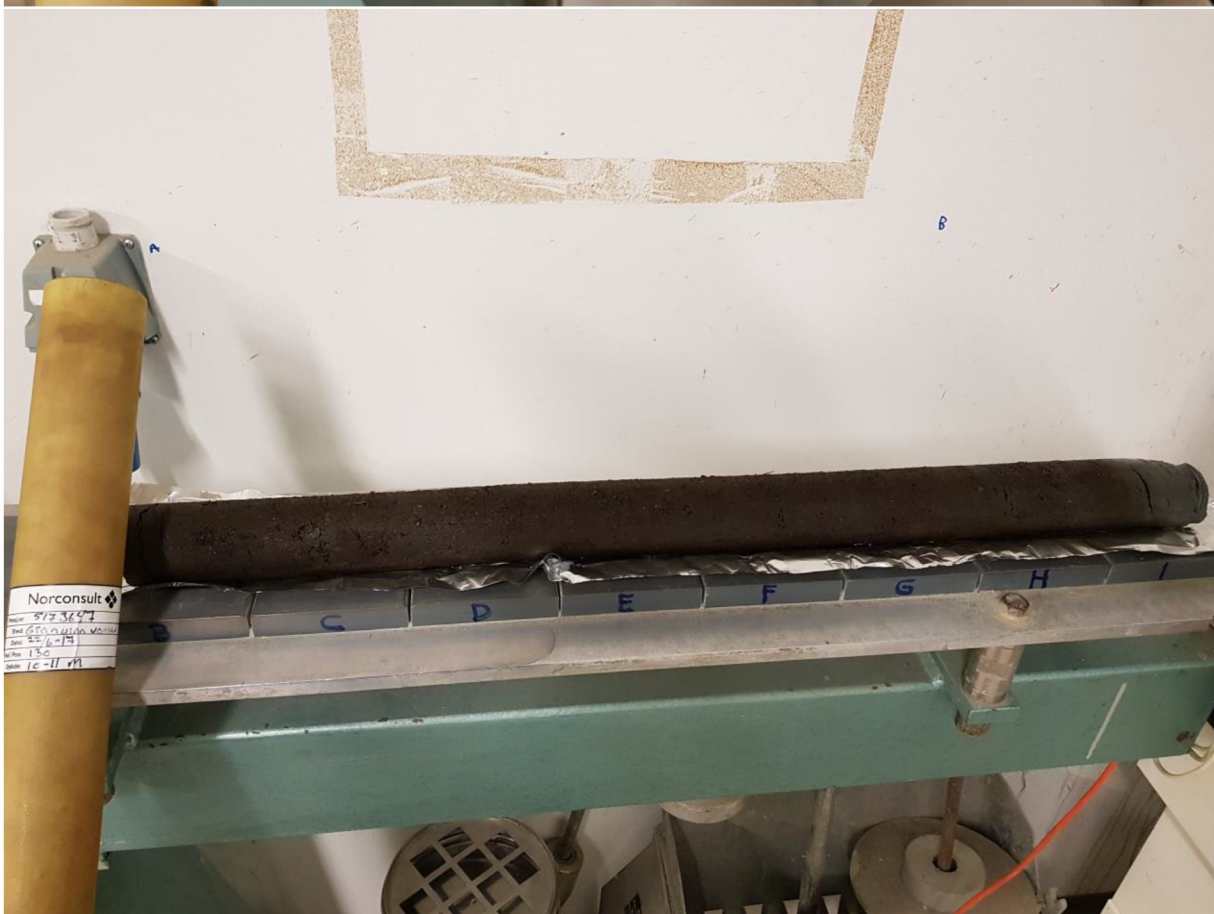












BP 133 14-15m







Statens vegvesen  
Region vest  
Ressursavdelinga  
Postboks 43, 6861 LEIKANGER  
Tlf: 22073000  
[firmapost-vest@vegvesen.no](mailto:firmapost-vest@vegvesen.no)